

CHIMICAL SERIES

784-
1392/2
საქართველოს მეცნიერებათა აკადემიის გარემონტი
ИЗВЕСТИЯ АКАДЕМИИ НАУК ГРУЗИИ
PROCEEDINGS OF THE ACADEMY OF SCIENCES
OF GEORGIA



апрель
1992
СЕРИЯ
ХИМИЧЕСКАЯ

1992 N4

თბილისი ტბილისი
ТБИЛИСИ - VOL.
TBILISI VOL.

18

აპტორითა საყურადღებოდ



1. უფრნალში „საქართველოს მეცნიერებათა აკადემიის მაცნე, ქიმიის სერია“ იხექტება წერილები ძირითადად ქართულ და რუსულ ენებზე, რომლებშიც ასახულია თეორიულ და ექსპერიმენტულ კვლევათა შედეგები თანამედროვე ქიმიისა და ტექნოლოგიის მიმართულებათ მიხედვით და მიმოხილვით სამეცნიერო წერილები.

პერიოდულად თავსდება ქრონიკა ჩესტუბლიურიაში ჩატარებული კონფერენციების, თათბირების, სემინარებისა და სხვა სამეცნიერო-საორგანიზაციო ღონისძიებათა შესახებ.

2. წერილის მოცულობა ცხრილებით, ანასტებით (სამი ნახატი უტოლდება ერთ გვერდს), ნახატების ქვემ წარწერებით, დამოწმებული ლიტერატურის ნუსხით, რეზიუმებით (ქართულ, რუსულ და ინგლისურ ენებზე) არ უნდა აღმატებოდეს მანქანაზე ნაბეჭდ 12 გვერდს, 3 სტ სივანის მინდვრით მარცხნა კიდევზე.

რეზიუმები, ლიტერატურის ნუსხა, დასათაურებული ცხრილები და ნახატების ქვეწარწერები სრულდება ცალ-ცალკე ფურცელზე.

3. მოკლე წერილის მოცულობა არ უნდა აღმატებოდეს მანქანაზე ნაბეჭდ 4 გვერდს. წერილი შეიძლება ილუსტრირებული იყოს 1—2 ნახატით. მას თან უნდა ერთობლეს რეზიუმები.

4. სამუშაო უნდა წარმოდგინდეს ორ ცალად, მას უნდა ახლდეს დაწესებულების ნებართვა, სამეცნიერო საბჭოს (კათედრის, განკორენილების, ლაბორატორიის) გადაწყვეტილება მის გამოკვეყნებაზე, საქასპერტო კომისიის დასკვნა.

პირველ გვერდზე ზემო მარცხნა კუთხეში თავსდება უნივერსალური ათონითი კლასიფიკაციის ინდექსი, ხოლო ზემო მარჯვენა კუთხეში კი მიეთითოს ურნალის განყოფილება, ტექსტს უნდა უძლოდეს ავტორთა ინიციალები, გვარები და წერილის დასახელება. სტატიის ბოლოს, მარცხნივ—დაწესებულება, სადაც შესრულდა შრომა. წერილს ხელს აწერს ყველა ავტორი. წერილის ბოლოს სრულად უნდა იყოს აღნიშვნული ავტორთა სახელი, მამის სახელი და გვარი, მინისა და სამსახურის მისამართი და ტელეფონის ნომერი.

5. ექსპერიმენტულ ნაწილს წინ ერთვის მოკლე შესავალი, რომელშიც ასახულია სამუშაოს მიზანი, მხოლოდ მას შემდეგ მიღებული შედეგების განხილვა და დასკვნა. ცხრილები უნდა დასათაურდეს.

6. ფორმულები და ასონთი აღნიშვნები ჩაიწეროს გარკვევით, შევი მელნით ან ტუშით. ყურადღება მიექცეს ინდექსებისა და ხარისხის მაჩვენებლების გამოსახვას. მკაფიოდ უნდა განსხვავდებოდეს ლათინური და ბერძნული ანბანის მთავრული და ნუსხური ასოები.

7. ნახატები უნდა შესრულდეს თეთრ ქაღალტზე ან კალკულზე ტუშით. ყველა ნახატს უკანა მხარეს ფანჯრით უნდა გწეროს ავტორთა გვარები და სტატიის სათაური. ნახატები და ცხრილები წარმოდგება ორ ეგზემპლარად.

8. დამოწმებული ლიტერატურა იძებელება ცალკე ფურცელზე. ავტორთა გვარები წერილის ტექსტში მოცემული უნდა იყოს ძირითადი ტექსტის, ხოლო ლიტერატურის ნუსხაში კი როიგინალის დაწერილობით. დაცული ქრენის ახეთი თანმიმდევრობა: ავტორის გვარი, ინიციალები, თუ დამოწმებულია საურნალ შრომა, ვუჩენოთ ურნალის სახელწოდება, გამოცემის წელი, ტომი, ნომერი და გვერდები; თუ დამოწმებულია წიგნი, აუგილებელია ვუჩენოთ ბისი სახელწოდება ქალაქი, გამომცემობა, წელი და გვერდები. დამოწმებული ლიტერატურა უნდა დალაგდეს დამოწმების შესაბამისი თანმიმდევრობით. გამოუქვეყნებელი მასალების ციტირება (გარდა რისერტაციებისა) დაუშვებელია.

9. ფიზიკური ერთეულების აღნიშვნა უნდა შეესაბამებოდეს საერთაშორისო ერთეულების სისტემას.

10. ხელნაწერები, რომელიც არ პასუხისმგებ აღნიშვნულ პირობებს, რედკოლეგიის მიერ არ მიღება.

11. ურნალში წერილები იძებელება რედაქტიაში შემოსვლის ჩიგის მიხედვით. თუ წერილი პირობების გადამცემების, მისი ჩიგი იყარება და წერილი შესწორების შემდეგ ახალი ჩიგით იძებელება. ურნალის ერთ ნომერში შეიძლება დაბეჭდოს ავტორის ერთი სტატია და ერთი მოკლე წერილი.

12. რედაქტია ავტორს უთანხმებს კორექტურას. ავტორს უფლება აქვს შეასწოროს მხოლოდ სტატიის შეცდომები.

ავტორს უფასოდ ეძლევა წერილის 12 ამონაბეჭდი.



საქართველოს მეცნიერებათა აკადემიის გაცენტო

(Сакартвелос мецниеребата академиис мацне)

ИЗВЕСТИЯ АКАДЕМИИ НАУК ГРУЗИИ

ქ ი ა ი ი ს ს ე ჭ ი ა
СЕРИЯ ХИМИЧЕСКАЯ

ტომი 18, № 4
Том

შურბალი დაარსდა 1975 წლის იანვარში
Журнал основан в январе 1975 года

გამოდის წელიწადში 4-ჯერ
Выходит 4 раза в год

თბილისი
ТБИЛИСИ

„მეცნიერება“
«МЕЦНИЕРЕБА»

1992

Известия АН Грузии, серия химическая
(на грузинском, русском и английском языках)

Известия АН Грузии
© Серия химическая, 1992

რედაქციის მინიჭებულობა:

380060, თბილისი-60, ქუტუზოვის ქ. 19, ოთახი 18
ტელ. 37-86-78

Адрес редакции:

380060, Тбилиси 60, Кутузова 19, комната 18
тел. 37-86-78

Корректор Б. Григалашвили

Сдано в набор 25.11.92. Подписано в печать 10.03.93
Формат 70×108¹/₁₆. Вумага № 1. Высокая печать.

7,0 усл.-печ. л., 7,53 кр.-отт. 5,8 уч.-изд. л.

Тираж 1280 экз. Заказ 865 Цена 2 р. 50 коп.

გამომცემლობა „მეცნიერება“, თბილისი, 380060, ქუტუზოვის ქ., 19
Издательство «Мецниереба», Тбилиси, 380060, ул. Кутузова, 19

საქართველოს მეცნიერება. აქადემიის სტამბა, თბილისი, 380060, ქუტუზოვის ქ. 19
Типография АН Грузии, Тбилиси, 380060, ул. Кутузова, 19

სარედაქციო კოლეგია

თ. ანდრონიკაშვილი (რედაქტორი), თ. აგლაძე, ა. ავალიანი, ი. ბარათაშვილი (სწავლული მდივანი), გ. გველეხვანი, ვ. ერისთავი, შ. სიძამონიძე, ი. ქეთერტელიძე, გ. ცაგარეიშვილი, გ. ცინცაძე (რედაქტორის მოადგილე), გ. ცოშვილი, ლ. ხანანაშვილი, ქ. ჯაფარიძე (რედაქტორის მოადგილე), ლ. ჯაფარიძე

პასუხისმგებელი მდივანი ვ. შუბლაძე

РЕДАКЦИОННАЯ КОЛЛЕГИЯ

Т. Г. Андроникашвили (редактор), Т. Р. Агладзе, А. Ш. Авалиани, И. Б. Бараташвили, Ф. И. Броучек (ученый секретарь), Г. Г. Гвелесиани, К. Г. Джапаридзе (зам. редактора), Л. Н. Джапаридзе, Э. П. Кемертелидзе, Ш. И. Сидамонидзе, Л. М. Хананашвили, Г. В. Цицишвили, Г. В. Цинцадзе (зам. редактора), Г. В. Цагареишвили, В. Д. Эристави.

Ответственный секретарь В. В. Шубладзе

EDITORIAL BOARD

T. G. Andronikashvili (Editor), T. G. Agladze, A. Sh. Avaliani, I. B. Barata shvili, F. I. Brouchek (Scientific Secretary), G. G. Gvelesiani, K. G. Japaridze (Associate Editor), L. N. Japaridze, E. P. Kemertelidze, Sh. I. Sidamoni idze, L. M. Khananashvili, G. V. Tsitsishvili, G. V. Tsintsadze (Associate Editor), G. V. Tsagareishvili, V. D. Eristavi

Executive Secretary V. V. Shubladze

არაორგანული და ანალიზური შემთხვევა

ომილებზე . . .
მალური რეაქციები
ჩიმეთილქლორსილა

- | | |
|--|-----|
| ბალდავაძე ჭ., ცაგარეიშვილი დ., გველესიანი გ., ბარათაშვილი ი. მთიაძე ი., Mn—Fe—Si—Al—Ca—O—C—P სისტემაში ზოგიერთი ნაკრობის თერმოლინამეტრით თვისებები | 291 |
| ანდრინიკაშვილი თ., ეპრიკაშვილი ლ., აბულაშვილი ე., ლონიაძე ნ., ქორქახია თ. ქრომოსორბ-103-ის ქრომატოგრაფიული თვისებების შესწავლა ზედაირულ-ფენოვანი სორბენტის ვარიანტში | 296 |
| ქარელი ლ., შურშუმია გ., აგლაძე თ. შანგანუშის კოროზია და ანოდური გახსნის კანონზომიერებანი თხევადი ამიაყის ხსნარებში | 297 |
| ანელი ჭ., თოფჩიშვილი გ., ფალავა დ. ტენიშომგრძნობიარე მასალები სილიკონური ელექტროგამტარი რეზინების საფუძველზე | 308 |

ტექნოლოგია



СОДЕРЖАНИЕ

НЕОРГАНИЧЕСКАЯ И АНАЛИТИЧЕСКАЯ ХИМИЯ

Ткешелашвили Л. К., Швелашивили А. Э., Хулусаури О. В., Цакадзе К. Д. Влияние комплексных катионов никеля (II) на мем- брани эритроцитов	250
Бочоришвили Х. Н., Телия Н. М., Манджгаладзе О. В., Гве- лесиани Л. Т., Басаргин Н. Н. Спектрофотометрическое изуче- ние комплекса никеля с 3-сульфо-5-нитрооксибензодардином	256
Сванидзе З., Дабахишвили Н. Метод концентрирования цинка с использованием комплексообразующего сорбента при его определении в природных и сточных водах	261
Найденов О. Д., Рязанцев А. А., Андроникашвили Т. Г. Воз- можность использования халцедона в качестве носителя для газожид- костной хроматографии	263
Амирханашвили К. Д., Глазырин М. М. Автоматизация хроматогра- фического эксперимента. 2. Обработка данных на ЭВМ СМ-1420	267

ОРГАНИЧЕСКАЯ ХИМИЯ

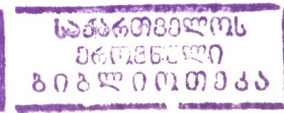
Лекишвили Н. Г., Асатиани Л. П., Пичхадзе Ш. В., Кежерашвили М. Г., Сесикелашвили Т. Д., Буцхрикидзе Б. А., Кипиани Л. Г. Новые бисазокрасители на основе гетероариленовых диаминов ²⁷¹	271
Табашидзе Н. И., Барабадзе Ш. Ш. Действие 3-ацетилфенантрена на фенил-, α -нафтил- и 9-фенантилмагнийбромиды ²⁷²	276
Фиолия И. Л., Асатиани Л. П. Аномальные реакции при взаимодействии 2-фенилэтинилтиолятов натрия и лития с trimетилхлорсиланом ²⁸⁰	280

ФИЗИЧЕСКАЯ ХИМИЯ

<p>Багдадзе Д. И., Цагарейшвили Д. Ш., Гвелесиани Г. Г., Бараташвили И. Б., Омидзе И. С. Термодинамические свойства некоторых соединений в системе Mn-Fe-Si-Al-Ca-O-C-P</p> <p>Андроникашвили Т. Г., Эприкашвили Л. Г., Абулашвили Е. И., Леонидзе Н. М., Кордзахия Т. Н. Исследования хроматографических свойств Хромосорба-103 в варианте поверхностно-слойного сорбента</p> <p>Карели Л. Л., Цурцумия Г. С., Агладзе Т. Р. Закономерности коррозии и анодного растворения марганца в растворах жидкого аммиака</p> <p>Анели Дж. Н., Топчишвили Г. М., Пагава Д. Г. Тензочувствительные материалы на основе кремнийорганических электропроводных резин</p>	<p>285</p> <p>296</p> <p>303</p> <p>305</p>
---	---

ТЕХНОЛОГИЯ

Мампория Ш. Г., Кусрашвили М. А., Гвасалия Л. И. Модификация оксидами алюминия и кальция меди-хром-марганцевого (МХМ) катализатора низкотемпературной конверсии оксида углерода (II) 312
 Гаприндашвили В. Н., Мачарашвили Ш. В., Джашвили О. А., Цвениашвили В. Ш. Химическое обогащение низкопроцентного баритового концентрата 314



C O N T E N T S

INORGANIC AND ANALITICAL CHEMISTRY

T k e s h e l a s h v i l i L. K., S h v e l a s h v i l i A. S., K h u l u z a u r i O. V., T s a k a d z e K. D. Effect of nickel (II) complex cations on the erythrocyte membranes	251
B o c h o r i s h v i l i K. h. N., T e l i a N. M., M a n j g a l a d z e O. V., G v e l e s i a n i L. T., B a s a r g i n N. N. The spectrometral study of nickel coloured complex, formed from 3-sulpho-5-nitro-oxybenzolazorodanyne	256
S v a n i d z e Z., D a b a k h i s h v i l i N. Zinc concentration method with the use of complexoforming sorbents while its determination in natural and sewage waters	261
N a i d e n o v O. D., R y a z a n t s e v A. A., A n d r o n i k a s h v i l i T. G. On the possibility of using chaltsedony as a solid support for gas-liquid chromatography	266
A m i r k h a n a s h v i l i K., G l a s i r i n E. Automation of chromatographic analysis. 2. Data processind on the base of CM-1320 tupe computer	270

ORGANIC CHEMISTRY

L e k i s h v i l i N., A s a t i a n i L., P i c h k h a d z e Sh., K e z h e r a s h v i l i M., S e s i k e l a s h v i l i I., B u t s k h r i k i d z e B., K i p i a n i L. The new bisazodyes on the base of heterourilen diamines	274
T a b a s h i d z e N. I., B a r a b a d z e Sh. Sh. The influence of 3-acetylphenanthrene on phenyl, a-naphtyl and 9-phenanthrelemagnesium bromide	279
F i o l i a I. L., A s a t i a n i L. P. The anomalous reactions while the interactions of lithium and sodium 2-phenylethynylthiolates with trimethylchlorosilane	383

PHYSICAL CHEMISTRY

B a g d a v a d z e J. I., T s a g a r e i s h v i l i D. Sh., G v e l e s i a n i G. H., B a r a t a s h v i l i I. B., O m i a d z e I. S. Thermodynamic propertjes of some compounds in the system Mn-Fe-Si-Al-Ca-O-C-P	291
A n d r o n i k a s h v i l i T. G., E p r i k a s h v i l i L. G., A b u l a s h v i l i E. I., L e o n i d z e N. M., K o r d z a k h i a T. N. Investigation of chromatographic properties of Chromosorb-103 in the variant of surface layer sorbent	293
K a r e l i L. L., T s u r t s u m i a G. S., A g l a d z e T. R. Regularities of corrosion and anodic dissolution of manganese in liquid ammonia	304
A n e l i J. N., T o p c h i s h v i l i G. M., P a g a v a D. G. Tensosensitive materials on the base of silicoorganic electroconducting rubbers	308

TECHNOLOGY

M a m p o r i a M. G., K u s r a s h v i l i M. A., G v a s a l i a L. E. Modification of copper-chrome-manganese catalysts by low-temperature conversion of carbonat oxide (II) with aluminium and calcium oxides	313
G a p r i n d a s h v i l i V., M a c h a r a s h v i l i Sh., J a o s h v i l i O., T s v e n i a s h v i l i V. Chemical concentration of low percentage barium concentrats	318



არაორგანული და ანალიზური შიდი

შატ 612. 111 : 612.118.221.3

ლ. ტყეშვილა ავტორი, ა. შველა ავტორი, მ. ხულუჭაური, ქ. ჭავაძე

ერითროციტების მემჩნავაზე ნიკელის (II) კომპლექსური
კატიონების მოქმედება

ნიკელი ცნობილია როგორც ტოქსიკური და კანცეროგენული ელემენტი. დღეს ორგანიზმები ნიკელის იონების ზემოქმედების შესწავლა საკმაოდ ინტენსიურად მიმდინარეობს, თუმცა მისი მოქმედების მექანიზმი ჯერაც არა გარკვეული [1]. აღნიშვნულიდან გამომდინარე, მიზნად დავისახეთ შეგვესწავლა ერითროციტების მემბრანის მდგრადობის ცვლილება სხვადასხვა დამშლელის მიმართ და ნიკელის კატიონის კომპლინაციული სფეროს ბუნებაზე დამოკიდებულებით მიგველო შესაბამისი ინფორმაცია მემბრანის სტრუქტურული გარდაქმნის შესახებ. ეს გათვალისწინებული იქნა ის გარემოება, რომ ლითონთა იონები ცოცხალ თრგანიშმში თავისუფალი სახით კი არ არიან, არამედ ისინი ენდოგენურ ლიგანდებთან, როგორც წესი, წარმოქმნიან კომპლინაციულ ცენტრებს (ნაერთებს) და მათი მოქმედება განსაზღვრულია მისი ბუნებით (შედგენილობა და აგებულება).

ეცსერიონალური ნაშილი

ექსპერიმენტში ერთმანეთს შევადარეთ ნიკელის სხვადასხვა შედგენილობისა და აგებულების კომპლექსური კატიონების ($[Ni(OH_2)_6]^{2+}$, $[Ni(OH_2)_4En]^{2+}$, და $[Ni(OH_2)_2En_2]^{2+}$) მოქმედება ერითროციტებზე, განსხვავებული ბუნების აციდო-იონების თანაობისას, კერძოდ $-Cl^{1-}$ და SO_4^{2-} . რაც შეეხება ნიკელის კომპლექსური იონების წარმოქმნას სხნარებში, მათი შედგენილობა და აგებულება დაღასტურებულია ნაშრომში [2].

Ni^{2+} -ის კონცენტრაცია, ყველა შემთხვევაში, გარდა წყლით ჰემოლიზისა, შეადგენდა 10^{-4} M-ს, წყლის შემთხვევაში კი — 10^{-6} M-ს. დამშლელებიდან წარმოდგენილი H_2O , Tp-x-100, DDC-Na და NaOH. ყველა დამშლელი, გარდა წყლისა, განზავებულია ფიზიოლოგიური სხნარით. Tp-x-100-ის საწყისი კონცენტრაცია 0,07%, DDC-Na — 0,025%, ხოლო NaOH — 0,04 M.

ერითროციტების მდგრადობას ვსწავლობდით ჰემოლიზის დაფერენციალური მრუდების მეშვეობით, რომლებიც მიიღება ფოტომეტრიზების პროცესში ერითროციტების სუსპენზიაში დამშლელის თანდათანობითი შეყვანით [3]. წყლის შეყვანის სიჩქარე იყო 1,3 მლ/წთ, ხოლო დანარჩენი დამშლელებისა — 0,45 მლ/წთ.

ერითროციტებს ვიღებდით ჭანმრთელი ადამიანის თითოდან აზლადალებული სისხლის ცენტრიფუგირებით და სამჭერადი გარეცხვით ფიზიოლოგიურ სხნარში. ანტიკოაგულიანტად გამოყენებული იყო ჰეპარინი — 25 ერთ/მლ. შემდეგ ერითროციტებს შევატივტივებდით Ni^{2+} -ის შემცველ სხნარებში, რომელთა ტემპერატურა იყო 25°. სუსპენზიის ნორმირება ხდებოდა ოპტიკური სიმ-

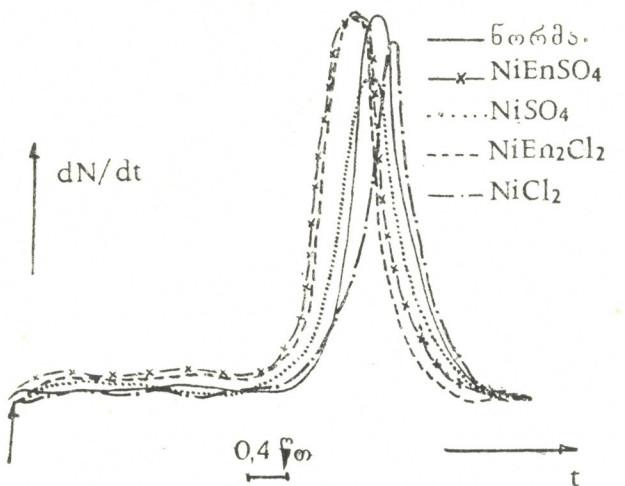


ქვრივით. მუდმივ ტემპერატურაზე 30 წთ-იანი ინკუბაციის შემდეგ დიოთ ჰემოლიზს. დამშლელის ტემპერატურაც აგრეთვე 25° იყო.

უადაგად და მათი მიმოხილვა

ნახატებზე შარმოდგენილია ჩვენს მიერ მიღებული ჰემოლიზის დაფერენციალური მრუდები.

როგორც ვხედავთ, Tp-x-100-ით ჰემოლიზის პროცესი ფაქტიურად არ განიცდის ცვლილებას (ნახ. 1). ეს დეტერგენტი მემბრანას დაშლას იშვებს

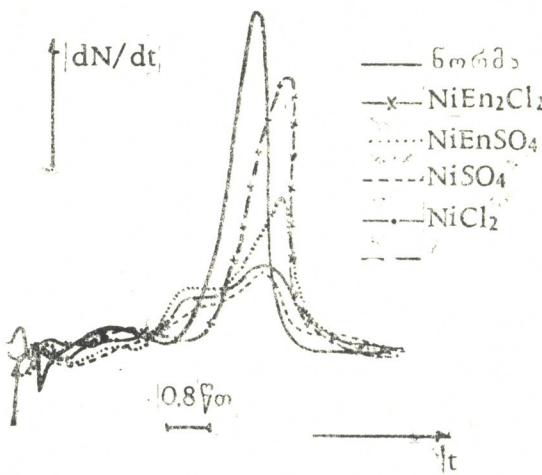


ნახ. 1. ერთოროციტების ჰემოლიზის დაფერენციალური შრუდები. ჰემოლიზი გამოწვეულია Tp-x-100-ით. სუსპენზიის საწყისი ოპტიკური სიმკვრივეა 0,7

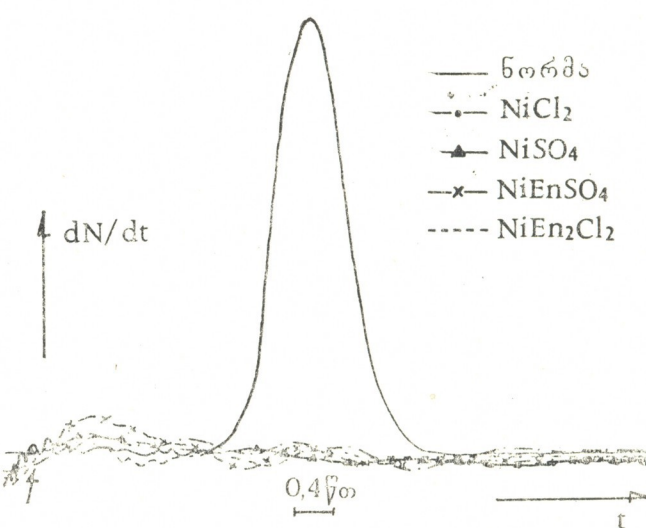
ჰიდროფობული ცილების ჩამორეცხვით, ხოლო დიდი კონცენტრაციების დროს კი მისი მოქმედება ვრცელდება ლიპიდებზეც [4]. ჩვენს შემთხვევაში მისი კონცენტრაცია ჰიდროფობული ცილების სოლუბილიზაციის არეს მიეკუთვნება. ე. ი., ექსპერიმენტულად გამომდინარე, ნიკელის იონები ზემოთ მოცემული კომპლექსური კატიონების სახით გავლენას არ ახდენს ჰიდროფობულ ცილებზე. ყველა დანარჩენ შემთხვევაში Ni^{2+} -ის გავლენა აშკარა და ამავე დროს ჩანს, რომ დიდია კოორდინაციული სფეროს როლი. როგორც ვხედავთ, ეთალენდიამინი პროტექტორულ თვისებებს ამჟღავნებს, თანაც ეს თვისება შესაბამისობაშია კოორდინაციულ სფეროში მის რაოდენობასთან. მართლაც, ცდები გვიჩვენებს, რომ ანიონური გარემოს როლი შედარებით უმნიშვნელოა, ასე რომ განსხვავება $[(\text{Ni}(\text{OH}_2)_2\text{En}_2)]^{2+}$ და $[\text{Ni}(\text{OH}_2)_4\text{En}]^{2+}$ -ის მოქმედებებს შორის Ni^{2+} -ის კოორდინაციულ სფეროში En-ის რაოდენობრივ სხვაობას უნდა მიეწეროს.

DDC—Na თანაბრად ნაწილდება ცილის ყველა კომპონენტზე თავიდანვე, მაგრამ ლიზისი იშვება ჯერ წყალში ხსნადი ცილების ჩამორეცხვით მათი ხსნადობის მიხედვით [4]. როგორც ვხედავთ (ნახ. 2), ამ კომპონენტზე Ni^{2+} -ის გავლენა საკმაოდ ძლიერია.

Ni²⁺-ის გარემოში მყოფი ერთობლიური მდგრადნი არიან ჰიპოტონული ჟელის შეკვეთის მიმართ (ნახ. 3). თან ეს ეფექტი საქმაოდ ძლიერია. ამ შედეგს უბირასპირდება სრულიად საწინააღმდეგო ეფექტი, მიღებული NaOH-ით ჰემოლიზის შემთხვევაში (ნახ. 4). როგორც ცნობილია, ორივე ამ დამშლელით გამოწვეული ჰემოლიზი ასმოსური ბუნებისაა [5]. ნიკელის კომპლექსურ კატ-



ნახ. 2. ერთობლიურების ჰემოლიზის დიდერენციალური მრუდები. ჰემოლიზი გამოწვეულია DDC-Na-თი. სუსპენზიის საწუსავი 0,7 ზე 0,7 მისი აბსოლუტური სიმკვრივეა 0,7.

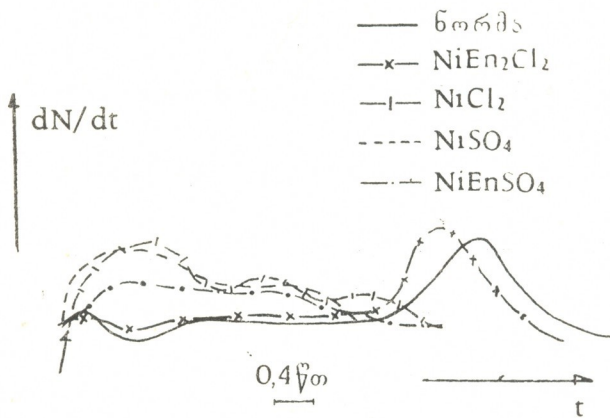


ნახ. 3. ერთობლიურების ჰემოლიზის დიდერენციალური მრუდები. ჰემოლიზი გამოწვეულია H₂O-თი. სუსპენზიის საწყისი აბსოლუტური სიმკვრივეა 0,7.

ონებთან ინკუბირებული ერთობლიურები მაშინვე იშლება, როგორც კი ვიწყებთ ტუტის დამატებას (En-ი აქაც პროტექტორია). ეს იმს ნიშანია, რომ მემბრანების ელასტიურობა ძალიან დაქვეითებულია და ვერ იტანს ფორმის ცვლილებებსაც კი. ეს შედეგი დადასტურდა ერთობლიურების დეფორმაბილობის განსაზღვრით ფილტრის ქაღალდზე ერთობლიურების სუსპენზიის გაუონვის

სიჩქარის მიხედვით, ყოველივე ზემოთქმულიდან გამომდინარე, შეიძლება გასკვნათ, რომ წყლის მიმართ ერთორციტების მდგრადობა შედეგია იმისა, რომ ნეიტრალურ გარემოში ხდება ნიკელის კომპლექსური კატიონების მიერ მემბრანაში წყლის შესაღწევი არხების დახშობა. როგორც ვხედავთ, კომპლექსურ კატიონებში En , ამ შემთხვევაში, პროტექტორულ როლს ვეღარ ასრულებს.

მემბრანის ელასტიურობის შემცირებას ჩვენ ვუკავშირებთ ლიპიდურ კომპონენტთან Ni^{2+} -ის ურთიერთობების. კერძოდ, შესაძლოა, ნიკელის იონები აღწევენ მემბრანის შიგნით და უკავშირდებიან ლიპიდების უარყოფითად და-მუხტულ ზოლოებს (ფოსფატიდილსერინი და ფოსფატიდილინოზიტი), რითაც ერთი მხრივ, ასულტებენ კავშირს მემბრანის ჰიდრატულ და ლიპიდურ შრეებს შორის, ხოლო მეორე მხრივ, ქმნიან დამატებით ბმებს ლიპიდების სხვადასხვა უბნებს შორის და ამით ზრდიან მემბრანის სიხისტეს.



ნახ. 4. ერთორციტების ჰემოლიზის დიფერენციალური მრუდები. ჰემოლიზი გამოწვეულია NaOH -თ. სუსტენზის საწილის ოპტიკური სიმკვრივე 0,7

მიღებული შედეგების საფუძველზე ვასკვნით, რომ ნიკელის ტოქსიკური ზემოქმედების ერთ-ერთი ობიექტი ორგანიზმში არის ერთორციტების მემბრანები და, ამასთანვე, მსაზღვრები ცვლილებას განიცდის მემბრანის ყველა კომპლექსტი, გარდა ჰიდროფობული ცილებისა.

ნიკელის მავნე მოქმედების ხარისხი დამოკიდებულია მსაზღვრებული სფეროს შედგენილობასა და აგებულებაზე. კერძოდ, დიდი აგრესიულობით ხასიათდება ჰექსავა-კომპლექსები, ნიკელის კომპლექსებში ეთილენდიამინის შემცველობა ახდენს პროტექტორულ მოქმედებას. ანიონური (Cl^{2-} და SO_4^{2-}) გარემოს გავლენა უმნიშვნელოა.

თბილისის სახელმწიფო სამედიცინო ინსტიტუტი

შემოსულია 21.04.1991.

ლ. კ. თქეშელაშვილი, А. Э. შველაშვილი, О. В. ხულუზაური,
К. Д. ცაკაძე

ВЛИЯНИЕ КОМПЛЕКСНЫХ КАТИОНОВ НИКЕЛЯ (II) НА МЕМБРАНУ ЭРИТРОЦИТОВ

Резюме

Изучено влияние комплексных катионов никеля ($[\text{Ni}(\text{OH}_2)_6]^{2+}$, $[\text{Ni}(\text{OH}_2)_4\text{En}]^{2+}$ и $[\text{Ni}(\text{OH}_2)_2\text{En}_2]^{2+}$) на резистентность эритроцитов человека к различным гемолизирующим агентам (Тритон-Х-100, ДДС-На, H_2O и NaOH).



Установлено, что катионы никеля (II) взаимодействуют со всеми компонентами мембран эритроцитов, за исключением гидрофобных белков.

L. K. TKESHELASHVILI, A. S. SHVELASHVILI, O. V. KHULUZAURI,
K. D. TSAKADZE

EFFECT OF NICKEL(II) COMPLEX CATIONS ON THE ERYTHROCYTE MEMBRANES

S u m m a r y

The effect of nickel (II) complex cations $[Ni(OH_2)_6]^{2+}$, $[Ni(OH_2)_4En]^{2+}$, $[Ni(OH_2)_2En_2]^{2+}$ on the resistance of erythrocyte membrane to different hemolytic agents (Triton - x - 100, DDS—Na, H₂O, NaOH) was investigated in vitro.

Nickel cation cause structural changes in all membrane components exception of hydrophobic proteins.

ლიტერატურა — REFERENCES

1. Thauer R. K., Diekert G. Trends Biochem. Sci., 1980, 3, 304.
2. ვ ვ ე ლ ა ვ ვ ი ლ ი ბ ი ს ე რ ტ ა ც ი ა, თბილისი, თსუ, 1974.
3. Зедгинидзе И. Ш., Хулузauri О. В., Яковлев И. Л. Сообщения АН ГССР, 1988, 2, 132.
4. Kirpatrick F. H., Gordesky S. E. Biochim. Biophys. Acta, 1974, 345, 154—161.
5. Trincher K. S. Orlova L. V. Biophysica, 1965, 10, 518.

ტად 543.74.062

ხ. ბოჭორიშვილი, ხ. თალია, ო. მაჯგალაძე, ლ. გველასიანი,
ხ. გასარგინი

**3-სულფო-5-ნიტროოქსიბენზორიდანითან
ზარმოქმნილი ნიკელის ჟეზვის ჰიდრილი პომპლექსის
საექტროცონოტონილი ჟეზვავლა**

გოგირდშემცველი ჰეტეროციკლური ამინები — როდანინი და მისი ნაწარმები ფართოდ გამოიყენება ქიმიურ ანალიზი ზოგიერთი ელემენტის (Ag(I), Au(II), Cu(II), Lg(II), Pd(II), Pt(II) და ა. შ.) განსაზღვრისათვის [1, 2]. ამჟამადაც გრძელდება ინტენსიური მუშაობა როდანინის ახალი ნაწარმების სინთეზირებისათვის. ამ რეაგენტების ერთი ნაწილი ჩვენს მიერ უკვე გამოკვლეულია. წინამდებარე ნაშრომში მიზნად დავისახეთ ახლადსინთეზირებული რეაგენტის 3-სულფო-5-ნიტროოქსიბენზორიდანინის* ნიკელის ინკენტან ურთიერთმოქმედების დეტალური შესწავლა.

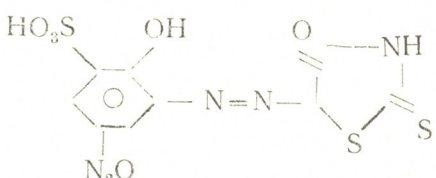
რეაგენტები და აპარატურა. ნიკელის სტანდარტული ხსნარის დასამზადებლად 1 გ მეტალურ ნიკელს გესნიდით 10 მლ მარილმჟავასა და აზოტმჟავას ნარევში (1:1), ვაორთქლებდით მშრალ ნაშთამდე, ვუმატებდით 10—15 მლ მარილმჟავას ($\rho = 1,19$) და კვლავ ვაორთქლებდით. ამ ოპერაციას ვიმეორებდით 2-ჯერ აზოტმჟავას მოცილებამდე. ნაშთს გესნიდით 100 მლ 10%-იან მარილმჟავაში, ვაცხელებდით სრულ გახსნამდე, ვაცივებდით და ვანზავებდით გამოხდილი წყლით 1 ლ-მდე ($T = 1 \text{ მგ/მლ}$) [3].

3-სულფო-5-ნიტროოქსიბენზორიდანინის $1 \cdot 10^{-3} \text{ M}$ სტანდარტულ ხსნარს ვამზადებდით 0,0420 გ წონაფის გახსნით 100 მლ წყალში.

სამუშაო ხსნარებს ვამზადებდით სტანდარტულ ხსნარის განზავებით უშუალოდ ექსპერიმენტის დაწყების წინ.

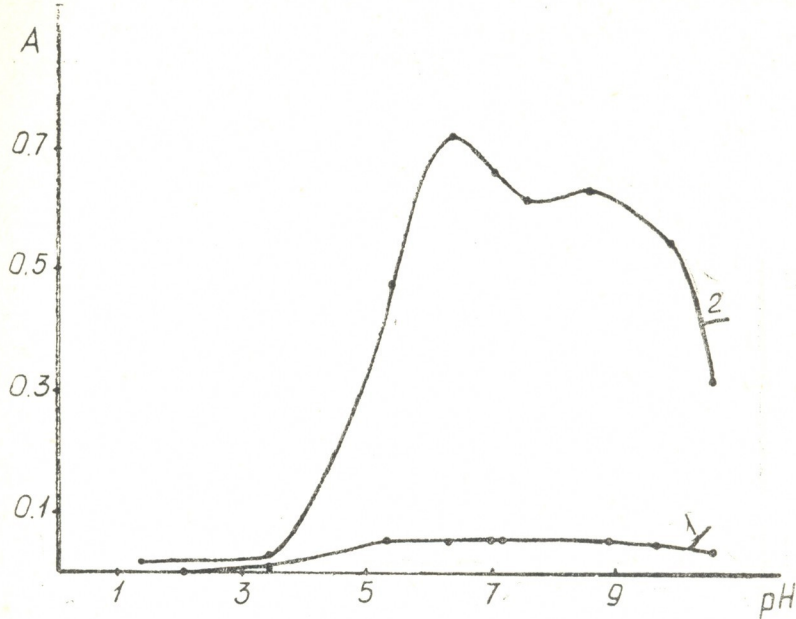
შეფერილი ხსნარების ოპტიკურ სიმკვრივეს ვზომავდით სპექტროფოტომეტრზე Spectronom—360, ხოლო სარეაქციო არის pH-ს ვადგენდით პოტენციომეტრის (pH-673 M) დახმარებით.

3-სულფო-5-ნიტროოქსიბენზორიდანინი (HR) ნარინჯისფერი კრისტალური ფენილია. მისი ზოგადი ფორმულაა:

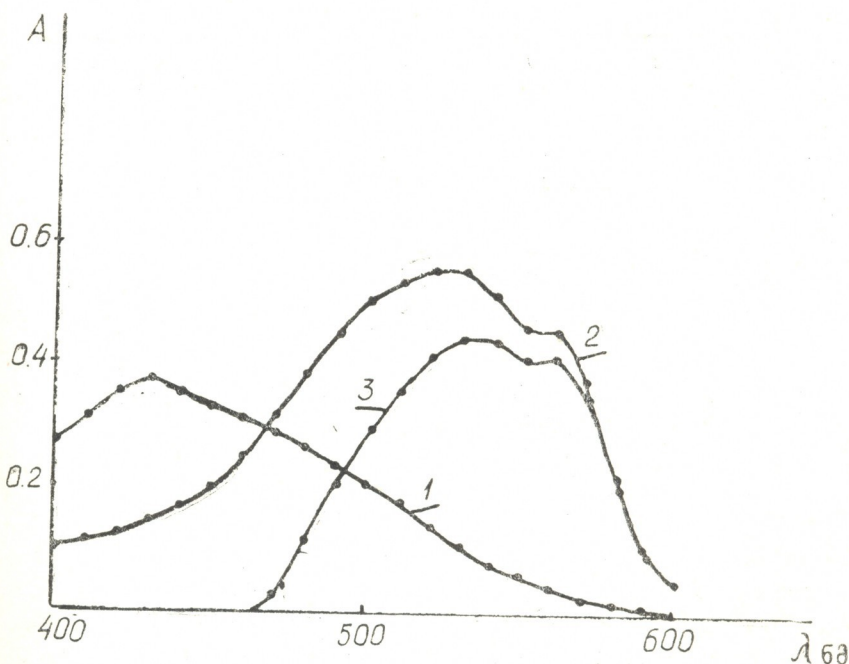


ამ რეაგენტის ურთიერთმოქმედების რეაქცია ნიკელის ინკენტან მიმდინარეობს საკმაოდ ნელა. კომპლექსირმოქმნას აჩქარებს გაცხელება, რის

* სინთეზირებულია რუსეთის მეცნიერებათა აკადემიის გეოლოგიის, ჰეტეროკორაფიის, მინერალოგიის და გეოქიმიის ინსტიტუტის ცენტრალურ ქიმიურ ლაბორატორიაში ქ. მ. კ. ი. როზოვსკის ხელმძღვანელობით.



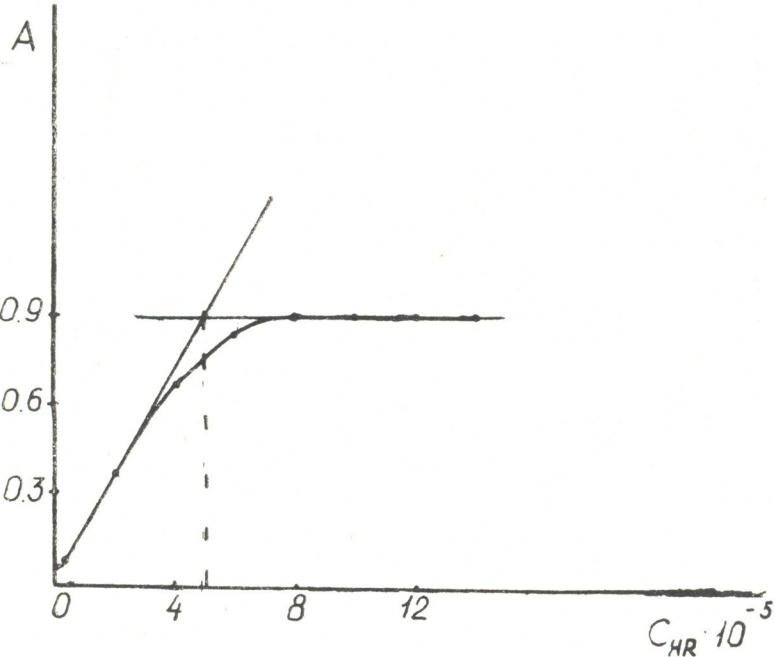
Фиг. 1. Фотометрическо-интенситетна кривина на гаевлено киселата титрована с емульсионен интегрираща система: 1 — красител, 2 — јодобромијаси ($C_{Me}=2 \cdot 10^{-5} M$; $C_{HR}=4 \cdot 10^{-5} M$; $\lambda_{max} = 560 \text{ nm}$; $I=1 \text{ lumen}$; $t=40^\circ$)



Фиг. 2. Штоенчески системи за измерване на концентрацията на H_2O_2 : 1 — красител, 2 — јодобромијаси, 3 — флуоресцентен пасиватор. Абсорбция ($C_{Me}=1 \cdot 10^{-4} M$; $C_{HR}=2 \cdot 10^{-5} M$; $pH=6.1$; $I=1 \text{ lumen}$; $t=40^\circ$)

გამოც რეაქციას ვატარებდით 40°C წარმოქმნილი მოწითალო-ნარინჯის კომპლექსი მდგრადია 3 სთ-ის განმავლობაში. შეფერილი ხსნარების მაქსიმური ოპტიკური სიმკვრივე მიღწევა რეაგენტის 5-ჯერადი სიჭარბისას.

წყალბალი ნთა კონცენტრაციაზე დამიკიდებულება-ბით ხდება კომპლექსის შეფერვის ინტენსიურობის ცვლილება. წყალბალი ინთა კონცენტრაციის გავლენა კომპლექსარმოქმნაზე შევისწავლეთ pH-ის



ნახ. 3. კომპლექსის შედეგნილობის დადგენა მოლურ თანაფარდობათა მეთოდით ($C_{Me}=2 \cdot 10^{-5} \text{M}$; $pH=6,1$; $\lambda_{max}=560 \text{ nm}$; $I=1 \text{ lm}$; $t=40^{\circ}\text{C}$; $C_{HR}=4 \cdot 10^{-6} \text{M}—14 \cdot 10^{-5} \text{M}$)

ფართო ინტერვალში ($pH=1—11$). pH -ზე ოპტიკური სიმკვრივის დამოკიდებულების მრუდზე (ნახ. 1) შეინიშნება ორი მაქსიმუმი, რაც მიუთითებს ხსნარში ორი კომპლექსის არსებობაზე, სუსტმუავა ($pH=6,1—6,8$) და სუსტტუტე ($pH=8,5$) გარემოში.

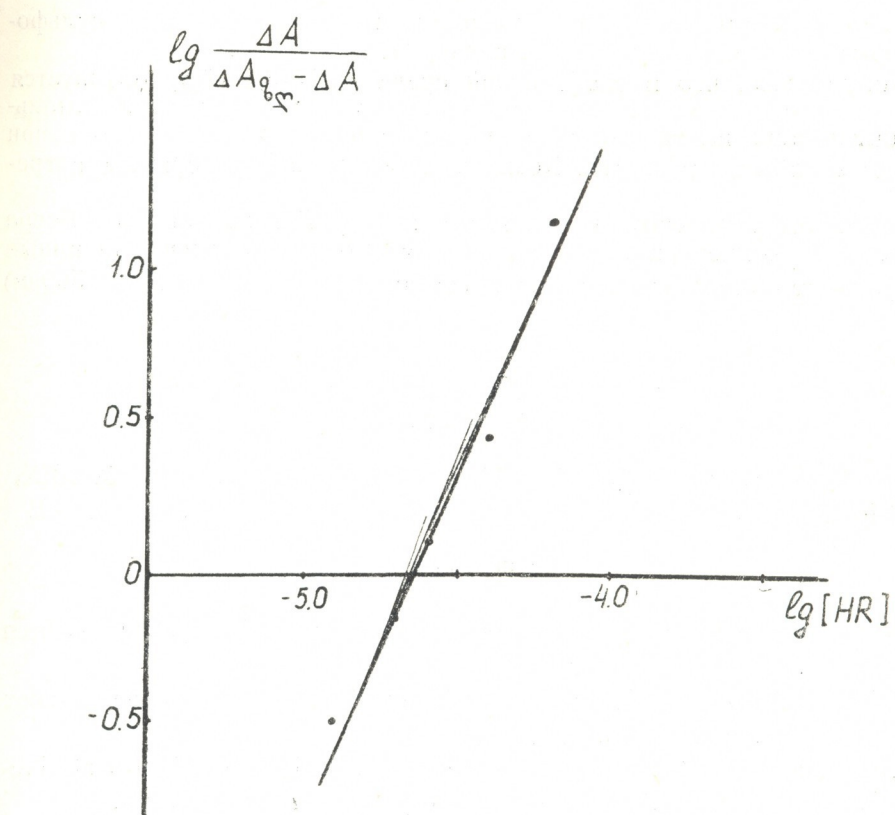
შემდგომი გამოკვლევები ვაწარმოეთ სუსტმუავა ($pH=6,1—6,8$) გარემოში — მაქსიმალური შეფერვის ინტენსივობის პირობებში.

შეფერილი ხსნარების შთანთქმის სპექტრების შესწავლამ გვიჩვენა, რომ 3-სულფო-5-ნიტროოქსიბენზორლაზორლდანინთან წარმოქმნილი ნიკელის კომპლექსის შთანთქმის მაქსიმუმი მდებარეობს $520—530 \text{ nm}$ ტალღის სივრცეზე, ხოლო რეაგენტის შთანთქმის მაქსიმუმი — 430 nm ტალღის სივრცეზე (ნახ. 2). კომპლექსის შთანთქმის მუდმივა $\varepsilon=1,025 \cdot 10^5$. კომპლექსის შეფერილი ხსნარები ბუგერ-ლამბერტ-ბერის კანონს ემორჩილება ნიკელის ინტენსივობის კონცენტრაციის ფართო ინტერვალში: $0,1—1,0 \text{ M}$ მეტ/მლ.

კომპლექსი მორეაგირე კონცენტრაციის დადგენის მიზნით გამოყენებული იყო იზომოლური სერიის, მოლურ თანაფარდობათა, სტარიკბარბანელის წონასწორობის გადახრის მეთოდები. ერთმნიშვნელოვნად დად-

გინდა, რომ კომპლექსში მორეაგირე კომპონენტების თანაფარდობა შეადგენს
Ni : HR = 1 : 2 (ნახ. 3; 4).

განსაზღვრის მეთოდიკა. ნიკელის იონების სპექტროფოტო-
მეტრული განსაზღვრის მიზნით, ჭიქებში შეგვეონდა საკვლევი ხსნარი, რო-
მელიც 3—30 მკგ მეტალს შეიცავდა. ვამატებდით 2,5 მლ $1 \cdot 10^{-3}$ M რეაგენტს,



ნახ. 4. კომპლექსის შედეგნილობის დადგენა წონასწორობის გარანცილების მეთოდით ($C_{M^{\circ}} = 2 \cdot 10^{-5}$ M; pH=6,1; $\lambda_{\text{აგ}}=560$ სმ; $11=1$ ს; $t=40^{\circ}\text{C}$; $C_{HR}=8 \cdot 10^{-6}$ M— $24 \cdot 10^{-6}$ M)

ხსნარის მოცულობა გამოხდილი წყლით მიგვყავდა 20 მლ-მდე, ვერცხლით სა-
ჭირო არეს 5%-იანი უროტროპინით და ვზომავდით pH-ს. შემდეგ ხსნარი
გადაგვეონდა 25 მლ-იან საზომ კოლბაში, ვაცხელებდით 40° და ოთახის
ტემპერატურამდე გაცივების შემდეგ ვზომავდით ოპტიკურ სიმკვრივეს.

3-სულფო-5-ნიტროქსიბენზოლაზოროდანინით ნიკელის განსაზღვრას
ხელს არ უშლის Mn (II) ნებისმიერი თანაფარდობით, Zn (II) (1 : 1);
Pb(II)(1:50), Cd(II)(1 : 100), Sn(II)(1 : 10), Hg(II)(1 : 10), Ag(I)(1:10), Au(III)(1 : 1)
რაც შეეხდა Co(II), Cu(II), Fe(III), Cr(III) იონებს, ისინა ხელს უშლიან
ნებისმიერი თანაფარდობით.

ამრიგად, ჩვენს მაჟრ წემუშავებულა ნიკელის ფოტომეტრული ვანსაზ-
ღვრის მეთოდი სუფთა ხსნარებში, რომელიც შეიძლება გამოვიყენოთ სხვადა-
სხვა ობიექტში ნიკელის სპექტრაფორმეტრული განსაზღვრისათვის.

თბილისის ივ. ჯავახიშვილის ხახელობის
სახელმწიფო უნივერსიტეტი

შემოსულია 06.12.1991



СПЕКТРОФОТОМЕТРИЧЕСКОЕ ИЗУЧЕНИЕ КОМПЛЕКСА НИКЕЛЯ С 3-СУЛЬФО-5-НИТРООКСИБЕНЗОЛАЗОРОДАНИНОМ

Резюме

Спектрофотометрическим методом изучена система 3-сульфо-5-нитрооксибензолазороданин—никель (II).

Установлено, что в слабокислой среде ($\text{pH}=6,1-6,8$) образуется красно-оранжевый комплекс с соотношением $\text{Ni:HR}=1:2$. Максимальная оптическая плотность окрашенных растворов достигается при 5-кратном избытке реагента. Комплексообразование ускоряется нагреванием.

Растворы комплексов подчиняются закону Бугера-Ламберта-Беера в интервале концентраций ионов никеля $0,1-1,0$ мкг/мл. Молярный коэффициент поглощения комплекса составляет $\epsilon=1,025 \cdot 10^5$ ($\lambda_{\text{opt}}=560\text{nm}$)

Х. Н. BOCHORISHVILI; Н. М. TELIA; О. В. MANJGALADZE;
L. T. GVELESIANI; N. N. BASARGIN

THE SPECTROMETRAL STUDY OF NICKEL COLOURED COMPLEX, FORMED FROM 3-SULPHO-5-NITRO - OXYBENZOLAZORODANYNE

Summary

The 3-sulpho-5-nitrooxybenzolazorodanyne—nickel (II) system has been studied by the spectrometral method.

It's established, that in a weak acid medium the red-orange complex is formed with the ratio $\text{Ni:HR}=1:2$.

Maximum optical density of the complex solutions is obtained at five-fold excess of reagent. Heating speeds up the process of complexation.

The complex solutions obey the Buger - Lambert-Beer law in a wide range of nickel ions concentrations: $0,1-1,0$ mcg/ml. An approximate Molar absorption coefficient of the complex is $\epsilon=1,025 \cdot 10^5$ ($\lambda_{\text{opt}}=560\text{nm}$).

ლიტერატურა — REFERENCES

1. Басаргин Н. Н., Розовский Ю. Г., Волченкова В. А., Зубкова Л. С. Теоретические и практические вопросы применения органических реагентов в анализе минеральных объектов. М.: Наука, 1976, 132.
2. Манджгаладзе О. В., Телия Н. М., Басаргин Н. Н., Чичуа Д. Г., Карабадзе Е. Г. Сообщения АН Грузии, 1991, 142, I, 65.
3. Мейке В. А. Руководство для препараторов химико-аналитических лабораторий. М.: Госгеолтехиздат, 1956, 248.

შეკ 546648 : 543.422

% ს 82600, 6. ღაბახიშვილი

თუთიის კონცენტრირების მეთოდი კომპლექსუროვნების

სორბენტის გამოყენებით ზურგის და ჩამონაბრენის

შეღწევი მისი განსაზღვრის დროს

დოკოსათვის ფართო გამოყენებას პოულობს ბოჭკოვანი სორბენტები, რომელიც ხასიათდებიან კომპლექსუროვნების თვისებებით. სორბენტები გამოიყენებან მიკროლემენტების კონცენტრირებისა და გამოყოფისათვის ხსნარებიდან. წარმოების შეღწევის გასაწმენდად, ქიმიურ ანალიზში [1, 2].

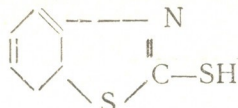
ბოჭკოვანი სორბენტების კომპლექსუროვნების თვისებები განისაზღვრება ფუნქციონალური ჯგუფების ბუნებით და ხშირად ხასიათდებიან კომპლექსების მდგრადობის მუდმივებით, რომელიც წარმოიქმნებიან მეტალის ინცებით სორბენტის ფაზაში. ამ ფაზაში კომპლექსის წარმოქმნა შეიძლება მოხდეს არა მხოლოდ შევევანილ ხელატწარმომქმნელ ჯგუფებთან, ასამეც დონორის ატომებთან, რომლებიც იმყოფებიან პოლიმერული მატრიცის ფაზეში [3, 4].

კომპლექსუროვნების გამოყენება მიკროლემენტების კონცენტრირებისათვის ბუნებრივ წყლებში ძალზე ჰერსკეგტიულია, ეს განპირობებულია მათი მაღალი არჩევითობით დაიღი მოცულობის ხსნარებიდან ელემენტების გამოყოფის დროს, კონცენტრირების მეთოდების ექსპრესულობით და კონცენტრირების შემდეგ ელემენტების განსაზღვრის შესაძლებლობებით უშუალოდ სორბენტის ფაზაში.

კომპლექსუროვნების გამოყენები გამოიყენება მრავალი ტიპის წყლებისათვის, მათ შორის ტუტე და ტუტემიწათა ლითონების მაღალი კონცენტრაციის დროს. კონცენტრირების მეთოდები ხელატური სორბენტების გამოყენებით გამოიჩინება შესრულების სიმარტივით და საშუალებას იძლევა ჩატარდეს ელემენტების მიკრორაოდენობების განსაზღვრა. დღეისათვის სინთეზირებულია მრავალი ბოჭკოვანი კომპლექსუროვნების სორბენტი სხვადასხვა ფუნქციონალური ჯგუფებით. ერთმხრივ, ბევრი მათვანი ნაკლებად არის შესწავლილი, რის გამოც არ აქვთ პრაქტიკული გამოყენება. მნიშვნელოვანი წარმატებაა მიღწეული ხელატური სორბენტების გამოყენებისა მიკროლემენტების განსაზღვრისათვის ბუნებრივ წყლებში [5].

სამუშაოს მიზანდასახულობაა კადმიუმისა და თუთიის კონცენტრირების მეთოდის შემუშავება მოდელურ ხსნარებში კომპლექსუროვნების ბოჭკოვანი სორბენტების გამოყენებით მათი შემდგომი განსაზღვრისათვის ატომურაბსორბციული მეთოდით ბუნებრივ და ჩამდინარე წყლებში.

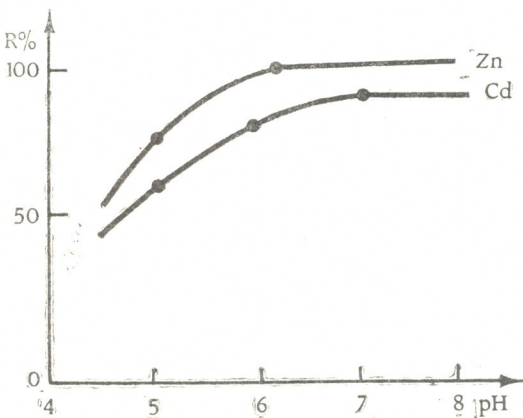
კადმიუმისა და თუთიის კონცენტრირების სორბციული მეთოდით დამუშავებისათვის ჩვენს მიერ გამოყენებულია ბოჭკოვანი სორბენტი **ПОЛИ-ОРГС VIII** — დეპილირებული პოლიინილის სპირტისა და 2-მერკაპტობენზიტიაზოლის ფუძეზე. სორბენტი წარმოადგენს მუქ ყავისფერ ბოჭკოს და შეიცავს შემდეგ ჯგუფებს:



სორბენტი რეკომენდებულია მძიმე მეტალების კონცენტრირებისათვის [2].

სორბცია ჩატარდა სტატიურ პირობებში მინერალური წყლის „ბორჯო-მის“ ტიპის მოდელურ ხსნარებში. განსაზღვრისათვის გამოყენებულია სა-ტურნ—2 მარკის ატომურ-აბსორბციული სპექტროფოტომეტრი, რომელიც უზ-რუნველყოფს განსაზღვრის მაღალ სიზუსტეს. სტანდარტული ხსნარები გ/ლ-ის შემცველობით დამზადებულია [6]. შედარებით მცირე შემცველობის ხსნარები კი თანდათანობითი გაზიავებით.

ხსნარში წყალბადის ინების კონცენტრაცია წარმოადგენს მნიშვნელოვან ფაქტორს კომპლექსშარმომქმნელი სორბენტების მეშვეობით ლითონების გამო-ყოფისას. გაწონასწორებულ ხსნარში pH-ის შეცვლასთან ერთად იცვლება სორბენტის ფუნქციონალური ფგუფების მდგომარეობა, მათი უნარი სხვადა-სხვა ელემენტთა კომპლექსშარმომქმნისათვის [2, 7], კადმიუმისა და თუთის რაოდენობრივი გამოყოფისათვის ოპტიმალური პირობების შესარჩევად შევის-წავლეთ მათი განაწილება ხსნარსა და სორბენტს შორის pH-საგან დამოკი-



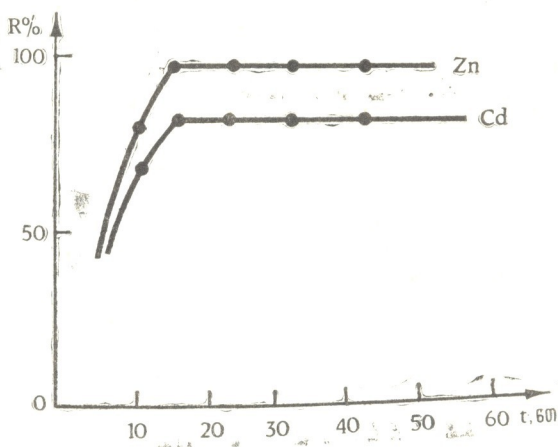
ნახ. 1. კადმიუმისა და თუთის სორბციის ხარისხის დამოკიდებულება pH-ზე

დებულებით (ნახ. 1). ექსპერიმენტმა გვიჩვენა, რომ თუთის რაოდენობრივი გამოყოფა სორბენტზე 95—100%-ის ოდენობით მიიღწევა 5,5—6 pH-ის დროს. კადმიუმისა კი 82—88% (6,5—7 pH-ის დროს). სორბციის დრო საკ-მარისია 15 წთ (ნახ. 2). ვინაიდან ალნიშნულ სორბენტზე კადმიუმის სრული სორბცია არ მიიღწევა, ამიტომ მიზანშეწონილად მივიჩნიეთ მხოლოდ თუთის სორბციის ოპტიმალური პირობების დადგენა.

ბუნებრივი წყლები შეიძლება მნიშვნელოვნად განსხვავდებოდნენ მარა-ლოვანი შედგენილობით, ამიტომ ქვემოთ (ნახ. 3) ხაჩვენებია ხსნარების იონუ-რი ძალის გავლენა მეტალთა სორბციაზე.

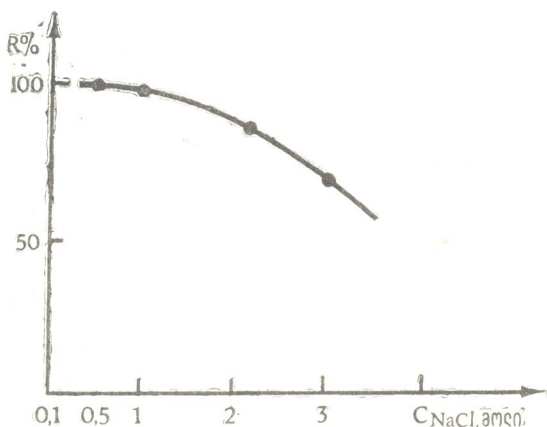
ცნობილია, რომ ხსნარის იონური ძალა დიდ გავლენას ახდენს კომპლექს-შარმომქმნელი სორბენტებით იონების სორბციაზე. ეს გამოწვეულია იმით, რომ სორბენტების ფუნქციონალური ფგუფების კომპლექსშარმომქმნელი თვი-სებები დამოკიდებულია იონური ძალის სიდიდეზე. მარილებას ფონის ცვლი-ლებასთან ერთად იცვლება სორბენტის გაფირჭვება, მისი სელექტური თვისე-

ბები, საანალიზო ხსნარში სორბირებული იონების მდგომარეობა [7]. მარი-
ლების ბუნების და კონცენტრაციის ცვლის დროს ხსნარებში იცვლება აგრე-
თვე იონების შესაბამისი ფორმების თანაფარდობა [8—10]. თუთის სორბციაზე
იონური ძალის მოქმედება იცვლება ხსნარებში NaCl -ის კონცენტრაციის.



ნახ. 2. კადმიუმისა და თუთის სორბციის ხარისხის დამკიდებულება დროზე

ცვლით 0,1-დან 3 მ-დე. ნატრიუმის ქლორიდის 1 მ-ზე მაღალი კონცენტრა-
ციის დროს თუთის გამოყოფის ხარისხი შეიმუშავებოდნად მცირდება. ვინაიდნ
ბუნებრივ წყლებში მარილების შედგენილობა არ აღემატება 1 მ-ს, ამიტომ
სორბენტი **ПОЛИОРГС VIII** შეიძლება გამოყენებული იქნას ასეთი ხსნარე-
ბიდან თუთის კონცენტრირებისათვის.



ნახ. 3. Na -ის კონცენტრაციის გავლენა თუთის სორბციაზე

სორბციის ოპტიმალური პირობები განხილული ხსნარების სხვადასხვა
მოცულობათა ფარდობების დროს სორბენტის ფაზაში მოცემულია № 1
ცხრილში.

თუთიის სორბცია ხსნარის სხვადასხვა მოცულობების ფარდობისას სორბენტის მასასთან.

ხსნარის მოცულობის ფარდობის სორბენტის მასასთან V:π; მლ/გ	სორბენტის მასა, გ	სორბციის ხარისხი, %
400	0,5	100,0
500	0,4	100,0
1000	0,2	100,0
2000	0,1	100,0
4000	0,05	92,0

როგორც ექსპერიმენტმა გვიჩვენა. 200 მლ მოცულობის ხსნარიდან თუთიის მთლიანი გამოყოფა ($C_{Z_n} = 0,1$ მკგ/მლ) მიიღწევა 0,1 გ სორბენტის გამოყენებისას, ე. ი. $V/m=2000$ ფარდობისას. ამგვარად, 1 ლ ხსნარიდან თუთიის გამოყოფისათვის საჭმარისია 0,5 გ სორბენტი.

ცხრილი 2

თუთიის კონცენტრატების მეთოდიების შემოწმების შედეგები
 $V=100$ მლ, $n=3$

თუთიის კონცენტრა- ტების ხსნარებში, მკგ/მლ	შეყვანილია, მკგ/მლ	ნაპოვნია, მკგ/მლ	ფარდობითი ცდომილება, %
0,01	0,01	0,021	+5,0
0,02	0,01	0,029	-3,3
0,03	0,01	0,039	-2,5
0,06	0,01	0,072	+2,8
0,07	0,01	0,082	+2,5

თუთიის დესორბციის ოპტიმალური პირობების დასაღენად ელუენტების სახით გამოვიყენეთ სხვადასხვა კონცენტრაციის აზოტმჟავა (0,1—5 მ), რის შედეგადაც დავაღინეთ, რომ თუთიის დესორბციისათვის 0,5 გ სორბენტზე სტატიკურ პირობებში საჭმარისია 10 მლ 2 მ აზოტმჟავა. კონტაქტის დრო 20 წთ.

ცხრილი 3

თუთიის შემცველობა ზოგიერთ ბუნებრივ წყლებში
 $n=3$

წყლის სინჯი	თუთიის შემცველობა, მკგ/ლ
ჭაჭურლილი № 17	$29,0 \pm 0,7$
ჭაბურღლალი № 20	$26,0 \pm 0,6$
წყარო	$10,0 \pm 0,7$

ცხრილი 4

თუთიის შემცველობა ზოგიერთ ჩამდინარე წყლებში
 $n=3$

წყლის სინჯი	თუთიის შემცველობა, მგ/ლ
პუნქტი 1	$16,0 \pm 0,6$
პუნქტი 2	$21,0 \pm 0,9$
პუნქტი 5	$67,2 \pm 0,3$

ექსპერიმენტის შედეგად დადგენილი თუთიის კონცენტრირების მეთოდი გამოიყენებით მოიცავს სორბცია-დესორბციის პროცესს.

სორბცია: 1000 მლ მოცულობის წყლის სინჯი, რომელსაც წინასწარ დამატებული აქვს თუთიის გარჩვეული რაოდენობა (0,01—1 მკგ/ლ), დაგვყავს pH ~ 6-მდე HCl-ის ან NaOH-ის დამატებით, რის შემდეგაც მასში შეგვყავს 0,5 გ სორბენტი და ვანგლრევი (სანგლრევი აპარატის საშუალებით) 0,5 სთ-ის განმავლობაში. ხსნარს გადმოვღვრით, სორბენტს კი ვრეცხავთ გამოხდილი წყლით 2-3-ჯერ, ვწურავთ მინის წყირით და ვახდენთ მასში თუთიის დესორბციას.

დესორბცია: თუთიით დატვირთულ სორბენტს ვამატებთ 10 მლ 2 მ-ის HNO₃-ს და ვაყოვნებთ 20 წთ-ის განმავლობაში. შემდეგ ხსნარს გადმოვიტანთ მზომ კოლბაში და ვსაზღვრავთ მასში თუთიის რაოდენობას ატომურ-აბსორბციული მეთოდით [11], რისთვისაც ალნიშნული ხსნარის ალიქვოტური ნაწილი 20 მკლ-ის მოცულობით შეგვყავს გრაფიტის ღუმელში.

თუთიის კონცენტრირების მეთოდიკის სისწორე შემოწმებული იქნა „შეყვანილია — ნაპოვნია“-ს მეთოდით [12]. შედეგები მოყვანილია № 2 ცხრილში.

შემუშავებული მეთოდი გამოყენებულია თუთიის განსაზღვრისათვის ბუნებრივ და ჩამდინარე წყლებში (ცხრ. 3, 4).

საქართველოს ტექნიკური უნივერსიტეტი

შემოსულია 15.03.1991

3. СВАНИДЗЕ, Н. ДАБАХИШВИЛИ

МЕТОД КОНЦЕНТРИРОВАНИЯ ЦИНКА С ИСПОЛЬЗОВАНИЕМ КОМПЛЕКСООБРАЗУЮЩЕГО СОРБЕНТА ПРИ ЕГО ОПРЕДЕЛЕНИИ В ПРИРОДНЫХ И СТОЧНЫХ ВОДАХ

Р е з и м е

Разработан метод концентрирования цинка в природных и сточных водах, для чего использован перспективный комплексообразующий волокнистый сорбент.

Установлены оптимальные условия сорбции и десорбции цинка.

Разработка метода концентрирования цинка в модельных растворах предназначена для его последующего определения атомно-абсорбционным методом в природных и сточных водах.

Z. SVANIDZE, N. DABAKHISHVILI

ZINC CONCENTRATION METHOD WITH THE USE OF COMPLEXOFORMING SORBENTS WHILE ITS DETERMINATION IN NATURAL AND SEWAGE WATERS

С у м м а г у

Zinc concentration method in the model solutions has been worked out with the use of the most perspective complexoforming fibrous sorbent. Optimal conditions for zinc sorption and desorption have been investigated and determined.



The worked out methodic was checked by "introduced - obtained" method, which provides accuracy of methodic. Zinc concentration method in the model solutions was meant for its later determination in natural and sewage waters.

ЛІТЕРАТУРА — REFERENCES

1. Басаргин Н. Н., Разовский Ю. Г., Жирова В. М. В кн.: Органические реагенты и хелатные сорбенты в анализе минеральных объектов. М.: Наука, 1980, 82—116.
2. Мясоедова Г. В., Саввин С. Б. Хелатообразующие сорбенты. М.: Наука, 1984, 171.
3. Чайкина Е. А., Гольбройх Л. С., Роговин З. А. Высокомол. соединения, 1967, 9, 5, 1168—1173.
4. Толмачев В. Н., Морошкин А. В., Луговская З. А. Высокомол. соединения, 1972, 14, 5, 389—391.
5. Lieseg K. H., Breitweser E., Burga P., Röber H. M., Spatz R. Mikrochim. acta. 1978, 1, 9, 363.
6. Коростелев П. П. Приготовление растворов для химико-аналитических работ. М.: Наука, 1964, 398.
7. Салладзе К. М., Копылова-Валова В. Д. Комплексообразующие иониты (комплекситы). М.: Химия, 1980, 336.
8. Линник Н. Н., Набиванец Б. И. Формы миграции металлов в пресных поверхностных водах. Л.: Гидрометиздат, 1986, 296.
9. Рахманов У. Н. Автореф. дис. канд. хим. наук. Ростов-на-Дону, 1984.
10. Mantuoglu M. F. C., Pekson A., Rilley C. P. Estuarine and coastal marine science, 1978, 6, 387—408.
11. Сванидзе З. С., Седых Э. М., Банных Л. Н., Мясоедов Б. Ф. Ж. анал. хим., 1987, 43, 11, 1989—1994.
12. Мясоедова Г. В., Щербинина Н. И., Сванидзе З. С., Варшал Г. М., Мясоедов Б. Ф. Ж. анал. хим., 1986, 41, 3, 477—480.



УДК 543.544

О. Д. НАЙДЕНОВ, А. А. РЯЗАНЦЕВ, Т. Г. АНДРОНИКАШВИЛИ

ВОЗМОЖНОСТЬ ИСПОЛЬЗОВАНИЯ ХАЛЦЕДОНА В КАЧЕСТВЕ НОСИТЕЛЯ ДЛЯ ГАЗОЖИДКОСТНОЙ ХРОМАТОГРАФИИ

В настоящее время одним из основных аналитических методов является газожидкостная хроматография. Успешное применение данного метода зависит от правильного выбора условий эксперимента, где значительную роль играет природа твердого носителя.

К твердым носителям предъявляется ряд таких требований, как химическая инертность, отсутствие адсорбционной и катализитической активности, высокая термостабильность, механическая прочность и другие. В работах [1, 2] отмечается возможность применения материалов из местного минерального сырья в качестве твердых носителей, которые по хроматографическим свойствам мало уступают фирменным образцам.

В данной работе была изучена возможность использования в качестве твердого носителя природного халцедона, который представляет собой кварцевый минерал с высоким содержанием кремнезема. Предметом наших исследований стал халцедон Гундинского месторождения Бурятии.

Для исследования было подготовлено 3 образца. Образец 1 представлял собой природный халцедон, 2 — обработанный халцедон и образец 3 — обработанный халцедон с нанесенной неподвижной жидкой фазой (НЖФ). В качестве НЖФ использовали Апизон К со степенью пропитки 10%. Образец 2 был получен путем химической и термической обработки природного халцедона по методике, предложенной в работе [2].

Химический состав образцов 1 и 2 показал, что обработанный халцедон характеризуется более низким содержанием каталитически активных оксидов Al_2O_3 и Fe_2O_3 (таблица 1).

Таблица 1

Химический состав твердых носителей в % (вес.)

Образец	Влага, потери при прокалив.	SiO_2	Al_2O_3	Fe_2O_3	TiO_2	MnO	MgO	CaO	K_2O	Na_2O	P_2O_5
1	1,66	96,51	0,36	0,19	0,07	0,01	0,23	0,28	0,05	0,13	—
2	0,36	97,08	0,12	0,05	0,03	0,01	0,22	—	0,02	0,11	0,02

Большое значение для определения времени удерживания и эффективности разделения имеют физико-химические характеристики твердого носителя. Из наиболее важных показателей определены насыпной вес, удельная поверхность, рН поверхности и механическая прочность (таблица 2). Удельную поверхность определяли по объему удерживания [3]. Остальные физико-химические показатели найдены экспериментальным путем по известным методикам [4]. Для сравнения приведены данные по Хромосорбу W [5]. Из таблицы 2 видно,

что образец 2 обладает хорошими показателями по приведенным параметрам.

Хроматографические исследования проводили на лабораторном хроматографе «Хром-4» с детектором по теплопроводности. Длина хроматографической колонки — 1 м, диаметр — 3 мм. Диаметр зер-

Таблица 2

Физико-химические характеристики твердых носителей

Физические показатели	Образец 1	Образец 2	Хромосорб W
Насыпной вес, г/см ³	1,33	0,34	0,33
Удельная поверхность, м ² /г	0,1	0,88	1,25
pH поверхности	8,2	8,5	8—10
Механическая прочность	97,8	89,0	—

нения исследуемых образцов составлял 0,25—0,5 мм. Наполненные колонки активировали в токе газа-носителя (гелий) в течение 3—4 часов при 250°. Скорость газа-носителя — 30 мл/мин.

Таблица 3

Значения ВЭТТ и коэффициента ν на твердых носителях

Компоненты	Образец 2				Образец 3			
	80°C		120°C		80°C		120°C	
	ВЭТТ, пм	ν	ВЭТТ, пм	ν	ВЭТТ, пм	ν	ВЭТТ, пм	ν
пентан	9,45	0,54	15,57	0,60	4,27	0,75	5,44	0,91
гексан	11,39	0,50	13,43	0,55	3,43	0,78	3,36	0,83
гептан	15,05	0,46	19,39	0,66	3,51	0,83	3,54	0,95
ацетон	65,87	0,17	35,55	0,29	8,18	0,33	3,89	0,50
метилэтилкетон	91,28	0,12	15,42	0,31	8,51	0,36	6,65	0,54
пропанол	24,64	0,26	20,54	0,40	11,27	0,38	7,31	0,52
бутанол	21,20	0,16	18,44	0,42	12,14	0,24	6,62	0,53
изо-бутанол	31,25	0,13	20,32	0,39	11,55	0,28	6,55	0,50
бензол	12,65	0,52	18,20	0,41	3,45	0,98	4,10	1,00
толуол	10,10	0,44	12,46	0,40	3,11	0,99	3,06	0,94
п-ксилол	11,16	0,33	15,31	0,50	4,01	0,99	2,84	0,94

Таблица 4
Коэффициент разделения K_1 отдельных бинарных смесей на образце 3

Бинарная смесь	K_1
пентан-гексан	0,83
гексан-гептан	1,05
ацетон-метилэтилкетон	0,65
бензол-толуол	1,82
толуол-п-ксилол	1,72
пропанол-бутанол	0,74

В качестве модельных смесей использовали предельные и ароматические углеводороды, спирты и кетоны.

С целью оценки эффективности колонок с разными твердыми носителями, а также выяснения факторов, влияющих на скорость раз-

мытия разделяемых компонентов, была использована величина высоты, эквивалентной теоретической тарелке (ВЭТТ). Мерой адсорбционной активности твердого носителя является коэффициент асимметрии v , который определяли как отношение ширины тыла к ширине фронта, измеренных на половине высоты пика [6].

Проведенные газохроматографические исследования показали, что образец 1 не в состоянии разделить модельные смеси из-за высокой адсорбционной активности.

Сравнение ВЭТТ и v для образцов 2 и 3 при температурах 80° и 120° (таблица 3) показало, что нанесение жидкой фазы значительно увеличивает эффективность колонки с исследуемым твердым носителем, так как неподвижная фаза подавляет действие отдельных ад-

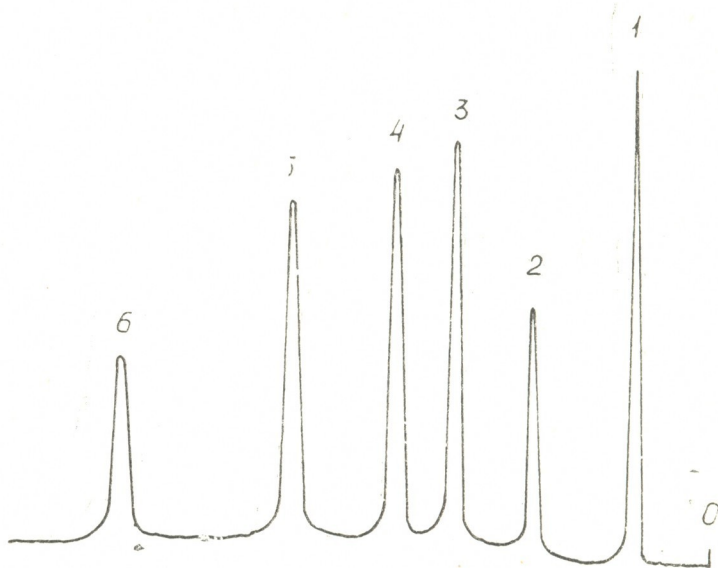


Рис. 1. Хроматограмма разделения модельной смеси: 1—пентан, 2—гексан, 3—гептан, 4—бензол, 5—толуол, 6—п-ксилол

сорбционных центров на поверхности обработанного халцедона.

Изучение зависимости ВЭТТ от рабочей температуры интервале от 80° до 160° показало, что наиболее эффективно колонки работают при 120°.

Критерием качества разделения веществ является коэффициент разделения. Для определения коэффициента разделения использовали критерий Жуховицкого—Туркельтауба K_1 [7]. K_1 растет от 0,5 до бесконечности с увеличением расстояния между пиками и уменьшением ширины пика. Расчет K_1 отдельных бинарных смесей (таблица 4), выполненный для образца 3, показал, что обработанный халцедон с Апиезоном К обладает хорошими разделительными свойствами по отношению к предельным и ароматическим углеводородам.

На рис. 1 показана хроматограмма разделения модельной смеси пентан-гексан-гептан-бензол-толуол-п-ксилол, полученная в режиме температурного программирования рабочей колонки от 30° до 120° (10° С/мин) на образце 3.



Таким образом, проведенные исследования показали, что природный хальцедон, подвергнутый химической и термической обработке, соответствует требованиям, предъявляемым к твердым носителям, и пригоден для применения в газожидкостной хроматографии.

Институт физической и органической химии
им. П. Г. Меликишвили
АН Грузии

Поступило 01.04.1990

ო. ნაიდენოვი, ა. რიაზანცევი, თ. ანდრონიკაშვილი

ხალცედონის გამოყენების შესაძლებლობა მყარ სარჩულად გაზ-თევზად პლატოგრაფიაში

რეზიუმე

შესწავლით გუდინსკის აღგილმდებარეობის ხალცედონის (ბურიატია) გამოყენების შესაძლებლობა მყარ სარჩულად გაზ-თევზად ქრომატოგრაფიაში.

დაგენილია ბუნებრივი ხალცედონის და მის საფუძველზე მიღებული სარჩულის ფიზიკურ-ქიმიური მახსინათებლები. ნაპოვნია, რომ უძრავ ფაზას, რომელიც წარმოადგენს შესაბამისი მეთოდით დამუშავებულ ხალცედონს დაფუნილ აპიეზონ K-თი, გააჩნია კარგი დამყოფი ოვისებები არომატული და ნაფერი ნახშირწყალბალების მიმართ.

O. D. NAIDENOV, A. A. RYAZANTSEV, T. G. ANDRONIKASHVILI
ON THE POSSIBILITY OF USING CHALTSEDONY AS A SOLID
SUPPORT FOR GAS-LIQUID CHROMATOGRAPHY

Summary

The possibility of using chaltsedony of Cundin deposit (the Buryat) as a solid support for gas-liquid chromatography has been studied. Rhysico-chemical characteristics of natural chaltsedony and the solid carrier obtained on its basis have been defined. It was found, that the stationary phase represented by accordingly processed chaltsedony covered by Apiezon K has good separating properties for aromatic and limiting hydrocarbons.

ლიტერატურა — REFERENCES

- Уротадзе С. Л., Мдивнишвили О. М., Уридия, Л. Я., Лаперашвили Л. Я. Адсорбенты и твердые носители в газовой хроматографии. Тбилиси: Мецниереба, 1979, 70—75.
- Квернадзе Т. К., Лаперашвили Л. Я. Газовая хроматография. Тбилиси: Мецниереба, 1986, 46—61.
- Вигдергауз М. С., Измайлов Р. И. Применение газовой хроматографии для определения физико-химических свойств веществ. М.: Наука, 1970, 159 с.
- Березкин В. Г., Пахомов В. П., Сакодынский К. И. Твердые носители в газовой хроматографии. М.: Химия, 1975, 200 с.
- Вяхирев Д. А., Шушунова А. Ф. Руководство по газовой хроматографии. М.: Выш. шк., 1987, 308 с.
- Вигдергауз М. С. Расчеты в газовой хроматографии. М.: Химия, 1978.
- Жуховицкий А. А., Туркельтауб И. М. Газовая хроматография. М.: Гостехиздат, 1962.



УДК 543.544.45.65.011.56

К. Д. АМИРХАНАШВИЛИ, М. М. ГЛАЗЫРИН

АВТОМАТИЗАЦИЯ ХРОМАТОГРАФИЧЕСКОГО ЭКСПЕРИМЕНТА. 2. ОБРАБОТКА ДАННЫХ НА ЭВМ СМ-1420

Одним из направлений автоматизации хроматографических приборов является использование средств вычислительной техники с соответствующим программным обеспечением. Это позволяет повысить точность обработки, особенно при плохом качестве исходной информации (сильный дрейф, шумы, малое соотношение сигнал/шум), значительно сократить время обработки и др.

Математические методы обработки хроматографической информации изложены в ряде работ отечественных и зарубежных авторов [1—8].

Настоящая работа посвящена созданию программных средств для обработки хроматографических экспериментальных данных. Эксперименты проводили с помощью автоматизированной системы, которая построена авторами и реализована на базе ЭВМ СМ-1420 [9].

Предлагаемая программа «CHROM» включает:

- фильтрацию входного сигнала от высокочастотного шума и кратковременных выбросов;
- определение и отслеживание уровня флюктуационных шумов и дрейфа нулевой линии;
- определение характерных точек пика;
- определение высоты и площади пиков, скорректированных с учетом положения нулевой линии;
- расчет неразделенных пиков;
- определение асимметрии пиков;
- подсчет индексов удерживания;
- количественный расчет методом внутренней нормализации;
- вывод результатов обработки на печатающее устройство.

Блок-схема программы «CHROM» приведена на рис. 1.

Хроматографический сигнал представляет ряд дискретных отсчетов (выборок), записанных в виде файла на магнитном носителе.

В программе осуществляется обработка группированных выборок, формирующихся путем суммирования исходных выборок, благодаря чему производится фильтрация входного сигнала от высокочастотного шума и поддерживается постоянным число группированных выборок на пик.

В качестве характеристики ширины пика используется передний фронт пика, на который должно приходиться от 9 до 18 группированных выборок. При превышении верхней границы происходит настройка на более широкий пик: удвоение коэффициента группирования и изменение подсчитанных характеристик сигнала (шума, дрейфа).

Начальный коэффициент группирования выборок вводится оператором в начале программы путем задания ширины переднего фронта первого пика. Детектирование и нелинейная фильтрация выбросов осуществляются путем проведения параболы по 5 группированным выборкам. Для распознавания топологических ситуаций используется цифровой фильтр, вычисляющий ее по 7 группированным выборкам.



При распознавании топологических ситуаций, особенно при анализе микропримесей с малым соотношением сигнал/шум, важно иметь точную оценку уровня шума. В качестве шума используется сглаженное при помощи экспоненциального фильтра с большой постоянной времени значение модуля скоректированной на нулевую линию первой производной. Значение шума, умноженное на 5, является шумовым порогом и используется для детектирования начала пика.

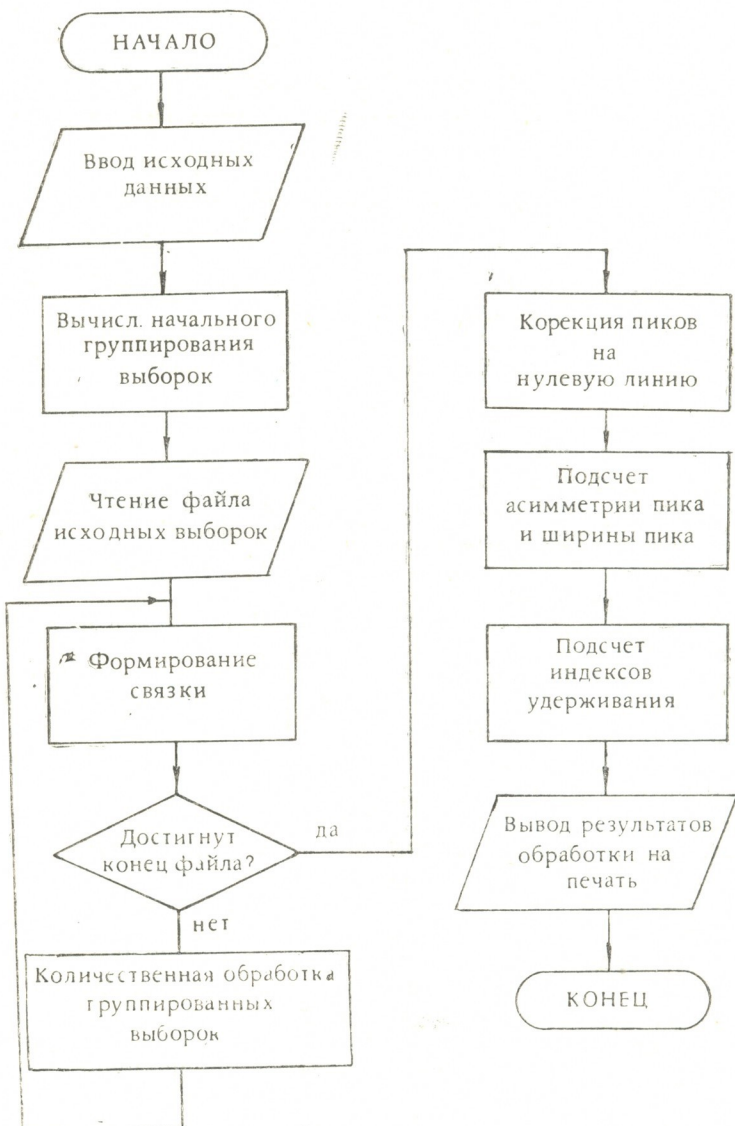


Рис. 1. Блок-схема программы „CHROM“

Для коррекции пиков на нулевую линию используется сглаженное при помощи экспоненциального фильтра с большой постоянной времени значение первой производной.

Для быстрой оценки шума и наклона нулевой линии в начале анализа постоянная времени сглаживающего экспоненциального фильтра сделана переменной и увеличивается от нуля до максимального значе-

ния. Это обеспечивает быструю и точную оценку значений шума и на-
клона за 10 группированных выборок.

Шум и наклон нулевой линии являются важными характеристика-
ми и постоянно корректируются в отсутствие пиков на хроматограмме.

Детектирование первого пика группы пиков осуществляется при
превышении положительной скорректированной производной шумового
порога. Число один характеризуется началом и окончанием нулевой
линии.

Вершина пика обнаруживается по смене знака скорректированной
производной и уточняется путем вписывания параболы в вершину пи-
ка по 5 группированным выборкам. Координаты вершины параболы
являются координатами вершины пика.

Нулевая линия определяется после обнаружения вершины пика по
достижении скорректированной производной шумового порога и при
условии положительной первой производной.

Обнаружение начала неразделенных пиков осуществляется таким
же образом, как и детектирование первого пика группы.

Условия обнаружения характерных точек пика дублированы, т. е.
должны быть выполнены последовательно несколько раз.

Определение «пиков-наездников», являющихся пиками микропри-
месей, на «хвостах» больших пиков происходит после определения ко-
ординат вершины пика путем сравнения по высоте и ширине проверя-
емого пика с предыдущим или размытым пиком этой же группы.

Нулевая линия проводится после определения характерных точек
всех пиков, в том числе и слившихся, по так называемому методу
«резиновой ленты» — выпуклой вниз ломанной линии, упирающейся в
минимумы между неразделенными пиками, которые разбивают исход-
ную группу пиков на подгруппы.

После нахождения параметров нулевой линии осуществляется кор-
ректировка площадей и высот пиков с учетом положения нулевой ли-
нии. Площадь под и за наездниками присоединяется к площади основ-
ного пика. Не полностью разделенные пики разделяются методом опу-
скания перпендикуляра; отделение «пиков-наездников» от основного
пика производится по тангенсоиде.

Площади пиков считаются по методу правосторонних прямоуголь-
ников.

Асимметрия пика определяется по формуле:

$$K = b_k/b_n , \quad (1)$$

где b_k — ширина заднего фронта пика на его полувысоте,

b_n — ширина переднего фронта пика на его полувысоте.

Индексы удерживания (индексы Ковача) рассчитываются по
формуле:

$$I = \frac{\log t_k - \log t_n}{\log t_{n+1} - \log t_n} \cdot 100 + 100n \quad (2)$$

где n — число атомов углерода в н-парафинах,

t_k — время удерживания пика вещества,

t_n, t_{n+1} — время удерживания пиков н-парафинов,

Программа написана на языке ФОРТРАН для мини ЭВМ типа
СМ-1420.

Разработанная программа CHROM представляет интерес для спе-
циалистов, работающих в области хроматографии, в частности, в об-
ласти количественного газохроматографического анализа.

2. მონაცემების კონფიდენციალურობა დაგუშვება

ମେଳାପଦି

ნაშრომში განხილულია ავტომატიზირებულ ქრომატოგრაფზე მიღებული ექსპერიმენტული მონაცემების დასამუშავებლად შექმნილი პროგრამა „CHROM“.

მოცემული პროგრამა მნიშვნელოვნად ზრდის როგორც თვისობრივი, ისე რაოდენობრივი ანალიზის სიზუსტეს და ამაღლებს შრომის ნაყოფიერებას ქრომატოგრაფიული კვლევის დროს.

K. AMIRKHANASHVILI, E. GLASIRIN

AUTOMATION OF CHROMATOGRAPHIC ANALYSIS. 2. DATA PROCESSING ON THE BASE OF CM-1420 TYPE COMPUTER

Summary

The work presents data on the working out and creation of programme CHROM for the processing of experiment data, obtained on the automatized gas chromatograph.

The suggested programme considerably increases the accuracy of both quantitative and qualitative analyses and augments labour productivity of chromatographic analyses.

ଓଡ଼ିଆରୀତିଶ୍ଵରା — ЛИТЕРАТУРА — REFERENCES

1. Кюллик Э. А., Калюранд М. Р., Коель М. Н. Применение ЭВМ в газовой хроматографии. М.: Наука, 1978, 127.
 2. Гуревич А. Л., Русанов Л. А., Сягаев Н. А. Автоматический хроматографический анализ. Л.: Химия, 1980, 192.
 3. Силис Я. Я., Кофман А. М., Розенблит А. Б. Первичная обработка хроматограмм и спектров на ЭВМ. Рига: Зиннате, 1980, 36—51.
 4. Беляев Н. Ф., Вигдергауз М. С., Матусов М. И. Автоматизированный расчет величин хроматографического удерживания при различных условиях разделения. Завод. лаб., 1978, 53, 2, 1—3.
 5. Bacon G. D. J. Chromatogr., 1979, 172, 57—66.
 6. Taggoix P., Rabouïoud T. J. Chromatogr., 1982, 248, 2, 249—262.
 7. Коррегофер В. Verfahren zum Auserten chromatogrammen. Заявка Де 343600 9 A1, ФРГ. Заявл. 1.10.84, № 3436000.3, опубл. 3.04.86.
 8. Smith R. J., Haken J. K., Wainwright M. S., Madden B. G. J. Chromatogr., 1985, 328, 11—14.
 9. Амирханашвили К. Д., Андроникашвили Т. Г. Автоматизация газохроматографического эксперимента на базе ЭВМ СМ-1420. Тез. докл. Всес. школы-семинара по автом. хим. иссл., Тбилиси: 1988.

ОРГАНИЧЕСКАЯ ХИМИЯ

УДК 547.97

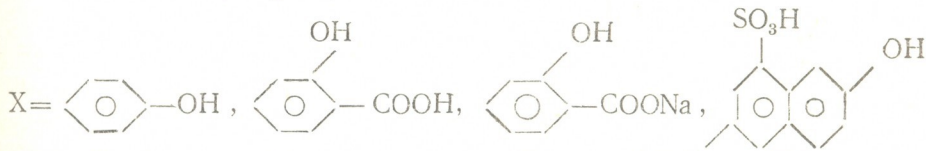
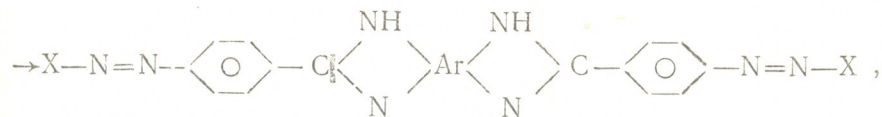
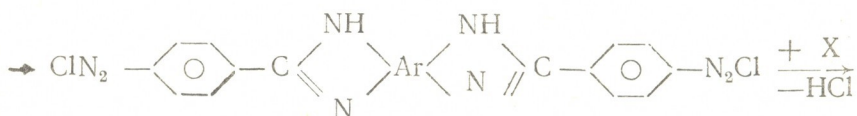
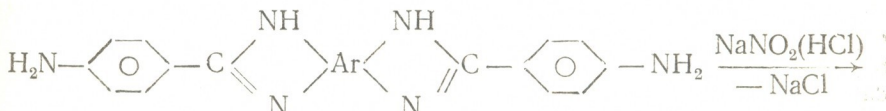
Н. Г. ЛЕКИШВИЛИ, Л. П. АСАТИАНИ, Ш. В. ПИЧХАДЗЕ,
 М. Г. КЕЖЕРАШВИЛИ, Т. Д. СЕСИКЕЛАШВИЛИ, Б. А. БУЦХРИКИДЗЕ,
 Л. Г. КИПИАНИ

НОВЫЕ БИСАЗОКРАСИТЕЛИ НА ОСНОВЕ
ГЕТЕРОАРИЛЕНОВЫХ ДИАМИНОВ

В настоящем сообщении рассматривается синтез и применение новых гетероариленовых бисазокрасителей. Исходные диамины были получены по реакции восстановительной гетероциклизации ароматических ортонитроаминов [1]. Не описанный ранее в литературе полученный нами диамин (B) (схема 1) представляет собой светло-оранжевые кристаллы с желтоватым оттенком, хорошо растворимые в N-диметилформамиде, N-метилпирролидоне и диметилсульфоксиде; плохо растворяются в горячем этаноле, плавятся выше 643 К с разложением.

Строение полученного диамина установлено по данным элементного анализа и ИК-спектров синтезированного диамина. Так, например, в ИК-спектрах наряду с полосами поглощения, в области 3390—3450 cm^{-1} (характеризующими NH_2 -группы) и 965 cm^{-1} (соответствующие замещенным ароматическим группам) были также найдены полосы поглощения в области 1426—1450 и 1624—1625 cm^{-1} , которые можно отнести к имидазольной группе.

Бисазокрасители синтезировали по реакции тетраазотирования и дальнейшего азосочетания полученных солей тетраазония с различными азосоставляющими по общей схеме [2, 3]:



(I)

(II)

(III)

(IV)

(схема 1)

Реакцию тетраазотирования проводили в присутствии уксусной кислоты при температуре 273—293 К по методике, описанной в работе [23]. Например, в предварительно приготовленную суспензию 0,05 моля исходного диамина (A) в 300 мл воды прибавляли 0,2 моля уксусной кислоты и 0,1 моля NaNO_2 в виде 25%-го водного раствора. Продолжая перемешивание 40—50 мин, прибавляли 0,1 моля натриевой соли салициловой кислоты, 0,25 моля NaHCO_3 в 100 мл воды. Поддерживая температуру 273—293 К, реакционную смесь перемешивали еще 60 мин (предварительно нейтрализовали раствором бикарбоната натрия), выделенный осадок отфильтровывали и промывали на фильтре холодной водой.

Очистку полученных продуктов проводили методом экстракции в аппарате сокслета смесью этанола и диметилсульфоксида при их равномольном соотношении, сушили в вакууме при остаточном давлении 0,25—0,26 кПа.

Данные элементного анализа, ИК и электронных спектров подтвердили строение и состав синтезированных красителей. В ИК-спектрах отсутствуют полосы поглощения, характерные для свободных NH_2 -групп ($3390—3340 \text{ см}^{-1}$), и имеются полосы поглощения в области $1650—1660 \text{ см}^{-1}$, которые отнесли к —N=N— группе. В электронных спектрах λ_{\max} для азогруппы наблюдаются при 456—550 нм (рис. 1).

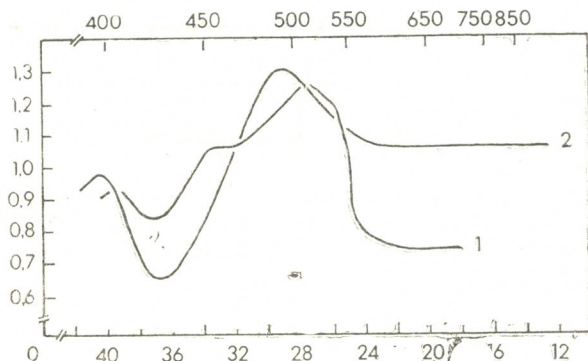


Рис. 1. Электронные спектры красителя (1) (табл. 1) и бисфенола на основе диамина А (2)

Данные элементного анализа и некоторые свойства синтезированных красителей приведены в таблице 1. Следует отметить, что выход бисазокрасителей существенно зависит от условий стадии тетраазотирования, в частности, при повышении температуры до 313—333 К выход бисазокрасителя уменьшается, что объясняется частичным разложением промежуточных солей тетраазосоединений с образованием гетероариленовых бисфенолов [3].

Некоторые из синтезированных красителей (III, IV в таблице 1) были исследованы для крашения тканей из натурального шелка (арт. 11005). Крашение натурального шелка проводили в водных растворах, содержащих 2, 3 и 4% красителя от массы волокна, при модуле ванны 100 и температуре 373° К в присутствии электролита NaCl (10 г/л).

Некоторые свойства и данные элементного анализа синтезированных красителей

Азосоставляющие*)	Брутто-формула красителя	Выход, %	Молек. масса(эбулиоскопия)	Тпл, К	Найдено, %			
					Вычислено, %			
					C	H	N	S
I**) C ₃₈ H ₂₆ N ₈ SO ₄	63,0	683	581—582 (с разл.)	65,81 66,08	3,71 3,77	15,88 16,23	4,49 4,64	
II C ₃₄ H ₂₂ N ₈ O ₆	78,3	631	593	67,12 63,95	3,12 3,44	16,78 17,35	—	
III**) C ₄₀ H ₂₆ N ₈ SO ₆ Na ₂	83,6	816	634—635 (с разл.)	58,10 58,39	2,90 2,92	13,45 13,62	3,71 3,89	
IV C ₃₄ H ₂₀ N ₈ O ₆ Na ₂	67,4	678	613—615	59,69 59,82	2,86 2,93	16,05 16,42	—	
V C ₄₀ H ₂₆ N ₈ S ₄ O ₁₄	71,2	не опр.	655 (с разл.)	49,02 49,48	2,50 2,68	12,92 13,19	11,92 13,28	

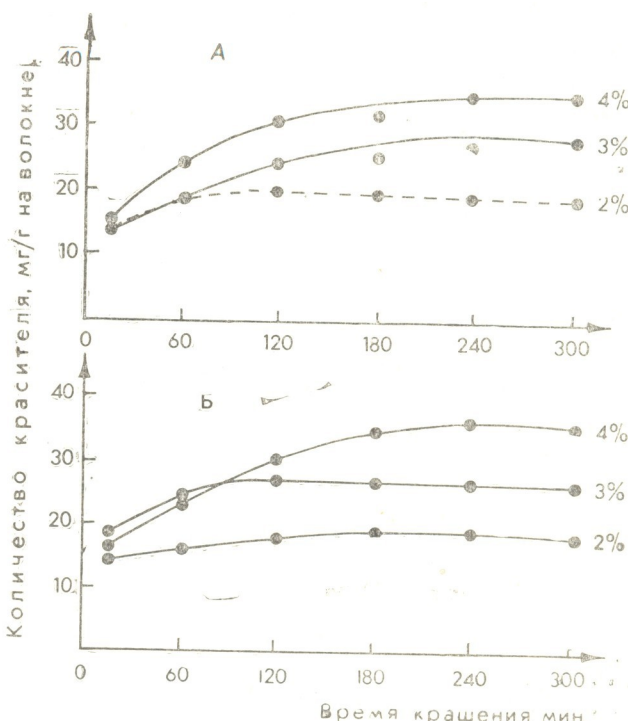


Рис. 2. Кинетические кривые выбирания красителей III(а) и IV(в) (табл. I.) натуральным шелком при концентрации красителей 2, 3 и 4% от массы волокна

На рис. 2 приведены кривые зависимости количества выбранных красителей натуральным шелком от времени (при различной концентрации красителя в красильной ванне), подтверждающие общие за-

*) см. схему; **) диамин В

кономерности процесса крашения с изменением степени агрегации частиц красителя в красильной ванне во времени [4].

Окраски, полученные вышеуказанными красителями на натуральном шелке, характеризуются яркостью и высокой прочностью к различным видам обработки. Результаты испытания прочности окраски натурального шелка, окрашенного красителями III и IV (ГОСТ 9733.0-27-83), приведены в таблице 2.

Таблица 2

Характеристика окрасок, полученных при крашении натурального шелка синтезированными красителями

Краситель (табл. 1)	Показатели устойчивости окрасок (баллы) к воздействию:					
	Света	Мыльного раствора при 313°К	Раствора „Пот“	Дистиллированной воды	Трения	
III	4—5	5/5	5/5	5/5	5	5
IV	5	5/5	5/5	5/5	5	5

Некоторые из синтезированных соединений (III, IV в табл. 1) могут быть также использованы для получения хелатных цветных теплопластичных полимеров.

Тбилисский государственный университет им. И. Джавахишвили

Тбилисский НИИ текстильной промышленности

Поступило 29.06.1990

6. ଲେଖକଙ୍କଙ୍କିଳା, ଓ. ଆସନ୍ତାରେ, ଓ. ଅବଶ୍ୟକତାରେ, ଓ ପ୍ରସରଣଙ୍କଙ୍କିଳା
କୁ ଦେଖିବାରେ ଏହାରେ ପରିବର୍ତ୍ତନ କରିବାକୁ ପାଇଁ ପରିବର୍ତ୍ତନ କରିବାକୁ ପାଇଁ

აცალებ გიცაზომსაღებრეპი ჰეთეროურილანური დიავინების შესახებ

၁၃၀၈

სინთეზირებულია და შესწავლილია ახალი ბისაზოსალებრები ბენზიმიდა-ზოლური დიამინების ბაზაზე. დაღვენილია მიღებული ბისაზოსალებრების გა-მოყენების შესაძლებლობა ნატურალური აბრეშუმის ღებვაში. განსაზღვრუ-ლია ღებვის პირობები და ქსოვილის შეფერვის ზოგიერთი ძირითადი მახასია-თებელი.

N. LEKISHVILI, L. ASATIANI, Sh. PICHKHADZE, M. KEZHERASHVILI,
T. SESIKELASHVILI, B. BUTSKHRIKIDZE, L. KIPIANI

THE NEW BISAZODYES ON THE BASE OF HETEROURILEN DIAMINES

Summary

The new bisazodyes on the base of benzimidazole diamines were synthesized and studied.

It was established, that the yield of bisazodye depends on the conditions of tetranitriding stage. The yield of biazodye decreases in the result



of partial destruction of interstitial salts of tetraazocomplexe with the temperature raise and the formation of heteroarilene bisphenols some of synthesized bisazodyes were investigated for dyeing of natural silk fabrics. It was established, that the colours of the above obtained dyes on natural silk, is characterised by brightness and high fastness to different treatment.

ЛІТЕРАТУРА — REFERENCES

1. Коршак В. В., Русанов Л. А., Батыров И. Б., Тугуши Д. С., Калантаров И. Я. ДАН Таджикской ССР, 1977, 80, 26—28.
2. Буцхрикидзе Б. А., Лекишвили Н. Г., Чхеидзе Ш. С., Хананашвили Л. М. Сообщения АН ГССР, 1985, т. 119, 3, 533—535.

УДК 547.677+538.615

Н. И. ТАБАШИДЗЕ, Ш. Ш. БАРАБАДЗЕ

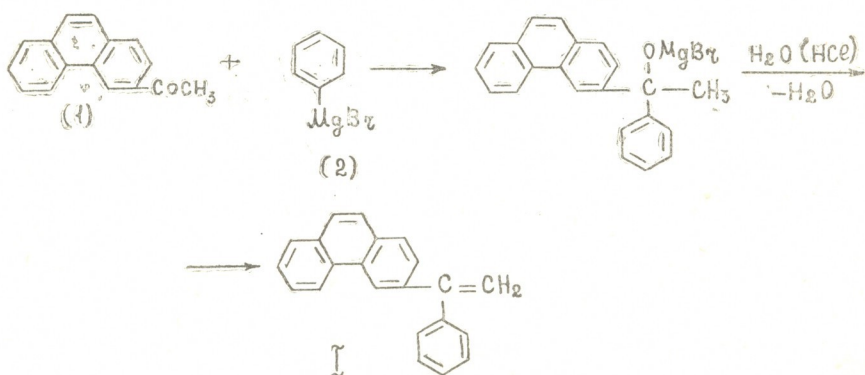
ДЕЙСТВИЕ 3-АЦЕТИЛФЕНАНТРЕНА НА ФЕНИЛ-, *α*-НАФТИЛ- И 9-ФЕНАНТРИЛМАГНИЙБРОМИДЫ

В предыдущей работе [1] нами было изучено взаимодействие 2- и 3-ацетилфенантренов с алкилмагнийбромидами. Ввиду того, что в литературе не описано взаимодействие 3-ацетилфенантрена с арилмагнийбромидами, в настоящей работе мы поставили перед собой цель изучить реакции 3-ацетилфенантрена (1) с арилмагнийбромидами (где арил- C_6H_5 (2), α - $C_{10}H_7$ (3) 9- $C_{14}H_9$ (4).

Исходный продукт — 3-ацетилфенантрен (1) был получен по методу Е. Моссетига и Кампа [2] по реакции Фриделя-Крафтса ацилированием фенантрена ацетилхлоридом в среде нитробензола в присутствии безводного хлористого алюминия.

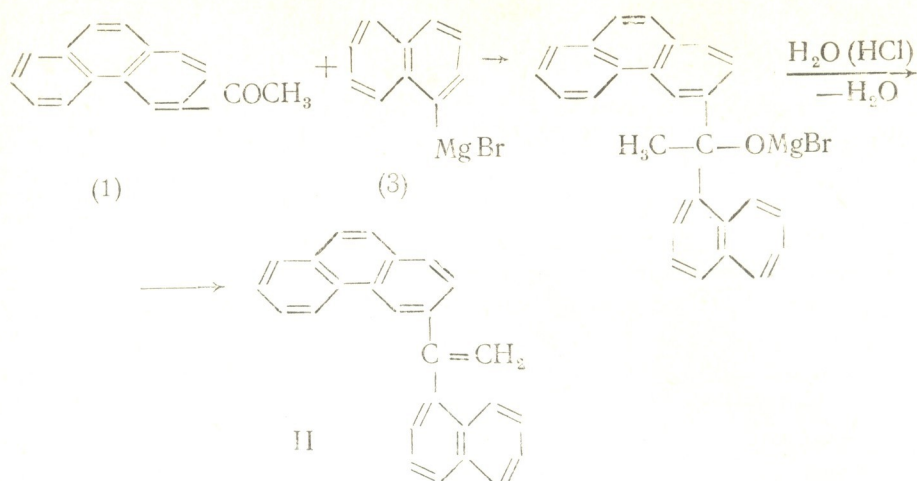
Для повышения выходов конечных продуктов реакционную смесь 3-ацетилфенантрена (1) с арилмагнийбромидами (2, 3, 4) нагревали несколько часов. После соответствующей обработки каждого из перегонки вещества анализировались. Были получены следующие соединения:

Фенил-3-фенантрил-1,1-этилен (1) получен действием 3-ацетилфенантрена (1) на фенилмагнийбромид (2) [3] по следующей схеме:



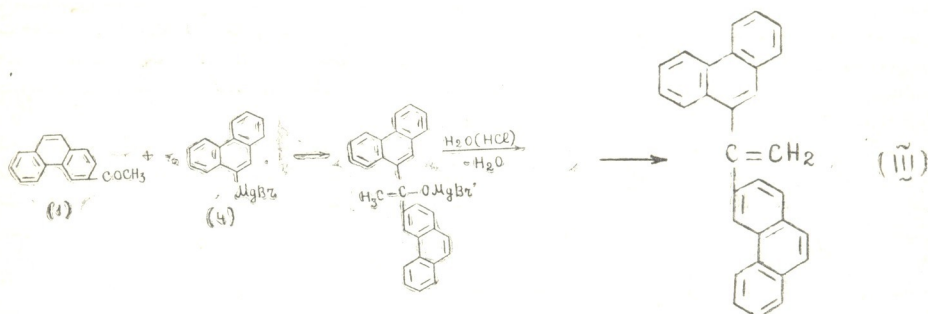
Фенил-3-фенантрил-1,1-этилен (1) — светлое, трудноподвижное (густое) масло с т. кип. 243—247° (2 мм), получается с выходом 75%, хорошо растворяется в эфире, ацетоне, бензole, трудно растворяется в петролейном эфире, этиловом спирте.

α -нафтил-3-фенантрил-1,1-этилен (II) получен действием 3-ацетилфенантрена (1) на α -магнийбромнафталин (3) [4] по схеме:



α-нафтил-3-фенантрил-1,1-этилен (II) — желтые кристаллы с т. пл. 120—122°, получается с выходом 65%; хорошо растворяется в органических растворителях — ацетоне, эфире, бензole, трудно — в петролейном эфире, этиловом спирте.

9,3-бифенантрил-1,1-этилен (III) получен действием 3-ацетилфенантрена (1) на 9-магнийбромфенантрен (4) [5] по схеме:



9,3-бифенантрил-1,1-этилен (III) — белые кристаллы с т. пл. 178—182°, получается с выходом 54%; трудно растворяется в органических растворителях — эфире, бензole, ацетоне, этиловом спирте.

Структура синтезированных соединений (I—III) была доказана данными элементного анализа, молекулярными массами и ИК-спектрами поглощения.

Физические константы и данные анализа полученных веществ (I—III) приведены в таблице 1.

В ИК-спектре поглощения фенил-3-фенантрил-1,1-этилена (1) наблюдаются полосы поглощения, вызванные колебаниями следующих групп: $\nu C=C$ кольца ($1610, 1620 \text{ см}^{-1}$), νCH ($3030, 3065$ и 3090 см^{-1}), $\nu C=C$ алифатическая (1680 см^{-1}). В области $700—900 \text{ см}^{-1}$, наряду с полосами поглощения, вызванными внеплоскостными деформационными колебаниями СН фенантренового ядра ($720, 755, 790, 815, 843$,

Физико-химические константы синтезированных соединений

№ соединений	Название соединений	Выход, %	Т. кип. (P, мм)	Т. пл., °C	Найдено, %		Формула	Вычислено, %		Мол. масса
					C	H		C	H	
I	Фенил-3-фенантрил-1,1-этилен	75	243—247 (2 мм)	густое масло	94,50	6,30	C ₂₂ H ₁₆	94,28	5,71	278
II	α-нафтил-3-фенантрил-1,1-этилен	60	255—263 (1 мм)	120—122	94,20	5,80	C ₂₆ H ₁₈	94,54	5,45	329
III	9, 3-бифенантрил-1,1-этилен	54	—	178—182	94,90	5,01	C ₃₀ H ₂₀	94,73	5,26	377
										380

867, 897 см⁻¹), наблюдаются полосы поглощения (700 и 730 см⁻¹), характерные для монозамещенного бензольного ядра.

В ИК-спектре поглощения α-нафтил-3-фенантрил-1,1-этилена (II) наблюдаются полосы поглощения, вызванные колебаниями следующих групп: νC=C кольца (1610, 1625 см⁻¹), νCH (3030, 3065 и 3085 см⁻¹), νC=C алифатическая (1680 см⁻¹). В области 700—900 см⁻¹ присутствуют полосы поглощения, вызванные внеплоскостными, деформационными колебаниями CH как фенантренового, так и нафталинового ядра.

В ИК-спектре поглощения 9,3-бифенантрил-1,1-этилена (III) наблюдаются полосы поглощения, вызванные колебаниями следующих групп: νC=C кольца (1610, 1620 см⁻¹), νCH (3030, 3065 см⁻¹), νC=C алифатическая (1680 см⁻¹). В области внеплоскостных деформационных колебаний CH (700—900 см⁻¹) интерпретация полос поглощения затруднена.

Таким образом, изучение взаимодействия 3-ацетилфенантрена с арилмагнийбромидами показало, что при помощи этой реакции можно получить разные арилзамещенные этилена в 1,1-положении, причем с увеличением радикала в арилмагнийбромидах выходы конечных продуктов уменьшаются.

ИК-спектры были записаны на спектрофотометре UR-20.

Экспериментальная часть

Арилмагнийбромиды (где арил=C₆H₅ (2), α-C₁₀H₇ (3), 9-C₁₄H₉ (4) получали по общезнанному методу Гриньяра, действием 2,4 г (0,1 мол) магния на соответствующие (0,11 мол) арилбромиды в эфир-бензольном растворе [3—5].

Получение I, II и III соединений: к эфир-бензольному раствору соответствующего арилмагнийбромида / (2), (3), (4) / прибавляли 11 г (0,05 моль) 3-ацетилфенантрена (1), растворенного в смеси — 50 мл абс. эфира + 150 мл абс. бензола. Смесь нагревали до кипения эфира 3—4 часа. Затем реакционную смесь охлаждали и разлагали разбавленной (1:1) соляной кислотой. Вещество экстрагировали эфир-бензолом; эфир-бензольный раствор промывали водой и обезвоживали сульфатом натрия. После удаления растворителей остаток хроматографировали на Al₂O₃ в растворе петролейного эфира и бензола. После удаления растворителей вещества I и II перегоняли под вакуумом, а вещество III кристаллизовали из спирт-бензола (1:1).

Институт физической и органической химии им. П. Г. Меликишвили
АН Грузии

Поступило 24.07.1990

ვ-აცეტილფენანთრენის მოქმედება ფენილ-,
 α -ნაფთილ-, და 9-ფენანთრილის გადასაცვლის

რეზიუმე

პირველადაა შესწავლილი ვ-აცეტილფენანთრილის ურთიერთმოქმედება არილმაგნიტრომიდებთან (სადაც C_6H_5 , α - C_{10}H_7 , 9- C_{14}H_9). შესაბამისად მიღებულია შემდეგი უჯრედი ნაერთები: ფენილ-3-ფენანთრილ-1,1-ეთოლენი; α -ნაფტილ-3-ფენანთრილ-1,1-ეთოლენი; 9,3-ბიფენანთრილ-1,1-ეთოლენი.

ნაჩვენებია, რომ ამ რეაციის მეშვეობით შეიძლება მიღებულ იქნეს ეთოლენის სხვადასხვა არილჩანაცვლებული 1,1-მდგომარეობაში. ამავე დროს არილმაგნიტრომიდებში რადიკალის გაზრდით საბოლოო პროდუქტების გამოსავალი მცირდება.

სინთეზირებული ნაერთები დახასიათებულია ელემენტური ანალიზით, ლულილისა და ლლობის ტემპერატურით, მოლექულური მასებით, ხოლო აგებულება დაგვინილია იუ-შთანთქმის სპექტრებით.

N. I. TABASHIDZE, Sh. Sh. BARABADZE

THE INFLUENCE OF 3-ACETYLPHENANTHRENE ON PHENYL, α -NAPHTYL AND 9-PHENANTHRELEMAG- NESIUM BROMIDE

Summary

The interaction of 3-acetylphenanthrene with arylmagnesium bromides have been studied; where aryl - C_6H_5 , α - C_{10}H_7 , 9- C_{14}H_9 . The following compositions have been obtained: phenyl-3-phenanthryl-1,1-ethylene; α -naphthyl-3-phénanthryl-1,1-ethylene; 9,3-biphenanthryl-1,1-ethylene.

It is shown, that by means of this reaction different aryl-substituted of ethylene can be obtained in the 1,1-position. At the same time the yield of the result products reduces with the increase of radical in aryl-magnesium bromides.

The synthesised compositions have been characterised by elementary analysis, boiling and melting points, mass of molecules, while the structure has been established by IR-spectra.

ლიტერატურა — ЛИТЕРАТУРА — REFERENCES

1. Табашидзе Н. И., Барабадзе Ш. Ш., Цицишвили В. Г., Чихладзе Т. Г. Изв. АН ГССР, сер. химич., 1989, 15, 3, 185—190.
2. Moseley C., Kampf I., J. Am. Chem. Soc., 1920, 52, 9, 2704—3710.
3. Препаративная органическая химия. Перевод с польского В. В. Шпанова, В. С. Володиной. М.—Л.: Химия, 1964, 667.
4. Синтезы органических препаратов (под ред. Адамса). М.: ИЛ, 1949, 2, 348.
5. Залькинд Ю. С., Бальян Х. В. ЖОХ. 1950, 20, 7, 1209—1211.

УДК 547.367 : 547.245

И. Л. ФИОЛИЯ, Л. П. АСАТИАНИ

АНОМАЛЬНЫЕ РЕАКЦИИ ПРИ ВЗАИМОДЕЙСТВИИ 2-ФЕНИЛЭТИНИЛТИОЛЯТОВ НАТРИЯ И ЛИТИЯ С ТРИМЕТИЛХЛОРСИЛАНОМ

Ацетиленовые тиоэфиры представляют собой весьма интересные соединения как с теоретической, так и с практической точки зрения [1, 2], поскольку они являются физиологически активными веществами. Целью настоящей работы являлось создание силилсульфидов ацетиленового ряда.

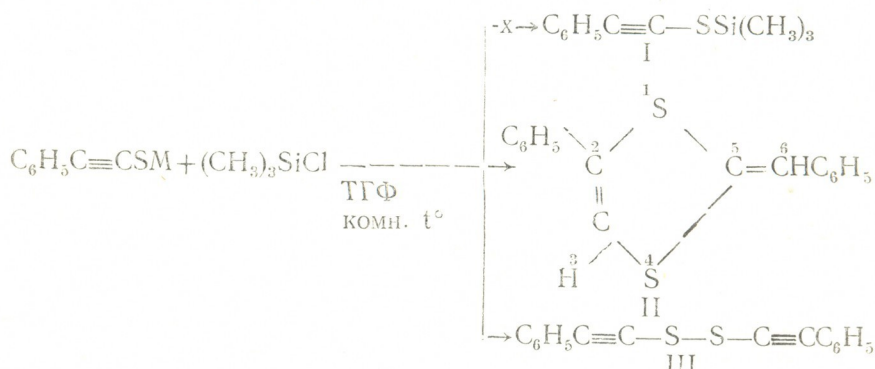
Для осуществления синтеза этих соединений нами было исследовано взаимодействие 2-фенилэтинилтиолятов натрия и лития с триметилхлорсиланом. Исходные 2-фенилэтинилтиоляты натрия и лития синтезированы по методикам [3, 4].



Реакцию 2-фенилэтинилтиолятов натрия и лития с триметилхлорсиланом проводили в среде тетрагидрофурана при комнатной температуре.

Ход реакции контролировался методом ТСХ.

Как показал анализ выделенных продуктов, реакция 2-фенилэтинилтиолятов натрия и лития с триметилхлорсиланом в указанных выше условиях протекает аномально, и вместо ожидаемого фенилэтинил-(триметилсилил)сульфида (I) получается в основном 2ω -дифенил-1,4-динафульвен (II) и в небольшом количестве образуется также ди-(фенилэтинил)дисульфид (III).



Соединения (II) и (III) были выделены и разделены методом TCX

В ИК-спектре соединения (II) имеются полосы поглощения, соответствующие валентным колебаниям связей: $C=C$ (1678, 1652 cm^{-1}); $(C-C)\text{C}_6\text{H}_5$ (1596, 1588, 1580 cm^{-1}); $(C-H)\text{C}_6\text{H}_5$ (3048 cm^{-1}); $C-S$ (684 cm^{-1}), и отсутствуют полосы поглощения, соответствующие колебаниям $C \equiv C$ -связи при 2170—2190 cm^{-1} .

В ПМР-спектре соединения (II) имеются химические сдвиги для следующих протонов: $\delta_{C_6H_5} = 7,2$ м. д., $\delta_{H^3} = 6,62$ м. д., $\delta_{H^6} = 6,48$ м. д.

В масс-спектре электронного удара соединения (II) имеются пики с массами (m/e): 268 (M^{+}), 166, 134, 121, 102, 90, 89, 77.

Все эти данные подтверждают, что строение соединения (II) соответствует 2 ω -дифенил-1,4-дитиафульвену.

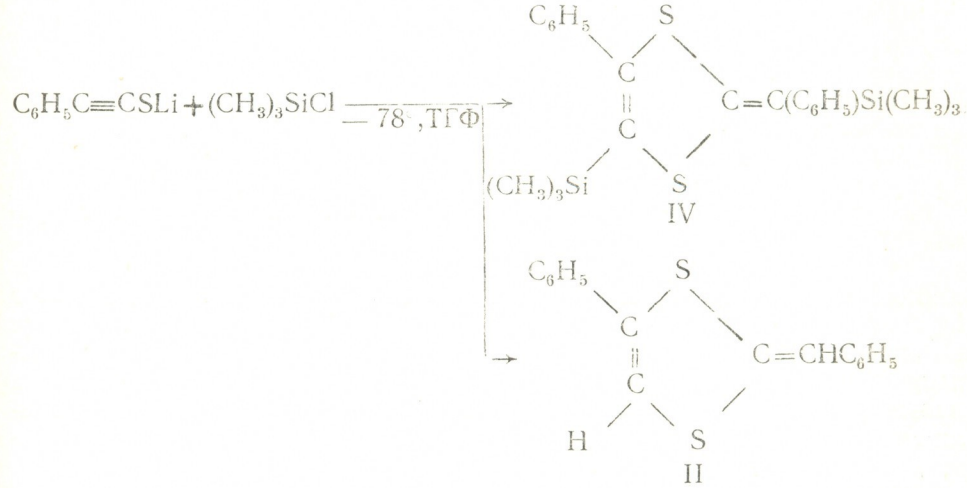
Такими же методами было доказано и строение соединения (III), в ИК-спектре которого имеются полосы поглощения, характерные для связей (C-H) C_6H_5 (3052 cm^{-1}), (C-C) C_6H_5 (1586 cm^{-1}), C-S (614 cm^{-1}), S-S (456 cm^{-1}).

В ПМР-спектре соединения (III) имеются сигналы протонов фенильных групп с химическим сдвигом 7,2 м. д.

В масс-спектре соединения (III) имеются пики со следующими массами (m/e): 266 (M^{+}), 189, 177, 165, 133, 101, 89.

Все эти данные свидетельствуют о том, что строение соединения (III) соответствует ди(фенилэтинил)дисульфиду.

Далее нами были изменены условия реакции, в частности, реакция проводилась при -78° в среде тетрагидрофурана. Однако, как показал анализ выделенных продуктов, и в этих условиях реакция протекает аномально, но в этом случае основным продуктом реакции является соединение (IV).



В ИК-спектре соединения (IV) имеются полосы поглощения, соответствующие валентным колебаниям связей $\text{Si}-\text{CH}_3$ ($1250, 840\text{ cm}^{-1}$), $\text{C}=\text{C}$ ($1674, 1614\text{ cm}^{-1}$), (C-C) C_6H_5 ($1594, 1570, 1560\text{ cm}^{-1}$), $\text{Si}-\text{S}$ (456 cm^{-1}), но отсутствуют полосы поглощения, соответствующие валентным колебаниям связи $\text{C}\equiv\text{C}$ ($2170-2190\text{ cm}^{-1}$).

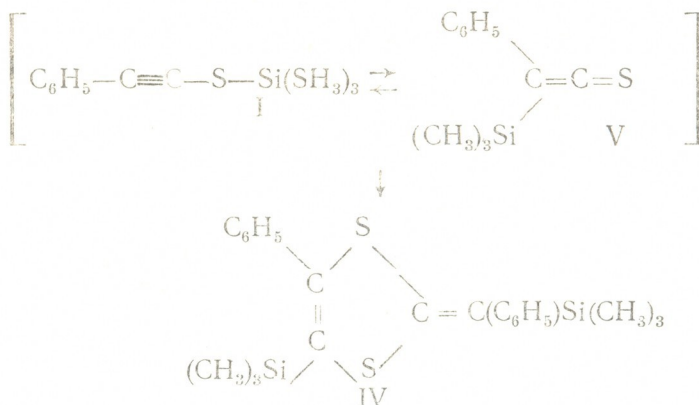
В ПМР-спектре соединения (IV) наблюдаются сигналы протонов $(\text{CH}_3)_3\text{Si}$ (0,1, м. д. 0,07 м. д.) и фенильной группы (7,25 м. д.)

В масс-спектре соединения (IV) присутствуют пики с массами (m/e): 412 (M^{+}), 262, 206, 174, 89, 77, 73.

Полученные данные однозначно подтверждают, что строение соединения (IV) соответствует 2 ω -ди(trimетилсилил)-1,4-дитиафульвену. Физико-химические данные выделенного в этом случае продукта (II) соответствуют данным ранее выделенного нами 2 ω -дифенил-1,4-дитиафульвена (II).

В этом случае мы, аналогично проведенным ранее исследованиям [6—9], придерживаемся мнения, что в результате реакции при -78° сперва образуется фенилэтинил(trimетилсилил)сульфид (I), который

легко превращается в термодинамически более стабильный силитид ²⁴⁰²⁶⁵⁻⁷⁰⁻⁰
кетен (V) (т. к. Si—S-связь более лабильна, чем C—S [5]), после димеризации которого получается 2ω-ди(триметилсилил)-1,4-дитиафульвен (IV).



ЭКСПЕРИМЕНТАЛЬНАЯ ЧАСТЬ

ПМР-спектры сняты на приборе фирмы «Bruker» AW-250 с рабочей частотой 250 МГц в растворе CDCl_3 .

ИК-спектры сняты на приборе Specord M-80 с KBr.

Препартивная ТСХ проводилась на силикагеле L40/100 в системе тексан : хлороформ 4 : 1.

Масс-спектры сняты на приборе Varian MAT CH-6.

Температуры плавления определялись в блоке Коффера.

Взаимодействие 2-фенилэтинилтиолятов натрия или лития с trimethylchlorosilаном.

а) К раствору фенилэтинилтиолята натрия [3] (приготовленного из 0,46 г Na, 3,06 г фенилацетилена и 0,64 г S) или лития [4] (из 0,14 г Li, 3,06 г фенилацетилена и 0,64 г S) в 30 мл сухого ТГФ добавляют в атмосфере He при комнатной температуре раствор 2,17 г trimетилхлорсилана в 10 мл сухого ТГФ. Реакционную смесь оставляют на ночь в атмосфере He и отфильтровывают. После удаления растворителя получают 3,6 г темно-коричневой смелообразной массы. После очистки и разделения препаративной TCX выделяют 2,88 г 2 ω -дифенил-1,4-дитиафульвена (II). Выход 80% (теор.) и 0,36 г ди(фенилэтинил)-дисульфида. Выход 10% (теор.).

2ω-дифенил-1,4-дитиафульвен (II). Желтые кристаллы. Т. пл. 191—192°. Найдено, %: С 70,96; Н 4,46; S 23,70. $C_{16}H_{12}S_2$. Вычислено, %: С 71,64; Н 4,47; S 23,88.

Ди(фенилэтинил)дисульфид (III). Коричневые кристаллы. Т. пл. 79–80°. Найдено, %: С 71,25; Н 4,10; S 25,28. $C_{16}H_{10}S_2$. Вычислено, %: С 72,18; Н 3,75; S 24,06.

б) Реакция проводится аналогично при -78° . После добавления реагентов перемешивают 30 минут при -78° , затем медленно доводят температуру реакционной смеси до комнатной температуры. Оставляют на ночь. Отфильтровывают. Удаляют растворитель. Получают твердую массу (выход 80%).

После разделения реакционной смеси с помощью препаративной ТСХ выделяют 2ω-ди(триметилсилил)-1,4-дитиафульвен (IV) (60%) и 2ω-дифенил-1,4-дитиафульвен (II) (30%).

2-Фенил(триметилсилил)-1,4-дитиафульвен (IV). Желтые кристаллы. Т. пл. 63–64°. Найдено, %: С 63,52; Н 6,23; S 16,01; Si 12,58. С₂₂H₂₈S₂Si₂. Вычислено, %: С 64,07; Н 6,79; S 15,53; Si 13,59.

2Ф-дифенил-1,4-дитиафульвен (II). Т. пл. 192—193°. Найдено, %:

C 71,09; H 4,43; S 23,68. C₁₆H₁₂S₂. Вычислено, %: C 71,64; H 4,47; S 23,88.

ПМР-спектры сняты и расшифрованы в Институте органической химии имени Н. Д. Зелинского Академии наук России В. С. Богдановым, за что авторы выражают ему глубокую благодарность.

Тбилисский государственный
университет им. И. Джавахишвили

Поступило 19.11.1991

ი. ფილია, ლ. ასათიანი

ასოცირებული რეაქციები ნატრიუმისა და ლითიუმის 2-ფენილჰარკოლატების
ურთიერთქმედება ტრიმეთილჰალოსილაციას ურთიერთქმედების დროს

რეზიუმე

შესწავლით ნატრიუმისა და ლითიუმის 2-ფენილჰარკოლატების ურთიერთქმედება ტრიმეთილჰალოსილაციას ტეტრაპიდროფურანის არეში სხვადასხვა პირობებში (ოთახის t°, —78°).

დადგენილია, რომ ორივე შემთხვევაში რეაქცია მიმდინარეობს ანომალურად და ოთახის ტემპერატურაზე მოსალოდნელი ალკინილსილილფულფიდის C₆H₅C≡CSSi(CH₃)₃ ნაცვლად ძირითადად მიიღება 2ω-დიფენილ-1,4-დითაფულვენი და მცირე რაოდენობით წარმოიქმნება დი(ფენილჰარკოლ)დისულფიდი, ხოლო —78°-ზე რეაქციის ძირითადი პროდუქტია 2ω-და(ტრიმეთილჰალო)-1,4-დითაფულვენი და მცირე რაოდენობით მაილება 2ω-დიფენილ-1,4-დითაფულვენი.

მიღებულ ნაერთთა აგებულება და შედგენილობა დადგენილია იწ., ჰერ-, მასს-სპექტროსკოპიის მეთოდების გამოყენებით და ელემენტური ანალიზით.

I. L. FICLIA, L. P. ASATIANI

THE ANOMALOUS REACTIONS WHILE THE INTERACTIONS OF LITHIUM AND SODIUM 2-PHENYLETHYNYLTHIOLATES WITH TRIMETHYLCHLOROSILANE

Summary

The interaction of lithium and sodium 2-Phenylethynylthiolates with trimethylchlorosilane has been studied in tetrahydrofuran media in different conditions (room t°, —78°).

It has been established that in both cases the reaction proceeds anomalously and at room t° and instead of the expected alkynyl silyl sulphide C₆H₅C≡CSSi(CH₃)₃, 2ω-diphenyl-1,4-dithiafulvene was mainly formed and di(phenylethynyl) disulphide is produced in small amounts but at —78° the main product of the reaction is 2ω-di(trimethylsilyl) — 1,4-dithiafulvene and 2ω-diphenyl-1,4-dithiafulvene is obtained in small amounts.

The structure and composition of the obtained compounds were revealed with the help of IR, H-NMR methods mass-spectroskopy and elemental analysis.

1. Радченко С. И., Петров А. А. Усп. хим., 1989, 58, вып. 10, 1671.
2. Arends J. F., Brandsma L., Schuijlt P. J. W., Wiijers M. E. Quart, Rep. on sulfur Chem., 1970, 5, 1, 1.
3. Schmidt M., Potschka V., Naturwiss., 1963, 50, 302.
4. Флоренсова О. Н., Волкова Л. Н., Марошин Ю. В., Кряжев Ю. Г. ЖХХ, 1973, 43, вып. 9, 1992.
5. Борисов С. Н., Воронков М. Г., Лукевич Э. Я. Кремнеорганические производные фосфора и серы. Л.: Химия, 1968.
6. Schaumappel E. Tetrahedron, 1988, 44, 7, 1827.
7. Sukhai R. S., Meijer J., Brandsma L., Rec. trav. chim., 1977, v. 96, 179.
8. Harris S. J., Walton D. R. M., J. Organometal. Chem., 1977, 127, 1, 1.
9. Harris S. J., Walton D. R. M., J. Chem. Soc., Chem. Comm., 1976, 1008.

ФИЗИЧЕСКАЯ ХИМИЯ

УДК 536.7

Д. И. БАГДАВАДЗЕ, Д. Ш. ЦАГАРЕЙШВИЛИ, Г. Г. ГВЕЛЕСИАНИ,
И. Б. БАРАТАШВИЛИ, И. С. ОМИАДЗЕ

ТЕРМОДИНАМИЧЕСКИЕ СВОЙСТВА НЕКОТОРЫХ СОЕДИНЕНИЙ В СИСТЕМЕ Mn—Fe—Si—Al—Ca—O—C—P

В последние годы возникло новое направление в области физической химии металлургических процессов [1—5] — установление оптимальных условий процессов получения марганцевых сплавов с помощью нового подхода, основанного на полном термодинамическом анализе равновесного состояния, позволяющего выполнить количественное термодинамическое моделирование и прогнозирование состава и свойств гетерогенных, многоэлементных и мультифазных систем с учетом химических и фазовых превращений. С этой целью используется программный комплекс АСТРА [6], для которого необходимо создание банка экспериментальных и расчетных данных по основным термодинамическим свойствам тех соединений, которые являются компонентами рассматриваемой системы. Однако количество имеющихся в настоящее время в термодинамических справочниках [7, 8] экспериментальных значений термодинамических функций соединений, участвующих в процессах производства марганцевых сплавов, очень невелико. Вследствие большой сложности и трудоемкости термохимического эксперимента приобрело исключительно важное значение расчетное определение термодинамических свойств веществ на основании достоверных эмпирических и полуэмпирических уравнений и методов [9—11] и восполнение тем самым существующих пробелов в автоматизированных банках термодинамических данных.

Цель настоящей работы — определение расчетным путем основных термодинамических свойств некоторых соединений в системе Mn—Fe—Si—Al—Ca—O—C—P, представленных в табл. 1 и 2, с использованием предложенных нами или известных в литературе эмпирических или полуэмпирических методов.

Стандартная энталпия образования. Для 5 соединений ($Mn_3Al_2Si_3O_{12}$, $Mn_2Al_4Si_5O_{18}$, $MnAl_2Si_2O_8$, Mn_3AlC и Al_2OC) из представленных в табл. 1 и 2 веществ отсутствуют экспериментальные данные по их стандартным энталпиям образования из простых веществ (ΔH_{298}). Расчет значений этой термодинамической функции для названных веществ производили с использованием приближенного метода [10], согласно которому рассматриваемое сложное соединение необходимо представить по его стехиометрии, как некоторую комбинацию менее сложных или простых соединений (или веществ), и значение его стандартной энталпии образования из простых веществ вычислить как

сумму экспериментальных или расчетных величин их ΔH_{298} . Исходя из изложенного, стандартную энталпию образования вышеперечисленных сложных соединений можно определить с помощью следующих выражений:

$$\Delta H_{298}(\text{Mn}_3\text{Al}_2\text{Si}_3\text{O}_{12}) = \Delta H_{298}(2\text{MnO} \cdot \text{SiO}_2) + \Delta H_{298}(\text{MnO} \cdot \text{SiO}_2) + \Delta H_{298}(\text{Al}_2\text{O}_3 \cdot \text{SiO}_2) \quad (1)$$

$$\Delta H_{298}(\text{Mn}_2\text{Al}_4\text{Si}_5\text{O}_{18}) = \Delta H_{298}(2\text{MnO} \cdot \text{SiO}_2) + 2\Delta H_{298}(\text{Al}_2\text{O}_3 \cdot 2\text{SiO}_2) \quad (2)$$

$$\Delta H_{298}(\text{MnAl}_2\text{Si}_2\text{O}_8) = \Delta H_{298}(\text{MnO} \cdot \text{SiO}_2) + \Delta H_{298}(\text{Al}_2\text{O}_3 \cdot \text{SiO}_2) \quad (3)$$

$$\Delta H_{298}(\text{Mn}_3\text{AlC}) = (1/4) [\Delta H_{298}(\text{Mn}_7\text{C}_3) + \Delta H_{298}(\text{MnAl}_4) + \Delta H_{298}(\text{Mn}_3\text{C}) + \Delta H_{298}(\text{Mn})] \quad (4)$$

$$\Delta H_{298}(\text{Al}_2\text{OC}) = (1/3)[\Delta H_{298}(\text{Al}_2\text{O}_3) + \Delta H_{298}(\text{Al}_4\text{C}_3)] \quad (5)$$

Для двойных оксидов, а также простых соединений, представленных в правой части термохимических уравнений (1) — (5) (за исключением соединения $\text{Al}_2\text{O}_3 \cdot 2\text{SiO}_2$), в качестве их ΔH_{298} использовались экспериментальные данные, приведенные в [8], а ΔH_{298} для $\text{Al}_2\text{O}_3 \cdot 2\text{SiO}_2$ определяли из приближенного выражения

$$\Delta H_{298}(\text{Al}_2\text{O}_3 \cdot 2\text{SiO}_2) = \Delta H_{298}(\text{Al}_2\text{O}_3 \cdot 2\text{SiO}_2 \cdot 2\text{H}_2\text{O}) - 2\Delta H_{298}(\text{H}_2\text{O}) \quad (6)$$

Значения ΔH_{298} для $\text{Al}_2\text{O}_3 \cdot 2\text{SiO}_2 \cdot 2\text{H}_2\text{O}$ и H_2O заимствованы из [8].

Стандартная энтропия. Для 17 соединений из представленных в табл. 1 и 2 веществ в литературе отсутствуют экспериментальные данные по их стандартным энтропиям (S_{298}). Расчет функции S_{298} для $\text{Mn}_3\text{Al}_2\text{Si}_3\text{O}_{12}$, $\text{Mn}_2\text{Al}_4\text{Si}_5\text{O}_{18}$, $\text{MnAl}_2\text{Si}_2\text{O}_8$, Mn_3AlC и Al_2OC производили с использованием выражений (1) — (5), в которых в данном слу-

Таблица 1

Значения величин $H_{298}^0 - H_0^0$, $\Delta H_{\text{пл}}$ и Срж
для некоторых соединений

Вещество	$H_{298}^0 - H_0^0$, кал/моль	$\Delta H_{\text{пл}}$, кал/моль	Срж , кал/моль·К
MnSiO_3			33,75
Mn_2SiO_4			48,73
MnSi			18,75
Mn_5Si_3			74,57
Mn_3Si			29,86
MnSi_2			22,81
Mn_3C	3510	20720	41,50
Mn_7C_3	8925	56455	88,01
$\text{Al}_6\text{Si}_2\text{O}_{13}$		92736	218,086
Al_2SiO_5		34128	56,367
FeSi			20,38
$\text{Ca}_3\text{P}_2\text{O}_8$		54158	85,5
CaC_2		25546	25,90
CaSiO_3			34,83
Ca_2SiO_4		33642	52,5
Ca_2SiO_5		37488	73,86
Mn_3P	3468	19292	36,49
Mn_2P	2856	16800	28,97
MnP	1867	9940	15,59
CaAl_2O_4		26250	50,45
CaAl_4O_7		28840	80,35
$\text{Ca}_3\text{Al}_2\text{O}_6$		39776	75,69
$\text{CaAl}_2\text{Si}_2\text{O}_8$		39900	94,36
$\text{Ca}_2\text{Al}_2\text{SiO}_7$		44712	92,64
$\text{Ca}_2\text{Fe}_2\text{O}_5$		36100	64,11

Значения величин ΔH_{298}^0 , $H_{298}^0 - H_0^0$, S_{298} , $\Delta H_{\text{пл}}$, $C_p = f(T)$ и Срж для некоторых соединений

Вещество	ΔH_{298} , кал/моль	$H_{298}^0 - H_0^0$, кал/моль	S_{298} , кал/моль·К	$\Delta H_{\text{пл}}$, кал/моль	$C_p = a + bT - cT^{-2}$			Температур- ный интер- вал, К	203-200000 кал/моль·К
					a	b · 10 ³	c · 10 ⁻⁵		
Mn ₂₃ C ₆		30705	192,52	130220	158,92	44,95	-25,52	298-1283	240,41
MnAl ₄		5035	32,54	20930	27,20	8,10	-4,512	298-1196	40,95
MnAl ₆		7436	49,13	24034	37,38	13,16	-5,770	298-981	55,82
Mn ₄ Al ₁₁		15033	97,09	31237	82,05	23,19	-13,62	298-1275	116,90
MnAl ₂ O ₄		5162	2972	39,34	6,97	-9,301	298-2123	57,45	
Mn ₃ Al ₂ Si ₃ O ₁₂	-1348080	12985	83,27	58920	100,6	26,22	-28,03	298-1473	147,93
Mn ₂ Al ₄ Si ₅ O ₁₈	-2099600	16818	101,5	82534	155,73	38,13	-46,47	298-1423	222,20
MnAl ₃ Si ₂ O ₈	-934480	7585	44,27	34528	69,16	17,81	-21,25	298-1328	98,10
Mn ₃ AlC	-	13175	4666	32375	27,50	4,38	-2,536	298-1850	39,91
Al ₁ OC	-	150133	2110	11,13	31822	22,28	3,05	298-2273	33,93
SiP		2262	9,13	10500	10,93	2,62	-2,588	298-1500	16,92
AIP		1812		7910	10,72	3,28	-2,108	298-1130	16,02
Ca ₃ P ₂		4694		27877	27,75	6,45	-5,016	298-1593	42,20
CaSi		2040	13,26	1026	11,12	2,71	-1,766	298-1518	16,92
CaSi ₂		2844	18,00	13261	16,32	4,61	-2,966	298-1263	24,59
Ca ₂ Si		3262	21,77	12421	16,41	4,99	-2,373	298-1183	24,77
Ca ₂ Si ₂ O ₇				41688	66,24	13,95	-16,69	298-1737	95,93
Fe ₂ P		3736	17,64	17146	16,68	3,90	-3,032	298-1633	25,56
Fe ₃ P		3950	25,37	20132	22,12	5,60	-2,12	298-1438	33,57
FeSi ₂				12999	16,02	4,46	-4,009	298-1238	23,90
Fe ₂ Si ₅ (FeSi _{2,43})					38,31	9,25	-8,657	298-1493	60,34
Fe ₂ Si				18522	21,92	5,97	-3,831	298-1323	33,10
Fe ₂ Si ₃				36484	43,78	12,11	-7,544	298-1303	66,12
FeAl		1940	12,38	10696	11,10	2,68	-1,910	298-1528	16,86
FeAl ₂		2154	12,63	14983	16,26	4,03	-4,163	298-1427	24,43
FeAl ₂ O ₄				29022	39,00	7,00	-10,92	298-2073	56,76
CaAl ₂		3116		14196	16,56	4,47	-2,571	298-1352	25,37
CaAl ₄		5084		17027	26,57	9,32	-4,439	298-973	39,55
CaAl ₁₂ O ₁₉				139264	177,83	30,25	-59,38	298-2176	258,41
CaFeSiO ₄		5247		20678	38,17	9,25	-9,124	298-1477	54,93
CaFeSi ₂ O ₆		6802		25050	53,48	14,74	-13,39	298-1253	76,09

чае взамен величин ΔH_{298} подразумеваются значения стандартных энтропий рассмотренных соединений. При этом данные по S_{298} двойных оксидов (кроме соединений $Al_2O_3 \cdot 2SiO_2$), а также простых соединений и марганца, приведенных в правой части уравнений (1) — (5), брались из [8], а значение S_{298} для $Al_2O_3 \cdot 2SiO_2$ определено с помощью описанного в [9] инкрементного метода.

Значение стандартной энтропии соединения $Mn_{23}C_6$ найдено нами на основании предложенного в [12] соотношения

$$S_{298}(Mn_{23}C_6) = 23 S_{298}(Mn) + 6 S_{298}(C) + m \cdot 6,0 \left[\frac{t_{Mn}}{t_c} - 1 \right] , \quad (7)$$

где m — число атомов углерода в карбиде ($m=6$);

t_{Mn} — температура плавления марганца, $^{\circ}C$;

t_c — температура плавления карбида марганца, $^{\circ}C$.

Для определения величины S_{298} интерметаллических соединений $FeAl$, $FeAl_2$, $MnAl_4$, $MnAl_6$, Mn_4Al_{11} , $CaSi$, $CaSi_2$, Ca_2Si , использовано уравнение, аналогичное выведенного в [9] соотношения для расчета S_{298} двойных оксидов, которое имеет вид

$$S_{298} \text{ (интерметаллида } AnBm) = n \cdot S_{298}^A \left(\frac{T_m^A}{T_m^C} \right)^{1/2} + m S_{298}^B \left(\frac{T_m^B}{T_m^C} \right)^{1/2} , \quad (8)$$

где n и m — стехиометрические коэффициенты; S_{298}^A , S_{298}^B , T_m^A и T_m^B — соответственно значения стандартной энтропии и температуры плавления компонентов А и В, а T_m^C — температура плавления интерметаллида.

Расчет S_{298} фосфидов Fe_2P и Fe_3P выполнен с помощью следующего уравнения [13]:

$$S_{298} \text{ (фосфida металла)} = \eta_{Me} \left(S_{298}^{Me} + R \ln \frac{T_m^{Me}}{T_m^{\Phi}} \right) + \\ + \eta_p \left(5,45 + R \ln \frac{866}{T_m^{\Phi}} \right) ,$$

где R — газовая постоянная;

η_{Me} и η_p — число атомов металла и фосфора в молекуле фосфida;

S_{298}^{Me} и T_m^{Me} — стандартная энтропия и температура плавления металла;

T_m^{Φ} — температура плавления фосфida.

Стандартная энтропия SiP вычислена с использованием понятия «стандартной квантовой энтропии», предложенного в [13] S_{298} (фосфida металла) = $\frac{N - 0,5}{\eta} (\eta_{Me} \cdot \widetilde{S}_{298}^{Me} + \eta_p \cdot \widetilde{S}_{298}^P)$,

$$\text{где } \eta = \eta_{Me} + \eta_p ; N = \eta_{Me} \cdot n_{Me} + \eta_p \cdot n_p , \text{ где } n_{Me} \text{ и } n_p \text{ соответственно главные квантовые числа (номер периода) металла и фосфора;} ; \widetilde{S}_{298}^{Me}$$

и \widetilde{S}_{298}^P — «стандартные квантовые энтропии» металла и красного фосфора, определяемые из соотношений $\widetilde{S}_{298}^{Me} = \widetilde{S}_{298}^{Me}/n_{Me}$ и $\widetilde{S}_{298}^P = S_{298}^P/n_p$.

Приращение энталпии ($H_{298}^o - H_0^o$). Расчет термодинамической константы $H_{298}^o - H_0^o$ для соединений $Mn_3Al_2Si_2O_{12}$, $Mn_2Al_4Si_5O_{18}$, $MnAl_2Si_2O_8$, Mn_3AlC и Al_2OC выполнен на основании выражений (1) — (5), в которых

взамен величин ΔH_{298} подставлялись значения функции $H_{298}^o - H_0^o$ рассмотренных веществ. Данные по $H_{298}^o - H_0^o$ представленных в правой части уравнений (1)–(5) веществ (за исключением $Al_2O_3 \cdot 2SiO_2$) брались из (8), а $H_{298}^o - H_0^o$ для $Al_2O_3 \cdot 2SiO_2$ рассчитывали с помощью предложенного в [14] уравнения

$$H_{298}^o - H_0^o = 216 \cdot m \cdot S_{298}^{at} \cdot \exp\left(-\frac{S_{298}^{at}}{17}\right), \quad (11)$$

где S_{298}^{at} — г-атомное значение стандартной энтропии соединения;

m — число атомов в молекуле соединения.

Значение функции $H_{298}^o - H_0^o$ для $MnAl_2O_4$, $CaFeSiO_4$ и $CaFeSi_2O_6$ определяли из уравнения (II), а для представленных в табл. 1 и 2 интерметаллических соединений, карбидов и фосфидов величину константы $H_{298}^o - H_0^o$ находили на основании соотношения [14]

$$H_{298}^o - H_0^o = 204 \cdot m \cdot S_{298}^{at} \cdot \exp\left(-\frac{S_{298}^{at}}{23,5}\right) \quad (12)$$

Зависимость теплоемкости C_p от температуры в интервале 298– T_m (T_m — температура плавления соединения). Функция $C_p = f(T)$ для твердых соединений в указанном интервале температур обычно выражается уравнением Майера-Келли [15]

$$C_p = a + bT - cT^{-2}, \quad (13)$$

где a , b и c — постоянные величины, если в рассматриваемой температурной области вещество не претерпевает фазовых превращений.

Значения постоянных a , b и c для рассмотренных в табл. 2 веществ (кроме Mn_3AlC) определяли с помощью выражений, предложенных в работе [16]:

$$a = m \left(6,0 - \frac{\Theta_c}{T_m} \right), \quad \text{кал/моль·К} \quad (14)$$

$$b = \frac{m}{T_m} \left(\frac{5}{2} - \frac{\Theta_c}{T_m} \right), \quad \text{кал/моль·К}^2 \quad (15)$$

$$c = \frac{m\Theta_c}{5}, \quad \text{кал/моль·К} \quad (16)$$

где m — число атомов в молекуле соединения;

Θ — его дебаевская характеристическая температура, рассчитываемая из выражения [17]

$$\Theta_c = 48,5 \Theta_s^{3/7}, \quad (17)$$

где Θ_s определяется по г-атомной величине стандартной энтропии (S_{298}^{at}) соединения на основании следующей формулы [9]:

$$\Theta_s = \frac{2790}{\exp\left(\left[\left(\frac{2}{3}\right)\left(\frac{S_{298}^{at}}{R}\right)\right]^{3/4}\right)}, \quad (18)$$

Величины постоянных a , b и c для Mn_3AlC находили с помощью выражений [18]:

$$a = m \cdot 5,5, \quad (19)$$

$$b = m / 8\tau ,$$

$$c = 0,9 \cdot 10^5 \left(a + \frac{37,25m}{\tau} - C_{p298} \right) , \quad (21)$$

где m — число атомов в молекуле соединения;

τ — его некоторая характеристическая температура, определяемая по величине Cp_{298}/m с использованием таблицы функции $Cp/m = f(T/\tau)$, приведенной в [18];

Cp_{298} — стандартная теплоемкость соединения. При этом для Mn_3AlC рассчитывали на основании предложенного в [19] соотношения

$$Cp_{298} = m \left(3,85 \lg \frac{S_{298}}{m} + 2,25 \right) . \quad (22)$$

Температуры плавления. Данные по температуре плавления для представленных в табл. 1 и 2 веществ (за исключением SiP и Mn_3AlC) заимствованы из [8]. Приближенное значение величины T фосфida SiP , равное ~ 1500 К, определяли из уравнения (9). Предложенное нами уравнение $Cp=f(T)$ (см. табл. 2) для соединения Mn_3AlC позволяет оценить его температуру плавления. При этом исходили из того, что г-атомные величины изобарной теплоемкости при температуре плавления примерно одинаковы для всех твердых веществ и согласно теории Нернста-Линдемана [20] составляют $\sim 7,1$ кал/г-атом·К. Следовательно, если построить кривую $Cp=f(T)$ в координатах $Cp/m - T$, легко можно определить температуру, которая соответствует величине $Cp/m = 7,1$ кал/г-атом·К и тем самым оценить температуру плавления вещества; с использованием этой методики найдено, что для $Mn_3AlC T_m \approx 1850$ К.

Теплота плавления. Экспериментально установлено, что для родственных веществ г-атомное значение энтропии плавления почти постоянно [21]. При этом, согласно данным [21] для бинарных соединений можно принять $\Delta S_{пл} \approx 3,5$ кал/г-атом·К; а для сложных кислородных соединений можно использовать величину $\Delta S_{пл} = 2,0$ кал/г-атом·К, рекомендуемую авторами работы [10]. Далее определяли теплоту плавления вещества с помощью термодинамического соотношения $\Delta H_{пл} = \Delta S_{пл} \cdot T_m$.

Теплоемкость в жидкоком состоянии. Для расчета теплоемкостей исследованных соединений в их жидкоком состоянии ($C_{рж}$) использовано квазитермодинамическое соотношение [22]

$$C_{рж} = Cp_m + \frac{\Delta H_{пл}}{4T_m} , \quad (23)$$

где Cp_m — теплоемкость твердой фазы при температуре плавления, значения которой для рассмотренного соединения определяли из уравнения (13).

Рассчитанные в настоящей работе значения функций ΔH_{298} , S_{298} , $H_{298}^0 - H_0^0$, $Cp = f(T)$, $\Delta H_{пл}$ и $C_{рж}$ для исследованных соединений представлены в табл. 1 и 2. Пустые клетки в этих таблицах указывают на то, что экспериментальные или расчетные значения соответствующих термодинамических констант приведены в справочниках [7, 8].

В заключение следует отметить, что неизвестные значения термодинамических функций изучаемых соединений нами определены с помощью апробированных расчетных методов, точность которых соответствует требованиям термодинамического моделирования. При этом точность полученных расчетных значений термодинамических констант,



согласно данным авторов использованных нами расчетных методов, можно оценить в следующих пределах: ΔH_{298}° — 1,0÷1,5 ккал/г-атом, S_{298}° — 0,3÷0,5 кал/г-атом·К, H_{298}° — H_0° — 3÷4%, $C_p(T)$ — 3÷5%, T_m — 10÷15%, $\Delta H_{\text{пл}}$ — 0,3÷0,6 ккал/г-атом, Срж — 6÷10%. Заметим также, что приведенные в табл. 1 и 2 расчетные данные термодинамических функций рассмотренных веществ уже использованы для термодинамического моделирования в системах Mn—Si—O—C [1], Mn—O—C [2], Mn—Si—Al—O—C [4] и Mn—Si—Ca—O—C [5]. При этом полученные результаты хорошо согласуются с экспериментальными данными, что дополнитель но подтверждает надежность рекомендованного в данной работе банка термодинамических данных некоторых соединений в системе Mn—Fe—Si—Al—Ca—O—C—P.

Институт metallurgии им. Ф. Н. Тавадзе
АН Грузии

Поступило 10.06.1991

ქ. ბალდავაძე, დ. ცაგარეიშვილი, გ. გველესიანი,
ი. ბარათაშვილი, ი. ომაძე

**Mn—Fe—Si—Al—Ca—O—C—P სისტემაზე ზოგიერთი ნართვაზე
თერმოდინამიკური თვისებები**

რეზიუმე

მიხლოებითი საანგარიშო მეთოდების გამოყენებით გათვლილია Mn—Fe—Si—Al—Ca—O—C—P სისტემაში ზოგიერთი ნართვების წარმოქმნის სტანდარტული ენთალპიის, ენტროპიის, ენთალპიის ნაზრდის, მაღალტემპერატურული სითბოტევადობის და დნობის სითბოების მნიშვნელობები. მიღებული შედეგები ხასიათდება დამაკმაყოფილებელი სიზუსტით, რაც განაპარობებს შთ შეტანას თერმოდინამიკური მონაცემების ბანკებში.

J. I. BAGDAVADZE, D. Sh. TSAGAREISHVILI, G. G. GVELESIANI,
I. B. BARATASHVILI, I. S. OMIADZE

**THERMODYNAMIC PROPERTIES OF SOME COMPOUNDS IN THE
SYSTEM Mn—Fe—Si—Al—Ca—O—C—P**

Summary

Standard enthalpy of formation, entropy, enthalpy increment, high-temperature heat capacity and heat of fusion values of some compounds in the system Mn—Fe—Si—Al—Ca—O—C—P have been calculated using approximate calculation methods. The obtained results are characterized by satisfactory accuracy that provides their introduction into thermodynamic data banks.

ლიტერატურა — ЛИТЕРАТУРА — REFERENCES

1. Багдадзе Д. И., Гвелесиани Г. Г., Цхадая Р. А., Маршук Л. А. Сообщения АН ГССР, 1989, 133, 2, 325—328.
2. Гвелесиани Г. Г., Багдадзе Д. И., Цагарейшивили Д. Ш., Ланчава Д. М., Чамалаидзе Л. В. Сообщения АН ГССР, 1989, 135, 1, 137—140.

3. Багдадзе Д. И., Цамалаидзе Л. В., Гвелесиани Г. Г. Известия АН Грузии, серия химическая, 17, 1, 1991, 54—59.
4. Багдадзе Д. И., Гвелесиани Г. Г., Цамалаидзе Л. В. Сообщения АН Грузии, 142, 2, 1991, 325—328.
5. Багдадзе Д. И., Гвелесиани Г. Г., Цамалаидзе Л. В. Известия АН Грузии, 17, 4, 1991, 289—294.
6. Синярев Г. Б., Ватолин Н. А., Трусов Б. Г., Моисеев Г. К. Применение ЭВМ для термодинамических расчетов металлургических процессов. М.: Наука, 1992.
7. J a n a f thermochemical tables. NSRDS—NBS 37. Wash.: Gov. print. off., 1971, 1144.
8. Термические константы веществ. Под ред. В. П. Глушко, вып. 1—10, М.: ВИНИТИ, 1965—1981.
9. Цагарейшили Д. Ш. Методы расчета термических и упругих свойств кристаллических неорганических веществ. Тбилиси: Мецниереба, 1977.
10. Цагарейшили Д. Ш., Гвелесиани Г. Г., Бараташвили И. Б., Моисеев Г. К., Ватолин Н. А. Журн. физической химии, 1990, 64, 10, 2606—2610.
11. Моисеев Г. К., Зайцева С. И., Ильиных Н. И., Ватолин Н. А., Цагарейшили Д. Ш., Гвелесиани Г. Г., Бараташвили И. Б. Сверхпроводимость: физика, химия, техника, 1991, 4, 12, 2433—2442.
12. W o g g e l l W. L. J. Phys. Chem., 1964, 68, 4, p. 954—955.
13. Бараташвили И. Б., Цагарейшили Д. Ш. В сб.: Термодинамические исследования неорганических материалов, вып. 1, Тбилиси: Мецниереба, 1980, 68—81.
14. Багдадзе Д. И., Цагарейшили Д. Ш., Цхадая Р. А., Гвелесиани Г. Г. Изв. АН ГССР, серия химическая, 1988, 14, 3, 199—206.
15. Ma i e g G., K e l l e y K. K. J. Am. Chem. Soc., 1932, 52, 7, 3243—3246.
16. Омиадзе И. С., Надирадзе А. А., Цагарейшили Д. Ш. Изв. АН ГССР, серия химическая, 1979, 5, 3, 254—261.
17. Омиадзе И. С. Исследование термодинамических свойств вольфраматов самария. Канд. диссертация, Тбилисский государственный университет, 1980.
18. Абашидзе Т. Д., Цагарейшили Д. Ш. Изв. АН ГССР, серия химическая, 1982, 8, 1, 39—47.
19. Цагарейшили Д. Ш. Труды Грузинского института металлургии, 1965, 14, 179—185.
20. N e g n s t W., L i n d e m a n n R. A. Z. Electrochem., 1911, Bd. 17, 18, 817—827.
21. Кубашевский О., Олкокк С. Б. Металлургическая термохимия, М.: Металлургия, 1982.
22. Цагарейшили Д. Ш. Теплофизика высоких температур, 1981, 19, 1, 75—79.

UDC 543—544

T. G. ANDRONIKASHVILI, L. G. EPRIKASHVILI, E. I. ABULASHVILI,
N. M. LEONIDZE, T. N. KORDZAKHIA

INVESTIGATION OF CHROMATOGRAPHIC PROPERTIES OF CHROMOSORB-103 IN THE VARIANT OF SURFACE-LAYER SORBENT

Now-a-days organic sorbents — polymers are being widely used in gas chromatography. Porous materials on the base of copolymers of styrene: ethylstyrene and divinylbenzene are utilized most of all [1—3].

The porous polymer sorbents have good mechanical strength, highly developed surface, great total volume of pores, thermal stability to 250 — 300°C, high efficiency.

The separation processes on porous polymers, according to Hollis [1], differ from those of gas-liquid or gas-adsorption chromatography. The chromatography on porous polymer sorbents is carried out in the whole volume of particles. At present there is no unanimous opinion concerning the mechanism of separation on porous polymer sorbents.

The investigation of porous polymer sorbents in the surface-layer variance is of interest [4,5].

In the gas-adsorption chromatography, the period of molecular adsorption itself is generally very small [6]. Therefore, adsorption kinetics is defined mainly by diffusion in the gas surface adsorbent — to the exterior surface of particles of nonporous adsorbents and to the interior surface in the pores of the grains of porous adsorbents as well.

Sorption processes in the surface sorbents occur not in the whole volume of the grain, but only in the surface layer of small depth equal to the thickness of the active sorbent layer. Resistance to mass transfer for such type of the sorbent as compared with general (volume) fillers decreases, since the length of the diffusion routes into the grain depth diminishes and consequently, the diffusion time drops, which will be determined not by the diameter of the sorbent grain [4], but by the thickness of the active layer.

Gas chromatography was used for studies and comparison of adsorption-separation properties of thermo-resistant porous polymer sorbent Chromosorb-103 in the variance of surface-layer (solid support Chromosorb W) and volume filling of chromatographic column. The properties of sorbents were compared under conditions of the same column lengths 1 Om, diameter 4mm, detector katharometer. Alcohols, ethers and some aromatic hydrocarbons were used as model mixtures.

Table 1 shows characteristics of retention (t_R) and coefficients of asymmetry (K_a) of separate components of the sorbents under investigation.

Retention time and coefficients of asymmetry of certain components on Chromosorb-103
in the variants of surface layer and volume filling

Components	t_R						K _{asymm.}					
	100°		160°		180°		100°		160°		180°	
	s. l.	v.	s. l.	v.	s. l.	v.	s. l.	v.	s. l.	v.	s. l.	v.
Ethyl alcohol	132	315	65	91	56	70	1	3	1	4	1	1
Isopropyl alcohol	166	439	66	101	57	78	2	4	2	6	1	1
Propyl alcohol	262	746	80	144	67	102	4	5	2	4	1	2
Secondary butanol	342	1060	92	170	72	118	6	9	4	6	1	4
Butanol-1	608	—	115	251	88	161	8	—	9	7	2	2
Diethyl ester			62	78	55	68			1	2	1	1
Diisopropyl ester			70	112	64	81			1	3	1	4
Dibutyl ester			156	576	105	262			7	6	2	6
Benzene			102	242	81	162			2	3	1	2.5
Toluene			160	453	111	260			3.5	2.3	2	5
Ethylbenzene			242	642	158	400			4.6	5	3.5	4
Cumene			324	912	189	540			4	2.5	5.5	2.2
Pseudocumene			481	1370	260	796			3.1	1.6	4.6	0.185

As the Table shows, the retention characteristics of the surface-layer sorbent is lower, than that on the volume one, and therefore the time for analysis is decreased. The surface-layer sorbents give chromatographic peaks more symmetric, since the sorption and desorption processes defining the spread of chromatographic zones occur only in the thin layer of the active sorbent. Just symmetry of peaks is the index of adsorptive equilibrium.

One of the major characteristics, defining the use of sorbents in gas chromatography is the coefficient of separation K [7].

Т а б л и ца 2

Separation coefficients of certain pairs of components with account of the analysis time (K/t_R) on Chromosorb-103

Components	K/t _R					
	100°		160°		180°	
	s. l. x 10 ⁻²	v. x 10 ⁻²	s. l. x 10 ⁻²	v. x 10 ⁻²	s. l. x 10 ⁻²	v. x 10 ⁻²
Ethyl alcohol-isopropyl alcohol	0.3	0.20	0.8	0.6	0.9	0.7
Isopropyl alcohol-propyl alcohol	0.3	0.15	0.7	0.2	0.8	1.7
Propyl alcohol-secondary butanol	0.1	0.06	0.6	0.3	0.7	0.7
Secondary butanol-butanol-1	0.1	—	0.6	0.05	0.5	0.9
Diethyl ester-diisopropyl ester			1.9	1.2	1.6	1.1
Diisopropyl ester-dibutyl ester			0.2	0.7	1.7	1.3
Benzene-toluene			0.1	0.6	0.8	0.5
Toluene-ethylbenzene			0.5	0.2	0.8	0.6
Ethylbenzene-cumene			0.2	0.1	0.2	0.2
Cumene-pseudocumene			0.2	0.1	0.3	0.3

Columns with surface and volume sorbents were compared by the use of specific characteristic k/t_R — the ratio of the separation coefficient to the mean time of the component elution for two neighbouring peaks [8]. This parameter characterizes separating capacity of the column with account of the time of analysis (Table 2). This Table shows, that the separating capacity of the surface layer sorbent column accounting for the analysis time is greater than that with the volume sorbent. This fact is rather important, in the express-analyses.

Separating capacity of the column at the given selectivity of the sorbent is limited by the extent of the spread of chromatographic bands when they are moving over the sorbent layer. The spread of chromatographic bands is the major factor preventing high separation. Under other similar conditions the column in which chromatographic bands are spreading less, is more effective.

While the comparison of the columns filled with surface-layer and volume sorbents and the same length of the column, the amount of the active adsorbent in the column is different, and consequently, the time of analysis varies. To exclude this factor when comparing the columns with sorbents under investigation, the value N/t_R was used — the effective number of theoretical plates, per time unit suggested by Desty [9]. This characteristic allows to compare the work of the columns with various sorbents.

The column efficiency filled with surface-layer or volume sorbents as compared with model mixture, was estimated by N/t_R under similar experimental conditions (Table 3).

Table 3

Specific characteristics (N/t_R) of efficiency of chromatographic columns filled with volume and surface layer sorbents

Sorbents	100°			160°			180°		
	s. l.	v.	s. l. v.	s. l.	v.	s. l. v.	s. l.	v.	s. l. v.
Ethyl alcohol	0.82	0.32	2.60	5.90	3.20	1.80	8.10	4.24	1.90
Isopropyl alcohol	0.83	0.15	5.50	4.12	3.10	1.33	9.70	3.70	2.60
Propyl alcohol	0.45	0.08	5.00	3.32	1.47	2.25	6.95	3.70	1.88
Secondary butanol	0.19	0.097	1.96	3.85	0.68	5.70	4.93	2.86	1.72
Butyl alcohol	0.04	--	—	2.78	0.66	4.20	3.81	2.40	0.63
Diethyl ester				8.95	3.41	2.62	9.87	7.28	1.36
Diisopropyl ester				2.96	1.11	2.67	9.55	2.16	4.42
Dibutyl ester				0.44	0.13	3.30	1.24	0.35	3.50
Benzene				1.74	1.02	1.70	3.85	1.96	1.96
Toluene				0.97	0.64	0.66	1.99	1.02	1.95
Ethylbenzene				0.45	0.14	3.20	1.48	0.50	2.96
Cumene				0.21	0.12	1.75	0.91	0.25	3.64
Pseudocumene				0.22	0.15	1.47	0.45	0.30	1.50

As it is evident from the Table, the efficiency of the column with surface-layer sorbent is greater, than that with volume sorbent Chromosorb-103.

Hence, the use of the surface-layer sorbents is advantageous as follows: the duration of analysis decreases and the spread of chromatographic bands is eliminated.



გრაფიკული მუსიკურის მუზეუმის
არქივის მუზეუმის მუზეუმის
მუზეუმის მუზეუმის მუზეუმის

რეზიუმე

გაზური ქრომატოგრაფიის მეთოდით შესწავლილია თერმული მდგრადი ფორმანა-პოლიმერული სორბენტი ქრომოსორბ-103-ის აცსორბციული დაყოფითი თვისებები. ქრომატოგრაფიული სვეტების შევსება ხორციელდებოდა ზედაპირულ-ფენოვან და მოცულობით ვარიანტში.

დადგინდა, რომ ზედაპირულ-ფენოვანი სორბენტის გამოყენება გვაძლევს მთელ რიგ უპირატესობას: ამცირებს ანალიზის ხანგრძლივობას, თავიდან იცალებს ქრომატოგრაფიული ზონის გადღაბნას.

Т. Г. АНДРОНИКАШВИЛИ, Л. Г. ЭПРИКАШВИЛИ, Е. И. АБУЛАШВИЛИ,
Н. М. ЛЕОНИДЗЕ, Т. Н. КОРДЗАХИЯ

ИССЛЕДОВАНИЯ ХРОМАТОГРАФИЧЕСКИХ СВОЙСТВ ХРОМОСОРБА-103 В ВАРИАНТЕ ПОВЕРХНОСТНО- СЛОЙНОГО СОРБЕНТА

Резюме

Методом газовой хроматографии были изучены и сравнены адсорбционно-разделительные свойства термостойкого пористого полимерного сорбента Хромосорб-103 в варианте поверхностно-слойного (твердый носитель Хромосорб W) и объемного заполнения хроматографической колонки.

Найдено, что применение поверхностно-слойных сорбентов дает ряд преимуществ: сокращает продолжительность анализа, устраняет размытие хроматографических зон.

ЛІТЕРАТУРА — REFERENCES

1. Hollis O. L., *Analyst Chem.*, 1966, 38, 2, 309—317.
2. Hollis O. L., Hayes W. V. J. *Gas Chromatogr.*, 1966, 4, 7, 235—239.
3. Sakodinskii K. I., Panina L. I. *Polymer Properties for Molecular Chromatography*. M: Nauka, 1977, 165.
4. Berezhkin V. G., Nikitina N. S. *Progress in Chemistry*, 1971, 40, 5, 927—941.
5. Andronikashvili T. G., Eprikashvili L. G. *Izv. AN GSSR, ser. chem.* 1983, 9, 1, 37—42.
6. Ide Buer. *The Dynamical Character of Adsorption*. M: I. L., 1962, 175.
7. Viggdergous M. S. *Calculations in Gas Chromatography*. M: Chimia, 1977, 31—32.
8. Eprikashvili L. G. *Authors Report on Cand. Thesis. Inst. Phys. Org. Chem. AN GSSR*, Tbilisi, 1984.
9. Nikitina N. S. *Authors Report on Cand. Thesis, Inst. Petrochem. Synth. AN SSSR*, M., 1970.

ურ 541.138

ლ. ჩარილი, გ. წურუშია, თ. აგლაძე

**მაცნეაცუმის კოროზია და ანოდური გახსნის
პანოზომიერებანი თხევადი ამიაკის
ხსნარები**

წინა სამუშაოში [1] ვიუწყებოდით, რომ თხევადი ამიაკის ხსნარები და მათი ნარევები ტეტრაპილროფურანთან შესაფერის გარემოს წარმოადგენს მანგანუმის დიციკლოპენტადიენიდის არაპირდაპირი ელექტროქიმიური სინ-თეზისათვის, რომელიც ამოსავალი ნივთიერებაა ბერზინში ტეტრაეთოლტყვიის შემცვლელი მცარეტოქსიკური ანტიდეტონატორული დანამატები -- შანგარუმის ციკლოპენტადიენილტრიკარბონილის მისალებად [2].

არაპირდაპირი ელექტროქიმიური სინთეზის დროს საბოლოო პროდუქტის გამოსავალი გარკვეულწილად განისაზღვრება ლითონური მანგანუმის თხევადი ამიაკის ხსნარებში ანთლური გახსნის შედეგად წარმოქმნილი იონურის გენერაციის სიჩქარით. ალნიშულის გათვალისწინებით შესწავლილია ამ რეაქციის კინეტიკური კანონზომიერებანი.

მინის ელექტროქიმიურ უჯრედში ანოდური და კათოდური არეები ვა-ყოფილ იყო მინის ფილტრით. ცდებს ვატარებდით — $40^{\circ}\text{--}5^{\circ}$. უარყოფითი ტემპერატურის მისაღწევად ელექტროქიმიურ უჯრედს ვათავსებდათ დიუარის ჭურჭელში, რომელშიც იყო მშრალი ყინულისა და აცეტონის ნარევი. სამუშაო ელექტროდებად ვიყენებდით ელექტროლიტური მანგანუმიდან გამოღნობა-ლი ცილინდრული ფორმის ღეროებს ($\varnothing = 5 \text{ mm}$), დამხმარე ელექტროლად — პლატინის ბადეს, ხოლო შესადარებელ ელექტროდად კი ნახევარელემენტს Tl/TlI თხევად ამიაკში, რომელსაც წინასწარ ვასუფთავებდით წყლის მინარე-ვებისაგან. ამისათვის ამიაკს ვაშრობდით ნატრიუმის ამიდით 5 ლ მოცულო-ბის რკინის ბალონში, საიდანაც გაუწყლოებული ამიაკი მიეწოდებოდა ელექ-ტროქიმიურ უჯრედს. ამ უკანასკნელში ხდებოდა ამიაკის კონდენსაცია. ყველა ამ ოპერაციებს ვატარებდით ინერტული აირის-არგონის ატმოსფეროში. ელექ-ტროლიტის დასამზადებლად ვიყენებდით ორჯერ გაღარისტალებულ და ვა-უწყლოებულ KI-ს.

აპარატურული კომპლექსი შეიცავდა პროგრამატორს ПР-8 და იმპულ-სურ პოტენციოსტატს ПИ-50-1. ვოლტაპერული მრუდების რეგისტრირება ხდებოდა ორკონტრინატიანი კომპენსაციური ხელსაწყოს LED 4—003 მეო-ხებით.

მანგანუმის ელექტროქიმიური თვისებების შესახებ თხევადი ამიაკის ხსნა-რებში მონაცემები მცირება. სამუშაოს [3] ავტორები აღნიშნავენ, რომ მანგა-ნუმისა და პლატინის მოკლე ჩართვისას ამიაკის მუავა ხსნარებში (რომლებიც შეიცავენ NH_4^+ იონებს) პლატინაზე გამოიყოფა წყალბადი, ხოლო მანგანუმი იხსნება ორვალენტიანი მანგანუმის იონების წარმოქმნით. ზოგიერთი დასკვნე-ბის გამოტანა ამიაკის ხსნარებში მანგანუმის ელექტროდზე მიმღინარე ელექ-

ც ხ ი ლ ი 1

ელექტროდული წყვილების სტანდარტული პოტენციალის
მნიშვნელობები გაზრდილი შესაძლებელი ელექტროდის
Tl/TII მიმართ [3]

ელექტროდული წყვილი	T(K)	E ^o , V
ZnCl ₂ /Zn	298	-0,829
Fe(NO ₃) ₂ /Fe	293	-0,443
NH ₄ ⁺ /H ₂	293	0,013
Fe ³⁺ /Fe ²⁺	293	0,050

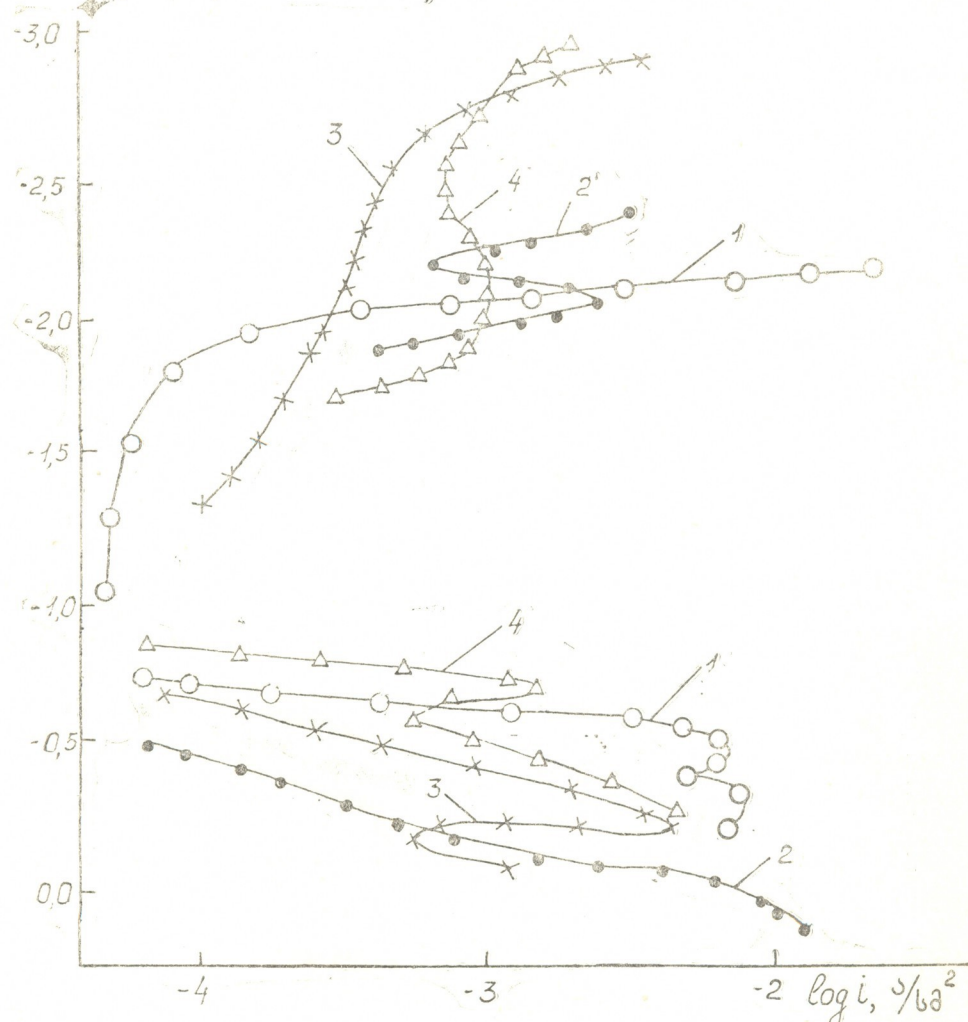
იმის გათვალისწინებით, რომ მანგანუმის სტაციონარული პოტენციალი ჩვენს მიერ გამოყენებულ ხსნარებში NH₃(თევ) + 0,1^{მო}/ლ KI შეაღენს - 0,98 ვ, რომელიც გაცილებით უარყოფითია წყალბადის წონასწორულ პოტენციალზე იმავე ხსნარებში, შეგვიძლია დავისკვნათ, რომ მანგანუმის კოროზია ამიაკის ხსნარებში გაძირობებულია მანგანუმის იონიზაციისა და პროტონის დონორის აღდგენის რეაქციებით. სხვა დეპოლარიზაციაზე შესაძლებელია იყოს ხსნარში გახსნილი ჟანგბადის მინარევები. ნახ. 1 მოცემულია მანგანუმის ანოდური და კათოდური პოლარიზაციული მრუდები, კაზომილი გაუწყლობულ და წყლის დანამატების შემცველ თხევადი ამიაკის ხსნარებში. ნახაზიდან ჩანს, რომ მცირე პოლარიზაციის არეში კათოდური დენის სიმკვრივე მცირედ არის დამოკიდებული პოტენციალზე. შესაძლებელია დავუშვათ, რომ კათოდური ზღვრული დენი გაპირობებულია თხევად ამიაკში გახსნილი ნარჩენა ჟანგბადის აღდგენით. უფრო უარყოფით პოტენციალზე პოლარიზაციული მრუდი ხასიათდება სწორხაზოვანი უბანით, რომლის დახრილობა შეაღენს მიახლოებით 0,120 ვ. პოტენციალების ამ უბანში ელექტროდის ირგვლივ შეინიშნება ცისფერი შეფერილობა, რაც სოლვატირებული ელექტრონების გენერაციაზე მიუთითებს [4].

წყლის დამატება თხევად ამიაკში ორგვარად მოქმედებს კათოდურ პროცესებზე; შედარებით დაბალ დენის სიმკვრივეებზე წყლის კონცენტრაციის გაზრდა იწვევს კათოდური რეაქციის დაჩქარებას, ხოლო მაღალ დენის სიმკვრივეებზე პირიქით, რეაქციის დამუხსრუჭებას. ამ პირობებში შეინიშნება აირის გამოყოფა ელექტროდზე და შეფერილობის გაქრობა. ცდის შედეგბიდან გამომდინარე შეიძლება დავისკვნათ, რომ დენის ზრდა გამოწვეულია წყლის მოლეკულების განმუხტვის რეაქციით შედარებით მაღალ დენის სიმკვრივეებზე, როდესაც განმუხტვის სიჩქარე მნიშვნელოვან სიდიდეებს აღწევს, მოსალოდნელია ჰიდროქსიდ-იონების დაგროვება ელექტროდის ზედაპირზე და მიიღება აღსორბირებული ჰიდროქსიდები, რაც რეაქციის დამუხსრუჭებას იწვევს. ცნობილია, რომ წყალბადის გამოყოფის რეაქცია მანგანუმშე მიმღინარეობს მაღალი გადაძავით, ხოლო მრუდის დახრის მიხედვით თუ ვიმსჯელებთ, იგი განისაზღვრება ფაზათაშორის საზღვარზე მუხტის გადატანის სტადიით. შედარებისათვის მოვიყვანოთ მონაცემები, რომლის თანახმად რკინის ელექტროდზე გადაძავა თხევად ამიაკში დაახლოებით 1 ვ-ით ნაკლებია, ხოლო ტაფელის მრუდის დახრა შეაღენს 0,41 ვ [3], რაც, აღბათ, მეტყველებს იმაზე, რომ რკინაზე წყალბადის დესორბციის სიჩქარე დაბალია.

ნახ. 1-ზე აგრეთვე მოყვანილია მანგანუმის ანოდური პოლარიზაციის მრუდები. გაუწყლოებულ ხსნარში ეს მრუდი ხასიათდება სწორხაზოვანი უბ-

ნით, რომლის დახრა შეაღების დაახლოებით 0,130 ვ. პოტენციალის კრიტიკული მნიშვნელობის მიღწევის შემდეგ შეიმჩნევა ანოდური რეაქციის და-მუხრუჭების (პირველი პასივაციის) უბანი, რომელიც პოტენციალის შემდგომა გაზრდისას კვლავ იზრდება და მეორე კრიტიკულ პოტენციალს იღწევს. პო-

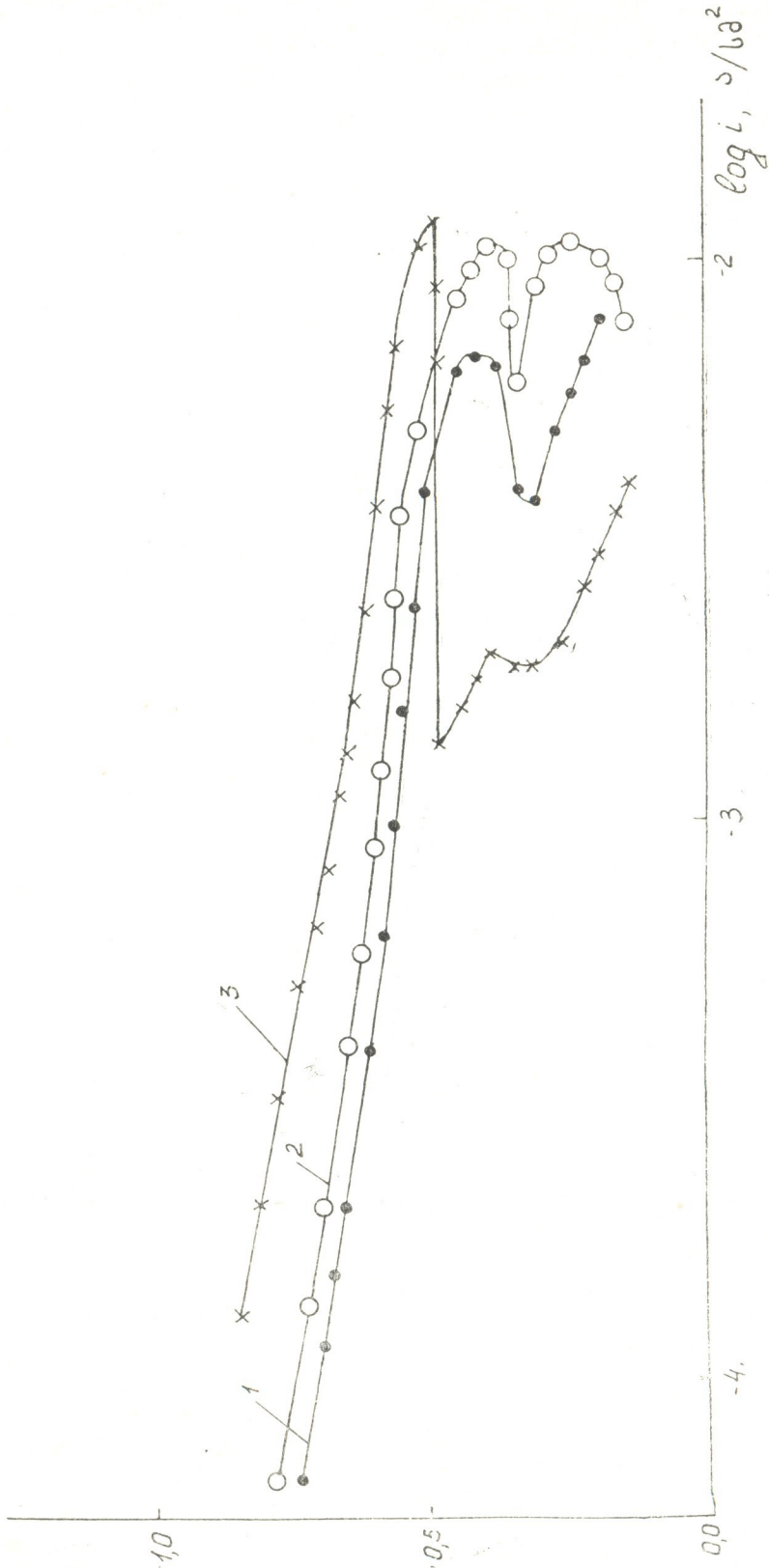
$E, \text{mV} (Tl/TlI \text{ მიმართ})$



ნახ. 1. მანგანეზის ანოდური და კათოდური სტაციონარული პოლარიზაციული მრუდები
 $\text{NH}_3(\text{ფას.}) + 0,1 \text{ მოლ/ლ KI} + X \text{ მოლ/ლ H}_2\text{O}$ სსნარებში, I—X-გაუზიგლოებული სსნარი;
 2—X=0,1; 3—X=1,2; 4—X=3,4; t=-40°

ტენციალის შემდგომი გადანაცვლებისას დადებითი მნიშვნელობისაკენ ხდება ანოდური რეაქციის მეორედ დამუხრუჭება (მეორე პასივაციის უბანი). წყლის დამატება თხევადი ამიაკის სსნარში იწვევს ანოდური მრუდების გადაადგილებას დაბალი დენის სიმკვრივეებისკენ. წყლის შედარებით მაღალი კონცენტრაციის შემთხვევაში რეაქციის სიჩქარე იზრდება კრიტიკულ პოტენციალამდე, შემდეგ უბანში კი პასივაცია ადვილად მიმდინარეობს. წყლის ამგვარი

$E, \beta (\tau\ell/\tau\ell J \text{ отнош})$

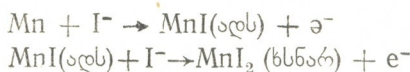


Ба. 2. Зависимость отношения $\tau\ell/\tau\ell J$ от $\log i, \omega/\omega^2$ для различных значений X :
 1— $X=0, 1$, 2— $X=0, 5$; 3— $X=1$; $t=-40^\circ$

საქართველოს
ეროვნული
მუზეუმი

ორმხრივი გავლენა მანგანუმისა და სხვა ლითონების გახსნის სიჩქარეზე და მასშიათებელია ანოდური პროცესებისათვის არაწყალხსნარებში [5] და რაზეც გორუ წესი, აიხსნება წყლის მოლეკულების მონაწილეობით ლითონების ინიზაციისა და პასივაციის რეაქციების ელემენტარულ სტადიებში.

ნახ. 2-ზე მოყვანილია მანგანუმის ანოდური პოლარიზაციის მრუდები, გაზომილი ფონური ელექტროლიტის სხვადასხვა კონცენტრაციების შემცველი თხევადი ამიაკის ხსნარებში. შედარებით დაბალი ანოდური პოლარიზაციის უბანში მანგანუმის გახსნის სიჩქარის ლოგარითმი იზრდება სწორხაზოვნად პოტენციალის გადახრისას დადებითი მნიშვნელობებისაკენ (აქტიური გახსნის უბანი). პოტენციალის კრიტიკული მნიშვნელობის მიღწევისას შეინიშნება ანოდური ღენის სიმკვრივის შემცირება (პირველი პასივაციის უბანი). შემდგომში გახსნის სიჩქარე კვლავ იზრდება ელექტროლიტის მეორე პასივაციის დაწყებამდე. აქვე უნდა აღინიშნოს, რომ მანგანუმის აქტიური გახსნის უბანში ფონური ელექტროლიტის გაზრდას ხსნარში თან ახლავს მანგანუმის ანოდური გახსნის სიჩქარის ზრდა. მეორეს მხრივ, ფონური მარილის კონცენტრაციის გაზრდა იწვევს მანგანუმის პირველი პასივაციის გაადვილებას, კრიტიკული პოტენციალის გადანაცვლებას უარყოფითი მნიშვნელობებისაკენ და პასივაციის უბნის ღენის შემცირებას. პირველი პასივაციის უბანში ელექტროლიტზე ვიზუალურად შეინიშნება ღია ვარდისფერი ნალექი. თუ გავითვალისწინებთ იმას, რომ ლითონების გახსნის კინეტიკაზე გავლენას ახდენენ ხსნარში არსებული კომპონენტები [6], შეგვიძლია მივიღოთ, რომ მანგანუმის გახსნის სიჩქარის გაზრდა KI კონცენტრაციის გაზრდით გაპირობებულია I⁻-იონის უშუალო მონაწილეობით ანოდურ რეაქციაში:

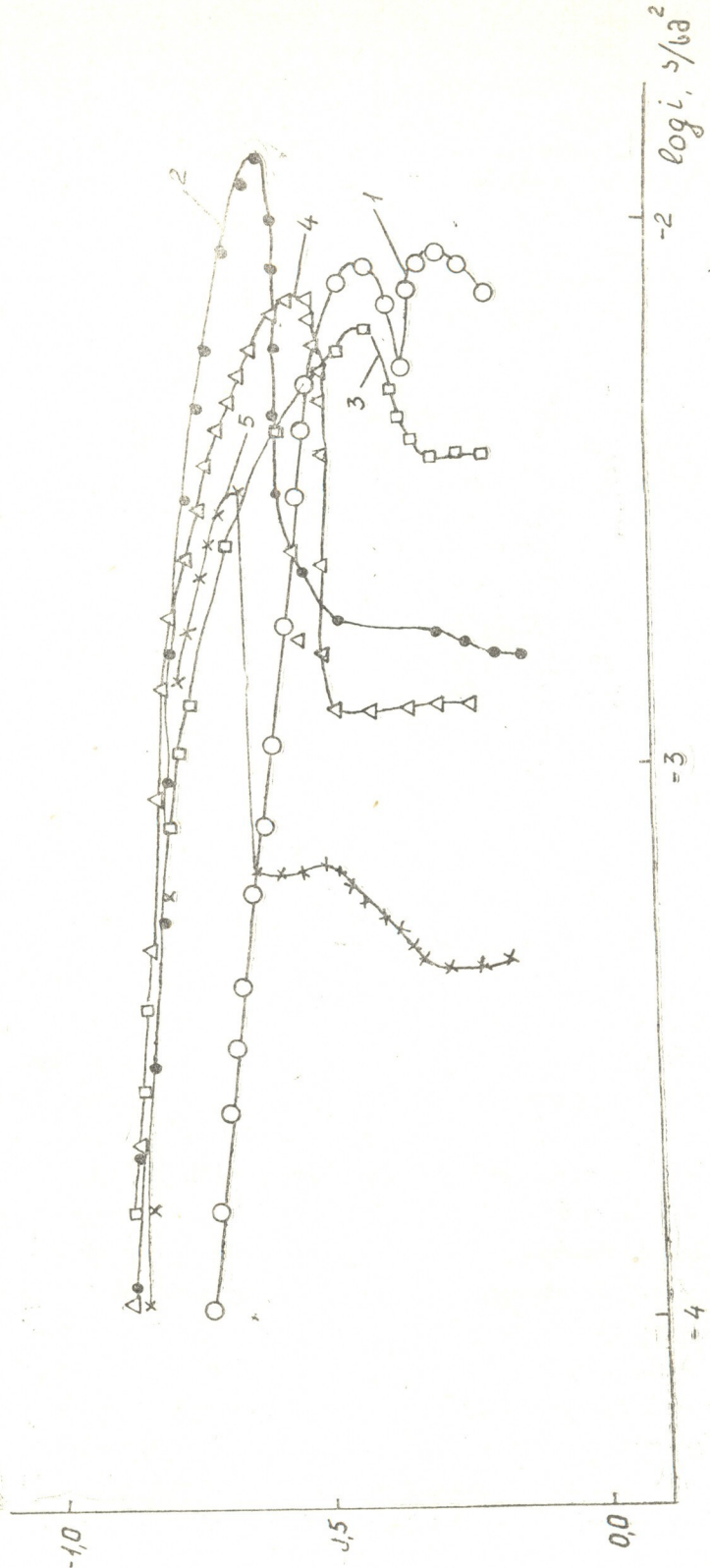


ანოდური რეაქციის დამუხრუჭება პოტენციალის კრიტიკული მნიშვნელობის მიღწევისას შეიძლება აიხსნას ლითონის ზედაპირზე მანგანუმის იოდიდის წარმოქმნით. მართლაც, როგორც ნახ. 2 ჩანს, I⁻-იონის კონცენტრაციის გაზრდა ხსნარში იწვევს ლითონის პასივაციის გაადვილებას. ამ დასკვნას ადასტურებს მონაცემები, რომელიც მიღებულია ხსნარის არევისას. ხსნარის არევახელს უშლის პირველადი პასივაციის უბნის წარმოქმნას. ელექტროლიტზე წარმოქმნილი ნალექის რეაქციებით გამოიყენება ანალიზმა აჩვენა, რომ იგი შეესაბამება მანგანუმის იოდიდის კომპლექსს ფორმულით $[\text{Mn}(\text{NH}_3)_4\text{I}_2]$.

ნახ. 3-ზე მოყვანილია მანგანუმის პოლარიზაციის მრუდები გაზომილი თხევადი ამიაკის ხსნარებში, რომლებიც შეიცავდნენ ციკლოპენტადიენის მონომერის დანამატებს. ვხედავთ, რომ ციკლოპენტადიენის დამატება იწვევს ანოდური რეაქციის მნიშვნელოვან გაზრდას, მაგრამ ამავე დროს მისი კონცენტრაციის მატება პოტენციალის შემდგომი გადახრისას დადებით მიმართულებით აადვილებს პასივაციის პროცესს, რაც მჟღავნდება პასივაციის კრიტიკული პოტენციალის გადანაცვლებაში უარყოფითი მნიშვნელობებისაკენ. ცდის მონაცემებიდან გამომდინარეობს, რომ გახსნის მაქსიმალური სიჩქარე მიიღწევა ხსნარში, როდესაც ციკლოპენტადიენის კონცენტრაცია $2,4 \cdot 10^{-2}$ მოლი/ლ.

მანგანუმის კოროზია პირობითად გაუშელოებული და დეარიტებულ KI-ის შემცველი თხევადი ამიაკის ხსნარებში კონტროლირდება ნარჩენი უან-

$E_3 (T\ell/T\ell J \text{ додашен})$



Фиг. 3. Влияние концентрации на катализатор на зависимость $E_3 (T\ell/T\ell J \text{ додашен})$ от $\log i, 2/b^2$ при $t = -40^\circ$ для различных значений X : 1 — $X = 0$; 2 — $X = 2,42 \cdot 10^{-2}$; 3 — $X = 7,27 \cdot 10^{-2}$; 4 — $X = 3,15 \cdot 10^{-1}$; 5 — $X = 7,5 \cdot 10^{-1}$.



გბადის აღდგენის რეაქციით, რომელიც მიმდინარეობს ზღვრულ დიფუზიურ კონვექციის დენძე.

მანგანუმის ანოდური გახსნა თხევადი ამიაკის ხსნარებში მიმდინარეობს ჟტივაციური კონტროლით. წყლის შეყვანა ხსნარში ააღვილებს ელექტროდის პასივაციას, ხოლო ციკლოპენტადიენის დანამატი იწვევს ელექტროდის აქტივაციას დაბალი დენის სიმკვრივეებზე და ააღვილებს პასივაციას მაღალი დენის სიმკვრივეებზე.

თხევად ამიაკში ანოდური რეაქციის დამუხრუჭება შეიძლება ახსნას ელექტროდის ზედაპირზე როგორც ოქსიდური, ასევე მარილის ფენების ჭარმოქმნით.

საქართველოს ტექნიკური უნივერსიტეტი,
საქართველოს მეცნიერებათა აკადემიის

რ. აგლაძის სახ. არაორგანული

ქიმიისა და ელექტროქიმიის

ინსტიტუტი

შემოსულია 16.03.1991

Л. Л. КАРЕЛИ, Г. С. ЦУРЦУМИЯ, Т. Р. АГЛАДЗЕ

ЗАКОНОМЕРНОСТИ КОРРОЗИИ И АНОДНОГО РАСТВОРЕНИЯ МАРГАНЦА В РАСТВОРАХ ЖИДКОГО АММИАКА

Резюме

Установлено, что коррозия марганца в обезвоженных и деаэрированных растворах жидкого аммиака контролируется реакцией восстановления следов кислорода на предельном диффузионном токе.

Анодное растворение марганца в жидким аммиаке протекает с активационным контролем. Увеличение содержания воды облегчает пассивацию электрода, а добавление циклопентадиена вызывает активацию электрода в области малых и средних плотностей тока и облегчает пассивацию при больших плотностях тока. Торможение реакции в жидким аммиаке может быть вызвано как образованием оксидных, так и солевых слоев.

L. L. KARELI, G. S. TSURTSUMIA, T. R. AGLADZE

REGULARITIES OF CORROSION AND ANODIC DISSOLUTION OF MANGANESE IN LIQUID AMMONIA

Summary

Manganese corrosion in dehydrated and deaerated solutions of liquid ammonia is controlled by reduction reaction of oxygen traces on the limited diffusive current.

Manganese anodic dissolution in liquid ammonia goes on with activated control. An increase of water content, facilitates the passivation of electrode, while addition of cyclopentadien causes activation of electrode at low and medium current density and facilitates the passivation at high current density.

The formation of oxydic and salt layers may cause inhibition of reaction in liquid ammonia.



1. Цурцумия Г. С., Агладзе Т. Р., Карели Л. Л. VII Всесоюзная конференция по электрохимии, Черновцы, 1988, 125.
 2. Марганцевые антидетонаторы. Под. ред. А. Н. Несмейнова. М.: Наука, 1971.
 3. Ahrens M., Heusler K. E. *Electrochimica Acta*, 1982, 27, 2, 239—243.
 4. Кришталик Л. И., Алпатова Н. М., Электрохимия, 1976, 12, 2, 163—198.
 5. Агладзе Т. Р. Итоги науки и техники. Сер. Коррозия и защита от коррозии. М.: ВИНТИИ, 1982, 3—100.
 6. Колотыркин Я. М., Флорианович Г. М. Итоги науки и техники, Сер. Электрохимия, М.; ВИНТИИ, 1971, 7, 5—74.
-

УДК 678.84.678.063

Дж. Н. АНЕЛИ, Г. М. ТОПЧИШВИЛИ, Д. Г. ПАГАВА

ТЕНЗОЧУВСТВИТЕЛЬНЫЕ МАТЕРИАЛЫ НА ОСНОВЕ КРЕМНИЙОРГАНИЧЕСКИХ ЭЛЕКТРОПРОВОДНЫХ РЕЗИН

Оценка напряженного состояния элементов строительных конструкций и деталей машин сводится в основном к определению деформаций в процессе нагружения. Широко распространенные металлические и полупроводниковые тензорезисторы, обладая целым рядом положительных свойств, не в состоянии решить задачи по измерению деформаций сооружений в широком диапазоне (от 0,01 до 1% длины тензодатчика [1]).

Для решения поставленной задачи возникает необходимость создания эластичных датчиков деформации для статического и динамического тензометрирования. Одним из подходящих для этих целей материалов может служить электропроводная резина — композит на основе каучуков и проводящих наполнителей (углеродные и металлические порошки). Наиболее важным свойством данного композита при использовании ее в тензометрировании является влияние механической деформации материала на его электросопротивление, что выражается в изменении последнего в определенном интервале значений.

Согласно наиболее распространенной модели полимеров, содержащих электропроводные наполнители, последние располагаются в промежутках между полимерными цепями, образуя при этом собственные электропроводящие структуры. Так как между частицами проводящего компонента практически нет химических связей то, очевидно, что определяющим фактором образования электрических контактов между частицами технического углерода (сажи) должен быть характер микроструктуры полимерной матрицы, в микропустотах которой локализуются проводящие элементы. Следовательно любое изменение микроструктуры материала должно отражаться на изменении конфигурации электропроводящей сетки. Структурные изменения в геометрии молекул как бы играют роль «микровыключателей» или «переключателей» отдельных сажевых частиц в массе полимерной матрицы.

Существует критический состав резины, при котором относительное изменение удельного сопротивления максимально. Последнее можно объяснить тем, что при малых удлинениях растягивающее напряжение сопровождается лишь упругими деформациями вулканизата в областях, где пространственная сетка, образованная наполнителем, выражена слабее. Следует отметить, что в саженаполненных вулканизатах различают два типа молекул эластомера [2]. Это молекулы, адсорбированные на поверхности сажевых частиц, так называемый «связанный» каучук или «жесткая» компонента и «мягкая» компонента, составляющая области чистого каучука. Вполне понятно, что при малых деформациях слабо наполненного вулканизата растягивающее напряжение вызывает в первую очередь удлинение «мягкой» компоненты, т. е. областей чистого каучука и, соответственно, сетки сажевых частиц. С ростом содержания сажи в вулканизате доля «мягкой» фазы уменьшается, и растягивающее напряжение будет одновремен-



но затрагивать как эластомерную фазу, так и связанную с ней сетку сажевых структур. Из вышесказанного следует зависимость коэффициента тензочувствительности резиновых датчиков от числа поперечных связей в матрице образца. Наличие в резиновой смеси незначительного количества связей каучук—сажа сразу же вовлекает в растяжение всю сажевую сетку и, кроме того, увеличивает стабильность материала и коэффициент тензочувствительности.

Для осуществления интенсификации поперечных связей в матрице эластомеров нами было разработано несколько методик.

Изучение температурной зависимости прочности и удлинения при разрыве электропроводных кремнийорганических резин на основе полидиметилвинилметилсилооксана марки СКТВ (мол. масса 500000) натолкнуло на мысль о связи в межфазной области полимер-наполнитель.

Нами был проведен эксперимент по экстракции резиновой смеси, прошедшей предварительную термообработку при различных температурах. Технология получения резиновой смеси указана в [3], однако в целях предотвращения появления вулканизационной сетки, препятствующей растворению каучука, смесь приготавлялась в отсутствии отвердителя.

В результате проведенного эксперимента было установлено появление вулканизационной сетки в резиновой смеси после термообработки выше 200°, о чем свидетельствовало понижение экстрагированной массы для таких образцов. Последнее было подтверждено методом спинового зонда [4], показавшем присутствие вулканизата в экстрагируемой композиции, прошедшей термообработку. В образцах, прошедших термообработку ниже 200°, этот же метод показал полное отсутствие (вымывание) эластомера из смеси после экстракции.

По данным таблицы I видно, что с повышением температуры термообработки тензочувствительность возрастает с одновременным уменьшением уровня шумов после циклической нагрузки образцов. Некоторое снижение прочности на разрыв и относительного удлинения при разрыве (например для композиции 1) обусловлено частичным охрупчиванием данных материалов вследствие высокотемпературной термообработки.

Таким образом, одним из способов увеличения числа поперечных связей и внесения коррективов в формирование физико-механических свойств кремнийорганической резины является подбор правильного режима термообработки.

Другим эффективным способом воздействия на физико-механические свойства используемого материала послужило взаимодействие саженаполненного каучука с аэросилом (марки А-300) и его влияние на свойства резиновых вулканизатов. В соответствии с общепринятой точкой зрения основной причиной как усиления каучука, так и структурирования смеси каучук-аэросил, является взаимодействие между силианольными группами наполнителя и силоксановой цепью полимера [5]. При получении композиций кремнийорганических саженаполненных каучуков с примесью аэросила (10—20 м. ч.) получали значительное повышение физико-механических свойств материала. В данном случае повышение тензочувствительности образцов происходит, вероятно, не за счет адгезии сажи к полимеру, а за счет механического уплотнения сажевой сетки в усиленном аэросилом образце (композиция 2 по таблице).

Следующим техническим решением было применение низкомолекулярных каучуков для повышения тензочувствительности. Как указывалось выше, чем сильнее взаимодействие полимер-наполнитель, тем больше должно отражаться влияние нагрева или деформации на проводимость материала. В данном случае низкомолекулярный каучук марки СКТН (мол. масса 20000) усиливал взаимодействие между наполнителем и матрицей, с одной стороны, и способствовал появлению

Технические показатели резиновых тензочувствительных композиций на основе каучука СКТВ

№	Ингредиенты, масс. ч.	Температура термообработки, °C	Объемное сопротивление, Ом	Прочность на разрыв, МПа	Относительное удлинение при разрыве, %	Тензочувствительность, К	Уровень шумов, %	Нестабильность, %
1	ПМЭ100В (50)	100	2,5	2,2	270	2,5	20	8
		200	2,5	2,2	270	2,5	20	5
		200	2,3	1,8	180	6	3	3
		250	2,3	1,3	100	8	0,5	1
2	ПМЭ100В (50) + аэросил А—300 (15)	200	10,2	2,3	170	8	0,5	1
3	ПМЭ100В (50) + СКТН (10)	20	1,4	0,2	700	1,8	5	20
		200	1,2	0,2	220	7	3	3
4	ПМЭ100В (50) + СКТН (20)	20	2,0	0,2	900	1,7	5	20
		200	1,8	0,3	170	6	2	3

дополнительной вулканизационной сетки в матрице, с другой. Как видно из таблицы, тензочувствительность композиций, содержащих каучук марки СКТН (образцы 3 и 4), после термообработки при 200° повышается. При этом возрастает также стабильность их работы.

При изготовлении резиновых тензодатчиков возник ряд технических задач, связанных с геометрией датчиков, материалом электродов, калибровкой, обеспечением надежного электрического контакта и т. д. Для обеспечения электрического контакта между проводящей резиной и электродами вулканизация резины проводилась с прижатыми к ней электродами. Этот метод обеспечивал хорошее соединение, а также минимальное сопротивление контакта. Необходимо тщательно выбирать материалы, используемые для электродов, поскольку отложения загрязнений, а также окисление поверхностей этих электродов понижают чувствительность и увеличивают уровень шумов. Этих нежелательных явлений нам удалось избежать при изготовлении электродов из залуженной меди.

При выборе геометрии опытных образцов резиновых тензодатчиков учитывались технические характеристики тензодатчиков, выпускаемых промышленностью.

Приведены некоторые характеристики полученных нами резиновых тензодатчиков (табл. 1). Рабочая среда — вода, воздух. Температура среды — 0,50°. Сопротивление датчика — 100—250 Ом. Температурный коэффициент датчика — 0,005. Диапазон деформаций — 0,01—1%. Поперечное сечение — 1,8×5 мм². База — 10—30 мм. Коэффициент тензочувствительности — 2—12.

Для снятия коэффициента тензочувствительности К в статическом режиме использовалась специальная стальная балка, оснащенная металлическими датчиками деформации. Соответственно подобранные форма и материал балки обеспечивали определенные, строго фиксированные деформации при конкретных нагрузках. Измерение величины К проводилось тензометром типа ИСД по стандартной компенсационной схеме.



ტენისმამრთნობიარე მასალები სიღიპონური
ელექტროგაგატარი რეზისორის საფუძველზე

၁၇၈၀၂၂

მექანიკური დეფორმაციებისადმი ელექტროგამტარი რეზინების კუთრი ელექტრული წინაღობის მგრძნობიარობის გასაზრდელად გამოყენებულია სხვადასხვა ტექნოლოგიური მეთოდები სილიკონური მაღალ და დაბალ მოლეკულური ელასტომერების საფუძველზე ტენზომგრძნობიარე ელემენტების მიღების დროს. ნაჩვენებია, რომ სავულკანიზაციო ბადისა და მასალის სიმკვრივის გაზრდით უძმავს ეპელთა კონცენტრაციის გაზრდის ხარჯზე, აგრეთვე თერმოდამუშავების ტემპერატურის გაზრდით რამდენიმე ათეული გრადუსით ნომინალურის ზევით, იზრდება რეზინების არა მარტივ ტენზომგრძნობიარობა, არამედ ამ უკანასკნელის კოეფიციენტის სტაბილურობა ციკლური დატვირთვების პირობებში, რასაც დიდი პრაქტიკული მნიშვნელობა აქვს.

J. N. ANELI, G. M. TOPCHISHVILI, D. G. PAGAVA

TENSILE SENSITIVE MATERIALS ON THE BASE OF SILICOORGANIC ELECTROCONDUCTING RUBBERS

Summary

With the aim of raising sensitivity of specific electroresistance of the electroconducting rubbers to mechanic deformations, some technological methods were applied for the obtaining of tensosensitive elements on the base of some silicoorganic high and low-molecular elastomers, filled with aerosyl and technical carbon.

It is shown, that with the density raise of vulcanization lattice and material density due to introduction of two types fillers (techn. carbon + aerosyl), as well as the temperature raise of thermotreatment by several grades over nominal values, tensosensitivity and the stability of its coefficient increase after cyclic loads; that's of great practical importance.

ლიტერატურა — ЛИТЕРАТУРА — REFERENCES

1. Почтовик Г. Я., Злочевский А. Б. Методы и средства испытания строительных конструкций. М.: Высшая школа, 1973, 78.
 2. Краус Дж. Усиление эластомеров. М.: Химия, 1968, 484—486.
 3. Анели Дж.Н., Топчиашвили М. И., Пагава Д. Г., Хананашвили Л. М. Сообщения АН Грузии, 1983, 110, 3, 533—536.
 4. Бучаченко А. Л., Вассерман А. М. Стабильные радикалы. М.: Химия, 1978, 634.
 5. Деминская Н. Ф., Гринблат М. П. Сб.: Исследования в области термостойких резин. М.: ЦНИИТЭнефтехим, 1979, 36—41.

ტექნოლოგია

შეკ 66,097.3

შ. გამუხრია, მ. კუსრაშვილი, ლ. გაგალია

ნახშირბაძის ოქსიდის (11) დაბალტემპერატურული კონვენიენტის-ქრომ-მანგანუმიანი (სქმ) კატალიზატორის მოდიფიცირება ალუმინისა და კალციუმის ოქსიდებით

სინთეზური ამიაკის წარმოების ერთ-ერთი შუალედური სტადიაა ნახშირბაძის ოქსიდის (11) დაბალტემპერატურული კონვენიენტის კატალიზატორად წარმოებაში იხმარება სპილენძშემცველი ოქსიდური საკონტაქტო მასები. ისინი წარმოადგენენ რა კატალიზატორების აქტიურ კომპონენტებს, სტრუქტურულ დანამატებაზე ერთად, როგორიცაა ქრომის, ალუმინის, კობალტის, მანგანუმის, მაგნიუმის, თუთიისა და სხვა ოქსიდები, წარმოქმნიან ნახშირბაძის ოქსიდის (11) წყლის ორთქლით კონვენიენტისათვის საჭირო აქტიურ კომპონენტებს [1—3].

ამ ტიპის კატალიზატორების აქტივობა დაახლოებით იდენტურია — კონვენიენტის ხარისხი 463—523 K ტემპერატურაზე 90—96 %-ია. მაგრამ ყველა ეს კატალიზატორი ხასიათდება საერთო ნაკლიო — ძალიან მაღალი მგრძნობელობით გოგირდშემცველი ნაერთების მიმართ.

საქართველოს ტექნიკურ უნივერსიტეტში არაორგანულ ნივთიერებათა და საყოფაცხოვრებო ქიმიის პროფესიულების ტექნიკუროგიის კათედრაზე შეტანილი და დამუშავებული იქნა რიგი სპილენძშემცველი კატალიზატორებისა, რომლებიც შესაძლებელია გამოყენებული იქნეს ზემოაღნიშნულ პროცესში. ესენია პოლიკომპონენტური და საპილენ-ქრომ-მანგანუმიანი (სქმ) კატალიზატორები, რომლებიც მზადდებიან დალევის წესით.

სქმ ოქსიდური კატალიზატორი საშუალებას ძლიერა ნახშირბაძის ოქსიდის (11) წყლის ორთქლით კონვენიენტი 473—523 K ტემპერატურაზე და უზრუნველვყოთ ნახშირბაძის ოქსიდის (11) გარდაქმნის მაღალი (90—96 %) ხარისხი [4, 5].

სქმ ოქსიდური კატალიზატორის ქიმიური შედეგებისა განსხვავებულია მათი სამრეწველო ანალოგებისაგან. მანგანუმის ნაერთების ძირითადი კომპონენტის სახით არსებობა კატალიზატორის შედეგის მნიშვნელოვან აუმჯობესებს კატალიზატორის ქიმიურ და კატალიზურ ბუნებას, აფართოებს მისი გამოყენების შესაძლებლობებს. კონკრეტულად ეს შეეხება კატალიზატორის გოგირდმდგრადობას [6].

შემუშავებულია კატალიზატორის მომზადების სრულყოფილი ტექნიკური, რომელმაც მინიმუმადე შეამცირა ნედლეულის დანაკარგები კატალიზატორის მომზადების პროცესში და დასაშვები გახდა მისი გამოყენება როგორც ეკონომიკური, ისევე ეკოლოგიური თვალსაზრისითაც [7].

ამჟამად მიმღინარეობს აღნიშნული კატალიზატორის მოდიფიცირებისათვის კვლევითი სამუშაოები, რომელთა მიზანია სქმ ოქსიდური კატალიზა-

ტორის სრულყოფა. კონკრეტულად: ჩატარებულია სამუშაოები, რომლებიც ფინანსირდენ ითვალისწინებდა საკონტაქტო მასაში მანგანუმის წილის შემცირებას, ალუმინისა და კალციუმის შეტანას, კონვერსიის ტემპერატურის დაწევასა და მექანიკური მდგრადობის გაზრდას.

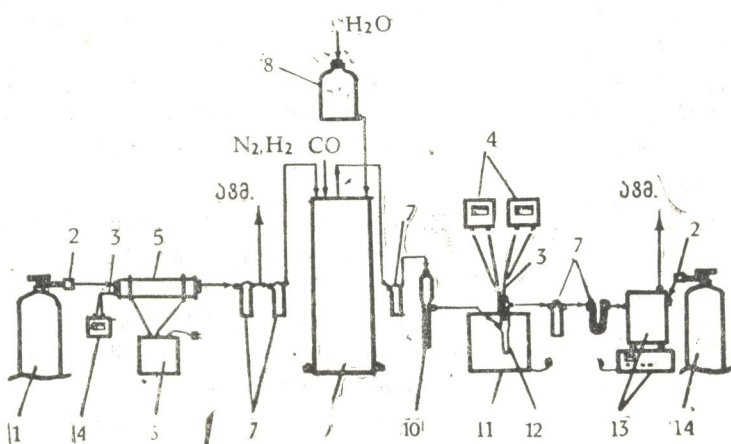
დამზადებულია კატალიზატორის რამდენიმე ნიმუში, რომელთა შედგენილობა მოცემულია 1 ცხრილში.

ცხრილი 1

კატალიზატორების სხვადასხვა ნიმუშების შედგენილობა

№ №		კატალიზატორის შედგენილობა (%) , ოქსიდი					
1	30	CuO	15	Cr ₂ O ₃	55	MnO ₂	—
2	30	CuO	15	Cr ₂ O ₃	52	MnO ₂	3 Al ₂ O ₃
3	30	CuO	15	Cr ₂ O ₃	50	MnO ₂	5 Al ₂ O ₃
4	30	CuO	15	Cr ₂ O ₃	45	MnO ₂	10 Al ₂ O ₃
5	30	CuO	15	Cr ₂ O ₃	50	MnO ₂	5 CaO
6	30	CuO	15	Cr ₂ O ₃	47	MnO ₂	8 CaO
7	30	CuO	15	Cr ₂ O ₃	43	MnO ₂	12 CaO
8	30	CuO	15	Cr ₂ O ₃	40	MnO ₂	15 CaO

ეს ნიმუშები გამოცდილია ლაბორატორიულ დანადგარზე, რომლის ტიპ-ნოლოგიური სქემა მოცემულია ნახატზე 1.



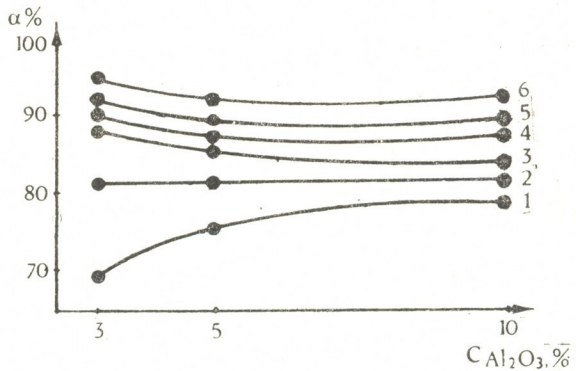
ნახ. 1. ნახშირბადის ოქსიდის (11) დაბალტემპერატურულ კონვერსიის ლაბორატორიული დანადგარის სქემა. 1. ამიავი; 2. რედუქტორი; 3. თერმოწყვეტილი; 4. ჰირომეტრი; 5. ამიავის დასაშლელი რეაქტორი; 6. ძაბვის რეგულატორი; 7. მშთან-თქმილი; 8. აპარატი; 9. არა-საცვავი; 10. რეაქტორი; 11. წყლის თერმოსტატი; 12. კონვერსიის რეაქტორი; 13. ქრომატოგრაფი; 14. ჰელიუმი

კატალიზატორის აქტივობა ფასდებოდა ნახშირბადის ოქსიდის (11) გარდაქმნის ხარისხით, ხოლო მექანიკური სიმტკიცე — კატალიზატორის მუშაობის გარევაულ პერიოდში (50 სთ) წონითი დანაკარგით. (კატალიზატორის წონითი დანაკარგი 3%-მდე გამოწვეულია მუშაობის დროს კატალიზატორის შემაღებელი ოქსიდების ნაწილობრივი აღდგენით, დანარჩენი კი — კატალიზატორის მექანიკური გამტკერვით).

საბაზოდ აღებულია 1 ნიმუში, რომელიც გამოიცადა 413—523 K ტემპერატურის ფარგლებში, 1100—2200 სთ⁻¹ მოცულობით სიჩქარეზე.

ამ პირობებში გარდაქმნის ხარისხი იყო 92—95%, ხოლო კატალიზატორის წილი წონითმა დანაკარგში შეადგინა დაახლოებით 6%.

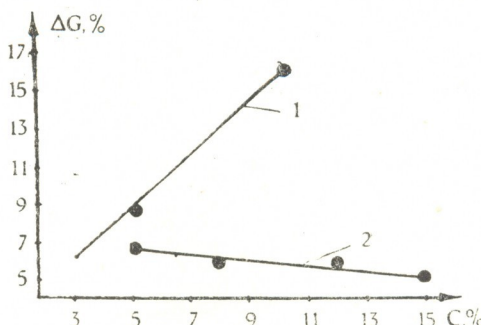
ალუმინის ოქსიდის შემცველი სქემა კატალიზატორის გამოცდის შედეგებმა გვიჩვენა, რომ ალუმინის უანგის არსებობა კატალიზატორის შეღენილობაში, იწვევს კატალიზატორის მუშაობის ტემპერატურული რეჟიმის რამდენადმე მიმატებას. რაც შეეხება კატალიზატორის სიმტკიცეს, ალუმინის უანგის კონ-



ნახ. 2. ნახშერბადის ოქსიდის (11) გარდაქმნის ხარისხის დამოკიდებულება ალუმინის უანგის კონცენტრაციაზე კატალიზატორში, სხვადასხვა ტემპერატურაზე. 1. 413K, 2. 433K, 3. 453K, 4. 473K, 5. 493K, 6. 523K

ცენტრაციის გაზრდასთან ერთად პროპორციულად მატულებს წონითი დანაკარგიც (იხ. ნახ. 2, 3).

როგორც ნახაზებილან ჩანს მაქსიმალური გარდაქმნის ხარისხი (90—98%) 2, 3 ნიმუშებისათვის 1100 სთ⁻¹ მოცულობით სიჩქარეზე მიღწეული იქნა



ნახ. 3. წონითი დანაკარგის დამოკიდებულება კატალიზატორში ალუმინის (1) და კალციუმის (2) უანგის კონცენტრაციაზე

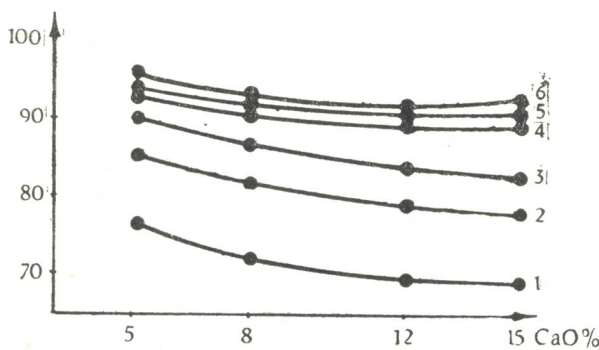
453—523 K ტემპერატურის ფარგლებში, ხოლო 2200 სთ⁻¹-ზე 473—523 K. წონითი დანაკარგიც ასევე ყველაზე მცირეა, დაახლოებით 6%.

ცდის შედეგების თანახმად, ალუმინის უანგის რაოდენობის გაზრდასთან ერთად ძირდება წონითი დანაკარგი და მაქსიმუმს აღწევს ალუმინის უანგის

ზემოთქმულიდან გამომდინარე შეიძლება გავაკეთოთ დასკვნა, რომ ალუ-
მინის უანგის არსებობა კატალიზატორის შედგენილობაში რაიმე რეალურ და-
დებით ცვლილებას არ გვაძლევს, არც კატალიზატორის აქტივობის მომატების
და არც მექანიკური თვისებების გაუმჯობესების მხრივ.

კალციუმის ოქსიდის შემცველი სქმ კატალიზატორის გამოცდის შედე-
გებმა გვიჩვენეს, რომ კალციუმის უანგის არსებობა კატალიზატორის შედგენი-
ლობაში დადებითად მოქმედებს კატალიზატორის აქტივობაზე, ნახშირბაძის
ოქსიდის (11) კონცერტის ხარისხი რამდენადმე მატულობს (ნახ. 3, 4).

როგორც ვხედავთ, გარდაქმნის მაქსიმალური ხარისხი მიიღწევა 473 K
ტემპერატურაზე (აირის მოცულობითი სიჩქარე 2200 სთ⁻¹). რაც შეეხება კა-
ტალიზატორის სიმტკიცეს: კალციუმის უანგის კონცენტრაციის გაზრდით



ნახ. 4. ნახშირბაძის ოქსიდის (11) გარდაქმნის ხარისხის დამკა-
დებულება კალციუმის უანგის კონცენტრაციაზე კატალიზატორში. სხეა-
დასხვა ტემპერატურაზე. 1. 413K, 2. 433K, 3. 453K, 4. 473K,
5. 493K, 6. 523K

შცირდება წონითი დანაკარგი და მინიმუმს აღწევს კალციუმის უანგის 15%-ის
შემცველობისას; მაგრამ ამ ნიმუშის აქტივობა რამდენადმე დაბალია სხვა
ნიმუშებთან შედარებით.

ამრიგად, ექსპერიმენტალური მონაცემების საფუძველზე ირკვევა, რომ
კალციუმის უანგის რაოდენობის გაზრდასთან ერთად იზრდება კატალიზატო-
რის შექანიკური სიმტკიცე, მაგრამ რამდენადმე მცირდება მასი აქტივობა.
ჩვენი მონაცემების თანახმად კალციუმის ოქსიდის ოპტიმალური შემცველო-
ბა სქმ კატალიზატორში 8—10%-ია.

საქართველოს ტექნიკური უნივერსიტეტი

შემოსულია 05.01.1991.

Ш. Г. МАМПОРИЯ, М. А. КУСРАШВИЛИ, Л. И. ГВАСАЛИЯ

МОДИФИЦИРОВАНИЕ ОКСИДАМИ АЛЮМИНИЯ И КАЛЬЦИЯ МЕДЬ-ХРОМ-МАРГАНЦЕВОГО (МХМ) КАТАЛИЗАТОРА НИЗКОТЕМПЕРАТУРНОЙ КОНВЕРСИИ ОКСИДА УГЛЕРОДА (II)

Резюме

Результаты исследований модифицированного оксида алюминия и кальция медь-хром-марганцевого катализатора низкотемпературной конверсией оксида углерода (II) показали, что присутствие оксида кальция в составе катализатора положительно влияет на активность катализатора (степень конверсии оксида углерода (II) несколько уве-
312

личивается). В то же время, при увеличении количества оксида кальция увеличивается механическая прочность катализатора, но несколько уменьшается его активность.

Исходя из этого, оптимальное содержание оксида кальция в медь-хром-марганцевом катализаторе составляет 8—10%.

Что касается оксида алюминия, его присутствие в медь-хром-марганцевом катализаторе не улучшает его свойства.

M. G. MAMPORIA, M. A. KUSRASHVILI, L. E. GVASALIA

MODIFICATION OF COPPER-CHROME-MANGANESE CATALYST
BY LOW-TEMPERATURE CONVERSION OF CARBONAT
OXIDE (II) WITH ALUMINIUM AND CALCIUM OXIDES

S u m m a r y

The results of investigation of copper - chrome - manganese catalyst of low temperature conversion of carbon oxide (II) modified with aluminium and calcium oxides showed, that the existence of calcium oxide in the catalyst influences positively on the activity of catalyst (the degree of carbonat oxide (II) conversion increases to some extent). At the same time an increase of calcium oxide quantity increases mechanical strength of catalyst, but to some extent shortens its activity.

Proceeding from this, optimal content of calcium oxide in copper-chrome-manganese catalyst is 8—10%.

As for aluminium oxide, its existence in the copper-chrome-manganese catalyst does not improve the catalyst's properties.

© 0 8 0 8 0 8 0 8 — ЛИТЕРАТУРА — REFERENCES

1. Семенова Т. А., Ивановский Ф. П., Брауде Г. Е. Проблемы кинетики и катализа, 1960, 10, 90—94.
2. А.с. 202884 (СССР), 1967, 20, 26.
3. Семенова Т. А., Комова З. В., Васильевич А. А. Хим. пром., 1979, 8, 505—506.
4. А. с. № 1003885 (СССР), 1982, БИ, 10, 1983.
5. Гвасалия Л. И., Кусрашвили М. А., Харашвили О. Г. Вопросы кинетики и катализа. Межвузовский сборник, Иваново, 1984, 38—40.
6. Гвасалия Л. И., Басилая Д. А. Вопросы кинетики и катализа. Межвузовский сборник, Иваново, 1978, 150—152.
7. Гвасалия Л. И., Кусрашвили М. А. Изв. АН Грузии, сер. химич., 1982, 8, 13, 211—216.

УДК 661.844.22

В. Н. ГАПРИНДАШВИЛИ, Ш. В. МАЧАРАШВИЛИ, О. А. ДЖАОШВИЛИ,
В. Ш. ЦВЕНИАШВИЛИ

ХИМИЧЕСКОЕ ОБОГАЩЕНИЕ НИЗКОПРОЦЕНТНОГО БАРИТОВОГО КОНЦЕНТРАТА

В связи с сокращением запасов высококачественного баритового сырья важное значение приобретает установление возможности использования низкосортных баритовых флотоконцентратов. Использование последних в настоящее время сопряжено со многими трудностями, главными из которых являются мелкодисперсность материала и содержание вредных примесей (Fe_2O_3 , Al_2O_3 , SiO_2 и др.) выше допустимых норм. Последние в процессе восстановительного обжига концентрата обуславливают протекание ряда побочных реакций, отрицательно влияющих на выход целевого продукта — сульфата бария. Среди примесей наиболее вредным является кремнезем, присутствие которого в баритовом сырье выше допустимой нормы ($\leq 3\%$) кроме технического осложнения (образование в шихте «шуб») способствует переводу значительного количества бария в водонерастворимые силикаты [1]. Это является причиной резкого снижения выхода сульфида бария. Поэтому основным критерием пригодности баритового сырья служит содержание в нем кремнезема. Удаление из баритового концентрата избыточного кремнезема возможно вторичной флотацией и химическим обогащением.

В настоящей работе приведены результаты исследований по химическому обогащению флотоконцентрата бария Маднеульского месторождения Грузии с содержанием кремнезема в количестве 10—15%, кислотных оксидов — 13—15% (в основном SiO_2) и амфотерных оксидов — 2—3%. С целью удаления из концентрата кислотных оксидов в работе предпринято сплавление баритового концентрата с карбонатом натрия с последующей промывкой сплава раствором серной кислоты.

Для определения наиболее вероятных химических превращений, протекающих в системе BaSO_4 — SiO_2 — Na_2CO_3 , и разработки технологии обогащения низкосортного баритового концентрата осуществлена термодинамическая оценка ожидаемых реакций в процессе спекания концентрата с содой (табл. 1). Исходные термодинамические константы веществ, принимающих участие в процессе спекания, взяты из работ [2, 3]. Как следует из табл. 1, в системе SiO_2 — Na_2CO_3 , начиная с 873 К, образуется силикат натрия (реакция 1), а в интервале температур 673—1373 К система BaSO_4 — SiO_2 характеризуется положительными значениями энергии Гиббса, что свидетельствует о маловероятности протекания реакций 3, 4 и 5.

Причиной образования в процессе сплавления силикатов бария (реакции 7, 8, 9 и 10) является протекание реакции 2 при температуре 1073 К и выше, в результате чего в системе появляется карбонат бария. При этом может иметь место образование смеси силикатов бария, включая и BaSi_2O_5 . Последнее возможно в условиях присутствия избытка карбоната натрия [4]. Образование силикатов бария начинается уже при температуре 800°. При этом, независимо от состава ших-

Термодинамическая оценка энергии Гиббса основных реакций в процессе химического обогащения баритового концентрата

Химические реакции	ΔG_{673}	ΔG_{773}	ΔG_{873}	ΔG_{973}	ΔG_{1073}	ΔG_{1173}	ΔG_{1273}	ΔG_{1373}
$\text{SiO}_2 + \text{Na}_2\text{CO}_3 \rightarrow \text{Na}_2\text{SiO}_3 + \text{CO}_2$	23594	4328	— 12895	— 28435	— 43394	— 57900	— 71857	— 85601
$\text{BaSO}_4 + \text{Na}_2\text{CO}_3 \rightarrow \text{BaCO}_3 + \text{Na}_2\text{SO}_4$	2432	1692	1002	374	— 186	— 677	— 1098	— 1410
$\text{BaSO}_4 + \text{SiO}_2 \rightarrow \text{BaSiO}_3 + \text{SO}_3$	170267	151056	131922	112948	94139	75477	59936	45987
$2\text{BaSO}_4 + \text{SiO}_2 \rightarrow \text{Ba}_2\text{SiO}_4 + 2\text{SO}_3$	2457499	2420578	2384039	2347835	2311384	2276255	2240755	2213611
$3\text{BaSO}_4 + \text{SiO}_2 \rightarrow \text{Ba}_3\text{SiO}_5 + 3\text{SO}_3$	732488	685434	651358	591130	516635	461040	405618	341772
$\text{SiO}_2 + \text{Na}_2\text{SO}_4 \rightarrow \text{Na}_2\text{SiO}_3 + \text{SO}_3$	175657	160907	146451	132282	118397	104797	91494	77816
$\text{BaCO}_3 + \text{SiO}_2 \rightarrow \text{BaSiO}_3 + \text{CO}_2$	33556	16556	309	— 17213	— 34096	— 50963	— 67811	— 84179
$2\text{BaCO}_3 + \text{SiO}_2 \rightarrow \text{Ba}_2\text{SiO}_4 + 2\text{CO}_2$	56745	25136	5937	— 36471	— 66410	— 95778	— 124704	— 149145
$3\text{BaCO}_3 + \text{SiO}_2 \rightarrow \text{Ba}_3\text{SiO}_5 + 3\text{CO}_2$	136136	97193	80384	23741	— 7397	— 38577	— 68086	— 91673
$\text{BaCO}_3 + \text{BaSiO}_3 \rightarrow \text{Ba}_2\text{SiO}_4 + \text{CO}_2$	17361	3396	— 12180	— 27516	— 42586	— 57323	— 71891	— 85071

ты образуется метасиликат бария (реакция 7). При температуре 900° начинается образование Ba_2SiO_4 (реакция 2). Можно предположить, что, получающийся при более низких температурах BaSiO_3 , взаимодействуя с непрореагировавшим карбонатом бария, переходит в орто-силикат бария (реакция 10). Следовательно, при сплавлении баритового концентрата с карбонатом натрия для максимального извлечения кремнезема в виде силиката натрия при минимальном переходе бария в силикаты, необходимо процесс реализовать в интервале температур 700—800°.

Для установления оптимального технологического режима процесса сплавления баритового концентрата с карбонатом натрия было установлено влияние основных факторов раздельно. При этом выходными факторами являлись степень извлечения кремнезема и содержание в обогащенном продукте основного вещества — сульфата бария (табл. 2, 3, 4). Полученные результаты свидетельствуют о том, что высокие

Таблица 2

Влияние температуры на степень извлечения кремнезема и содержание в продукте BaSO_4

Температура, °C	Степень извлечения кремнезема, %	Содержание в продукте BaSO_4 , %	Примечание
500	9,0	85,0	
600	31,8	88,0	
700	51,8	92,5	
800	99,8	99,6	
900	99,7	99,5	Соотношение $\text{Na}_2\text{CO}_3 : \text{SiO}_2 = 1,4$ в шихте, продолжительность процесса — 30 мин

Таблица 3

Влияние продолжительности процесса на степень извлечения кремнезема и содержание в продукте BaSO_4

Подолжительность процесса, мин	Степень извлечения кремнезема, %	Содержание в продукте BaSO_4 , %	Примечание
5	39,5	84,5	
10	69,6	92,0	
15	81,0	95,6	
20	96,0	97,0	
30	99,6	99,5	температура процесса — 800°
35	99,8	99,6	
40	99,8	99,5	

Таблица 4

Влияние соотношения $\text{Na}_2\text{CO}_3 : \text{SiO}_2$ на степень извлечения кремнезема и содержание в продукте BaSO_4

Соотношение $\text{Na}_2\text{CO}_3 : \text{SiO}_2$	Степень извлечения кремнезема, %	Содержание в продукте BaSO_4 , %	Примечание
0,5	78,5	94,2	
0,7	82,0	94,5	
0,9	90,4	95,0	
1,0	96,6	96,8	
1,2	98,0	97,1	температура процесса — 800°, продолжительность процесса — 30 мин
1,3	98,3	97,8	
1,4	99,8	99,6	
1,5	99,8	99,6	

показатели обогащения концентрата могут быть достигнуты в интервале температуры 700—900° (табл. 2). Для получения концентрата с содержанием сульфата бария более чем 95% достаточно в шихту вводить стехиометрическое количество карбоната натрия по отношению к кремнезему, присутствующему в качестве примеси в исходном концентрате бария. При увеличении соотношения $\text{Na}_2\text{CO}_3 : \text{SiO}_2$ до 1,5 и продолжительности процесса с 15 мин до 40 мин получается целевой продукт с содержанием сульфата бария в количестве 99,6% (табл. 3, 4).

Ниже представлены результаты по оптимизации процесса сплавления концентрата бария с карбонатом натрия. Реализована матрица плана экспериментов типа $N=2^3$. Переменными входными факторами приняты: ξ_1 — температура, °C, ξ_2 — продолжительность процесса, мин, ξ_3 — соотношение компонентов шихты $\text{Na}_2\text{CO}_3 : \text{SiO}_2$. Выходными факторами являются: Y_1 — степень извлечения кремнезема, % и Y_2 — содержание в обогащенном концентрате сульфата бария, %. Воспроизводимость процесса подтверждена результатами экспериментов, представленных в нулевой точке $G=0,76 < G_{\text{табл}}$. По данным табл. 5 определены значения коэффициентов регрессии. Получены следующие уравнения:

Таблица 5

Матрица экспериментов сплавления баритового концентрата с карбонатом натрия

Уровень факторов	ξ_1	ξ_2	ξ_3	Y_1	Y_2
Опыты	Кодовое обозначение факторов				
	X_1	X_2	X_3		
1	—	—	—	31,8	87,3
2	—	—	+	36,3	88,1
3	—	+	—	34,1	87,6
4	—	+	+	36,8	88,0
5	+	—	—	95,0	96,7
6	+	—	+	97,2	97,5
7	+	+	—	96,7	97,3
8	+	+	+	99,8	99,6

данные значения коэффициентов регрессии. Получены следующие уравнения:

$$Y_1 = 65,9 + 31,2X_1 + 0,9X_2 + 1,6X_3$$

$$Y_2 = 92,7 + 5,0X_1 + 0,4X_2 + 0,5X_3$$

Все коэффициенты уравнений значимы, так как они превышают критерий Стьюдента $t_s\{b_i\} = 0,13$ и критерий Фишера ($F = 7,5 < F_{\text{табл.}} = 9,12$), что свидетельствует об адекватности полученных уравнений.

Полученные данные указывают на то, что наиболее влияющими факторами на процесс сплавления компонентов являются температура и соотношение компонентов шихты $\text{Na}_2\text{CO}_3 : \text{SiO}_2$. Поскольку степень извлечения кремнезема и содержание бария в целевом продукте наиболее высоки в условиях эксперимента под № 8 (табл. 5), параметры указанного опыта можно принять оптимальными для ведения процесса сплавления и обогащения низкопроцентного баритового концентрата.

Разработанная технология обеспечивает получение высокопроцентного сульфата бария.

რეზიუმე

შემოთავაზებულია დაბალპროცენტიანი ბარიუმული კონცენტრატის ქიმიური გამდინარების ტექნიკური რომელიც ითვალისწინებს ჭარბი კაჟმიწისა და სხვა მინარევებისაგან გაშენდას კონცენტრატის ნატრიუმის კარბონატთან შეცხობითა და შეცხობილი მასის გოგირდმჟავით დამუშავებით. დადგენილია, რომ შეცხობის პროცესში $700-800^{\circ}$ ტემპერატურის პირობებში მიმდინარეობს ნატრიუმის სილიკატის წარმოქმნა, რომლის ამონება კონცენტრატიდან სხვა მინარევებთან ერთად ხორციელდება $70\%-იანი$ გოგირდმჟავის მოქმედებით.

შერჩეულ ოპტიმალურ პირობებში (შეცხობის ტემპერატურა — 800° , ფარდობა კაზში $\text{Na}_2\text{CO}_3/\text{SiO}_2 = 1,4$, შეცხობის ხანგრძლივობა — 30 წუთი) კონცენტრატიდან, რომელიც $12-14\%$ კაჟმიწას შეიცავს, იმ უკანასკნელის ამონების ხარისხი შეადგენს $98-99,5\%$.

გამდინარებულ კონცენტრატში სამიზნე პროდუქტის — ბარიუმის სულფატის შეცულობა $99-99,6\%-ია$.

V. GAPRINDASHVILI, Sh. MACHARASHVILI, O. JAOSHVILI,
 V. TSVENIASHVILI

CHEMICAL CONCENTRATION OF LOW PERCENTAGE BARIUM CONCENTRANTS

S u m m a r y

The technology of chemical concentration of low percentage barium concentrant including purification from excess silica and other admixtures by means of baking with Na_2CO_3 and them, by H_2SO_4 treatment has been suggested. It was established, that while baking at temperature $700-800^{\circ}$ the formation of Na_2SiO_3 takes place the extraction of which with other admixtures is carried out by the action of $70\% \text{ H}_2\text{SO}_4$.

In the optimal conditions (the temperature of baking — 800° , ratio $\text{Na}_2\text{CO}_3/\text{SiO}_2 = 1,4$, period of baking 30 min). The degree of concentration from the concentrant, which contains $12-14\%$ is $98-99,5\%$. The content of barium sulphat in the enriched content is $99-99,6\%$.

ლიტერატურა — REFERENCES

1. Гапринашвили В. Н., Джакишвили О. А., Зедгенидзе И. Г. ГИМИ научн.техн. инф., Техн. инф., 2, 1968.
2. Краткий справочник физико-химических величин. Л.: Химия, 1983.
3. Карапетьянц М. Х. Основные термодинамические константы. М.: Химия, 1968.
4. Чачанидзе Г. Д. Презионная калориметрия и прогнозирование свойств оксидов. Тбилиси: Мецниереба, 1990, 159.

ავტორთა საძირხელი

პ

- აბულაძე ნ. № 3, 208
 აბულაშვილი ე. № 4, 296
 აგლაძე თ. № 4, 297
 აგლულინი ა. № 2, 143
 ალანია გ. № 1, 79; № 2, 153
 ალელიშვილი გ. № 1, 67
 ამირიძე ზ. № 2, 122
 ამირხანაშვილი კ. № 3, 197; № 4, 270
 ანტოშინა გ. № 3, 203
 ანტონიკაშვილი თ. № 1, 70; № 2, 95; № 3, 197; № 4, 266, 296
 ანელი ჭ. № 4, 303
 არეშიძე გ. № 2, 112
 ასათაძი ლ. № 4, 274, 283
 აფხაზეთი ფ. № 1, 42

ბ

- ბარნაბიშვილი დ. № 1, 54
 ბალახიშვილი ლ. № 2, 106
 ბარაბაძე შ. № 2, 117; № 4, 279
 ბარკოვა ა. № 3, 203
 ბაგრატიშვილი გ. № 2, 221
 ბასარეგინი ნ. № 4, 252
 ბალდავაძე ჭ. № 4, 291
 ბარათაშვილი ი. № 4, 291
 ბელენჯი ბ. № 1, 46
 ბენაშვილი ე. № 2, 99
 ბეჭერენაძე ი. № 2, 112
 ბერეჟიანი მ. № 2, 142
 ბეჟუაშვილი გ. № 3, 208
 ბიბილიშვილი გ. № 1, 7; № 2, 87
 ბორისოვიჩი ი. № 3, 203
 ბოჭორიშვილი ხ. № 4, 252
 ბროუნებეგი ფ. № 1, 7; № 2, 87
 ბურქიაშვილი ნ. № 2, 155
 ბუაძე რ. № 3, 185
 ბუცხრიკიძე ბ. № 4, 274

ვ

- ვაგნიძე ნ. № 1, 7; № 2, 87
 ვაინევი გ. № 2, 122
 ვამზიანი გ. № 2, 160
 ვაფრინიძეშვილი ვ. № 3, 192; № 4, 318
 ველოვანი გ. № 3, 238
 ვეგარია ვ. № 1, 30
 ვესასლია ლ. № 2, 143; № 4, 309
 ვევაზავა ლ. № 2, 158
 ვევერდწიოთლი ი. № 2, 160
 ვეველესიანი ლ. № 4, 252
 ვეველესიანი გ. № 4, 291
 ვიგაური რ. № 1, 30

გლაზირინი ე. № 3, 197 № 4, 270

გოზალოვი ა. № 1, 70, № 2, 87

გოგოძე ნ. № 1, 54

გოგელაური ვ. № 2, 105

გურგია ფ. № 1, 25

გულავაძე გ. № 3, 218

გურგენიძე ნ. № 1, 30

ღ

ლანგ ტუეტ ფილნგი № 1, 67

ლაბახიშვილი ნ. № 4, 257

ლოლაბერიძე ნ. № 1, 67

ჰ

გპრიკაშვილი ლ. № 4, 296

ჸ

გარშალი გ. № 1, 25

გაჩნაძე ე. № 1, 30

გაჩნაძე გ. № 1, 70

გარდოსანიძე თ. № 2, 99

გასერბერგი ვ. № 3, 203

ჲ

ზედგენიძე რ. № 3, 203

ზოიძე ნ. № 3, 232

თ

თარგამაძე ი. № 1, 46

თალაკვაძე გ. № 1, 73

თავართქილაძე ი. № 2, 142

თაქთაქიშვილი გ. № 3, 218

თელია ნ. № 4, 252

თოფჩიშვილი გ. № 4, 308

ჸ

კარიაული გ. № 1, 7; № 2, 87

კასრაძე ლ. № 1, 7

კაციტაძე გ. № 1, 37

კაციტაძე ვ. № 1, 60

კაციაშვილი გ. № 3, 221

კანდელაკი ს. № 2, 130

კეჟერაშვილი გ. № 4, 274

კვერნაძე თ. № 2, 95

კორძახია თ. № 4, 296

კონიაშვილი ს. № 3, 185

კუუბენიკოვა ა. № 1, 67

კუსრაშვილი გ. № 4, 309

ჴ

ლეკშვილი ნ. № 2, 130; № 4, 274

ლეონიძე ნ. № 4, 296

- გ**
- მახარაძე გ. № 1, 25
 - მალინიშვილი გ. № 1, 46
 - მასურაძე გ. № 2, 137
 - მანჯგალაძე ო. № 4, 252
 - მამუკაშვილი შ. № 4, 309
 - მაჭარაშვილი შ. № 4, 318
 - მალინიშვილი ო. № 2, 152
 - მენაძე ქ. № 1, 73; № 2, 105
 - მიქაძე ო. № 1, 13; № 3, 107
 - მიმინშვილი ე. № 2, 99
 - მიქაძე ო. № 2, 130
 - მოდებაძე ო. № 1, 73; № 2, 105
 - მოდებაძე მ. № 2, 105
 - მეავანძე ვ. № 1, 46
 - მშვილდიძე ვ. № 3, 239
 - მშედლიშვილი გ. № 2, 152
- ქ**
- ნაკაიძე ლ. № 1, 37
 - ნაცვლიშვილი ს. № 1, 60; № 2, 106
 - ნახუცრიშვილი ო. № 3, 221
 - ნაიდენვი ო. № 4, 266
- ღ**
- ომიაძე ო. № 4, 291
 - ოსიპოვა ნ. № 2, 155
 - ოქროპირიძე ც. № 1, 54
- პ**
- პლატინდა № 2, 137
- ჟ**
- ჟლენტი კ. № 3, 218
- რ**
- რაზანცევი ა. № 4, 265
 - რუხაძე მ. № 3, 192
- ს**
- სალარეიშვილი ო. № 1, 79
 - სარიშვილი ო. № 2, 152
 - საკოდინსკი ქ. № 2, 155
 - სესიკელაშვილი ო. № 4, 274
 - სვანიძე ზ. № 4, 257
 - სობოლევი ა. № 2, 99
 - სუპატაშვილი გ. № 1, 25
 - სულარევა ნ. № 1, 46
 - სტერლიგოვი ო. № 3, 203
 - სხიორტლაძე ნ. № 1, 54; № 2, 117
- ტ**
- ტაბაშიძე ნ. № 4, 279
 - ტორიანიკოვა რ. № 1, 76
 - ტყეშელაშვილი ლ. № 4, 247
- ჴ**
- ჴალავა დ. № 4, 308
 - ჴიჩხაძე შ. № 4, 274
 - ჴოლია ი. № 4, 283
 - ჴულარიანი ი. ვ 3, 192
- ქ**
- ქარქუსაშვილი ო. № 1, 42
 - ქარელი ლ. № 4, 297
 - ქემერტელიძე ე. № 2, 158
- ჵ**
- ჵიფაიანი ლ. № 4, 294
- ჸ**
- ჸალაშვილი ა. № 1, 46
 - ჸარაბიძე ც. № 2, 87
 - ჸარაშენიძე ო. № 2, 137
 - ჸველაშვილი ა. № 1, 13; № 2, 99; № 3, 167; № 4, 247
 - ჸობავი ვ. № 1, 76
- ჩ**
- ჩაჩავა გ. № 1, 30
 - ჩაგულოვი ვ. № 2, 130
 - ჩიტიაშვილი ზ. № 1, 25
 - ჩიგაძე გ. № 1, 52; № 2, 106; № 3, 203
 - ჩოგოვაძე ო. № 1, 37
 - ჩხეიძე გ. № 1, 52
 - ჩხეიძე ქ. № 2, 112
 - ჩხეიძე ლ. № 2, 143
- ც**
- ცაგარეიშვილი დ. № 4, 291
 - ციციშვილი მ. № 1, 54; № 2, 137
 - ციციშვილი ვ. № 1, 67; № 2, 122
 - ციცქიშვილი ო. № 3, 218
 - ცეიტიშვილი მ. № 1, 13; № 3, 167
- ჭ**
- წაქაძე ქ. № 4, 247
 - წვენიაშვილი ვ. № 4, 318
 - წიქლაური ო. № 3, 238
 - წურწუმია გ. № 4, 297
- ჭ**
- ჭავჭავაძე გ. № 2, 143
 - ჭირქაძე გ. № 1, 42
 - ჭიჭინაძე ო. № 1, 73; № 2, 105
 - ჭრელაშვილი მ. № 3, 167
- ბ**
- ხახანაშვილი ლ. № 1, 37
 - ხეოსიაშვილი ზ. № 2, 137
 - ხულუზური ო. № 4, 247
- ჯ**
- ჯაფარიძე ვ. № 3, 238
 - ჯაოშვილი ო. № 4, 318
 - ჯიანბაუვა რ. № 1, 76

К СВЕДЕНИЮ АВТОРОВ



1. В журнале «Известия АН Грузии», серия химическая публикуются статьи в основном на грузинском и русском языках, в которых содержатся результаты исследований теоретического и экспериментального характера по ведущим направлениям современной химии и технологии, а также обзорные статьи.

Периодически публикуется хроника о конференциях, совещаниях, семинарах и других научно-организационных мероприятиях, проводимых в республике.

2. Объем статьи, включая таблицы, рисунки (3 рисунка приравниваются к одной странице), подписи к рисункам, список использованной литературы, резюме на грузинском, русском и английском языках, не должен превышать 12 страниц машинописного текста, отпечатанного через два интервала. С левой стороны оставляются поля шириной 3 см.

Резюме, список использованной литературы, таблицы и подписи к рисункам исполняются на отдельных листах.

3. Объем кратких сообщений не должен превышать 4 страницы машинописного текста. Сообщения могут быть иллюстрированы 1—2 рисунками.

4. Статьи (краткие сообщения) представляются в двух экземплярах с направлением учреждения, решением Ученого совета (кафедры, отдела, лаборатории) об их публикации, с заключением экспертной комиссии.

В начале статьи (слева вверху) пишется индекс УДК, справа вверху указывается раздел журнала, в котором должна быть опубликована статья, затем следуют инициалы и фамилии авторов, заглавие и текст статьи. В конце текста с левой стороны указывается полное название учреждения, в котором выполнена работа. Статья должна быть подписана всеми авторами с указанием на отдельном листе их адресов и телефонов.

5. Изложению экспериментального материала должно предшествовать краткое введение, излагающее цель работы. Далее должно быть приведено описание, обсуждение полученных результатов и заключение. Таблицы, приведенные в тексте, следует озаглавить.

6. Формулы и буквенные обозначения должны быть вписаны тушью. Особое внимание следует обратить на изображение индексов и показателей степеней. Во избежание ошибок следует делать ясное различие между прописными и строчными буквами латинского и греческого алфавита.

7. Рисунки должны быть исполнены на белой бумаге или на кальке тушью. На обороте каждого рисунка карандашом пишутся фамилии авторов, заглавие статьи. Рисунки и таблицы должны быть пронумерованы и представлены в двух экземплярах.

8. Цитируемая литература приводится на отдельной странице. Все ссылки даются в написании оригинала. Иностранные фамилии в статье даются в транскрипции основного текста.

Цитируемая литература приводится в следующем порядке:

а) для журнальных статей: фамилии и инициалы авторов, название журнала, год, том, номер (серия), страница;

б) для книг: фамилии и инициалы авторов, название книги, место издания, издательство, год, том и страница.

Ссылки на неопубликованные работы (кроме диссертаций) не допускаются. Использованная литература должна быть расположена в порядке последовательности цитирования.

9. Обозначение и сокращение физических величин должны соответствовать Международной системе единиц.

10. Рукописи, не отвечающие настоящим правилам, редакцией не принимаются.

11. В журнале статьи публикуются в порядке поступления в редакцию. В случае возвращения автору статьи для доработки, датой представления считается день получения редакцией окончательного текста. В одном номере журнала может быть опубликована одна статья автора и одно краткое сообщение.

12. Редакция согласовывает с автором одну корректуру статьи, в которой исправлению подлежат только ошибки типографии, никакие дополнения или изменения первоначального текста не допускаются.

Редакция бесплатно выдает авторам 12 отдельных оттисков статьи.

Цена 2 руб. 50 к.

Индекс 76203



60/169/1

ISSN -0132-6074

Изв. АН Грузии, сер. химическая, 1992, т. 18, № 4, 241-320